

جامعة محمد الصديق بن يحيى - جيجل
كلية العلوم والتكنولوجيا



الكترونيك	القسم:
ليسانس 2 « الكترونيك + اتصالات »	الاختصاص:
Mesures électriques et électroniques	المادة:
MEE	رمز المادة:
UEM2.2	الوحدة:
السداسي الرابع	الفصل:
أ.د. عبدالكريم بوكابو	مسئول المادة:
2020-2019	السنة الجامعية:



مُقَدِّمة

الحمد لله رب العالمين والصلوة والسلام على نبينا محمد ﷺ

تعنى هذه المادة بدراسة القياس الكهربائي حيث سنعتمد طيلة الدراسة إلى أهم طرق القياس الكهربائي بما فيها طرق القياس التماضية وطرق القياس الرقمية.

وعلى هذا الأساس، يتطرق الفصل الأول إلى أهم خصائص الدارات الكهربائية بنوعيها: دارة التيار المستمر DC ودارة التيار المتناوب AC. بالإضافة إلى ما سبق، يتناول الفصل كيفية حساب القيمة الفعالة والقيمة المتوسطة للموجات الأكثر شيوعاً في الدارات AC بما فيها الموجة الجيبية، الموجة المربعة وكذا الموجة المثلثية.

يتناول الفصل الثاني أهم الممّيزات التي يجب توفرها في أجهزة القياس الكهربائي للحصول على قياس نوعي وكذا كيفية تقدير مدى الخطأ المترتب على عملية القياس.

يتطرق الفصل الثالث إلى مبدأ عمل أجهزة القياس الكهربائي بما فيها الأجهزة التماضية والأجهزة الرقمية. في البداية، يتم عرض بالتفصيل التركيبة الداخلية لأهم أجهزة القياس الكهرومغناطيسية التماضية بما فيها جهاز Galvanometre لقياس شدة التيار الصغيرة جداً، جهاز Ammeter، لقياس شدة التيار المتوسطة والمرتفعة، جهاز Voltmeter لقياس فرق الكمون، وجهاز Wattmeter لقياس الاستطاعة الكهربائية. بعد ذلك، يستعرض الفصل التركيبة الداخلية لأجهزة القياس الكهربائية الرقمية وكذلك المخطط النموذجي لجهاز Oscilloscope الرقمي.

يهم الفصل الرابع بدراسة ومناقشة طرق القياس لأهم الوحدات الكهربائية. ومن هذا المنطلق، يتطرق الفصل إلى نتائج طرق القياس المباشرة من أجل كل وحدة أساسية باستعمال جهاز القياس المُوافق وكذلك نتائج طرق القياس الغير مباشرة إن وُجدت بالطبع وتقدير مدى الخطأ المترتب على عملية القياس.

المراجع المعتمدة :

- [1]. S Tumanski « Principles of Electrical Measurement » Taylor & Francis Group, 2006.
- [2]. M. Hazewinkel « Encyclopedia of Mathematics » Springer / Kluwer Academic Publishers, 2001.
- [3]. بعض المواقع ذات صلة بموضوع المادة

الترجمة العلمية

الكلمة العلمية	الترجمة العلمية المعتمدة
Direct Current (DC)	التيار المستمر
Alternative Current (AC)	التيار المتناوب
Signal	إشارة
Analog	تماثلي
Digital	رقمي
Electromagnetic	الكهربومغناطيسية
Magnetic flux	الحزمة المغناطيسية
Full rectifier (Redressement double alternance)	تقويم مكتمل التعديل
Half rectifier (Redressement mono alternance)	تقويم نصف مُعَدّل
RMS « Root Mean Square »	جذر متوسط التربيع
Factor form (Facteur de forme) (Ff)	عامل الشكل
Thermocouple	مزدوجة حرارية
Analog to Digital Converter (ADC)	المحول التماثلي-الرقمي
Digital to Analog Converter (DAC)	المحول الرقمي- التماثلي
Calibre	معيار
Classe	فئة الدقة
Montage amont	توصيل منبع
Montage aval	توصيل مصب

ليس الجمال جمال العلم والأدب إنّ الجمال بأثواب تزيينا

أ.د. عبدالكريم بوكابو

aboukabou@univ-jijel.dz

جيجل، سبتمبر 2020 - صَفَر 1442

الفصل الأول. خصائص الإشارات في الدّارات الكهربائية

مقدمة

تُعدُّ الكهرباء جزءاً أساسياً من الطبيعة، وهي واحدة من أكثر أشكال الطاقة المستخدمة في العصر الحديث حيث يمكن إنتاجها من تحويل مصادر أخرى للطاقة مثل: الفحم، الغاز الطبيعي، النفط، الطاقة النووية، الطاقة الشمسية، وغيرها من المصادر الطبيعية. ومن الجدير بالذكر أن التيار الكهربائي يحتاج لمسار مغلق من مادة موصولة كالأسلك ليتمكن من تشغيل ما يُعرف بالدّارة الكهربائية، وهي تضم مجموعة من المكونات الكهربائية المتصلة معًا لتصنع مساراً مغلقاً تتدفق فيه الإلكترونات.

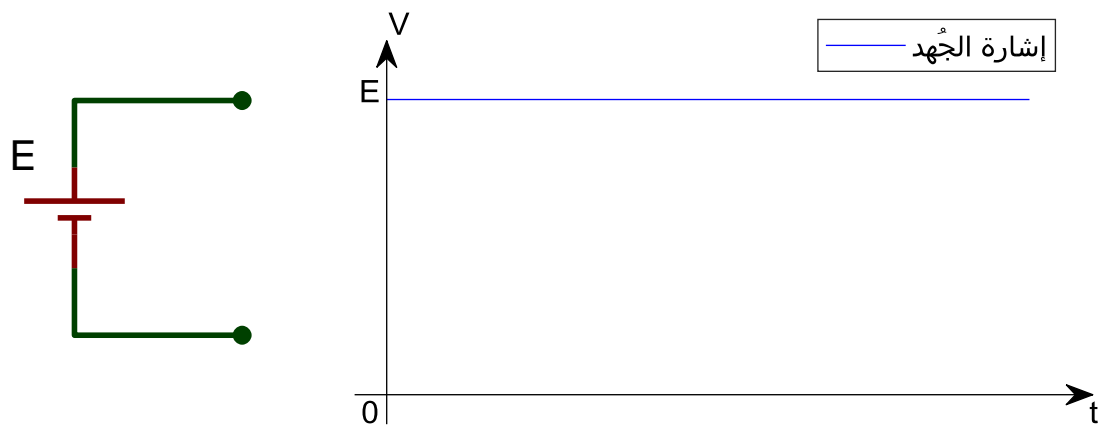
ستتطرق في هذا الفصل بإيجاز إلى أهم خصائص الإشارات المستعملة في الدّارات الكهربائية، بما فيها في دارة التيار المستمر DC و دارة التيار المتناوب AC. بالإضافة إلى ذلك، سنتعرض كيفية حساب القيم المتوسطة والقيم الفعالة لأهم أنواع الإشارات المستعملة في دارة التيار المتناوب AC.

1.1 خصائص الإشارات في دارة التيار المستمر DC

التيار المستمر هو عبارة عن تيار ثابت في المقدار ويستمر بالسّرّيان في اّتجاه واحد بدلالة الزمن بغض النظر عن تغير الحمولة الموجودة في الدّارة. وعليه، فإنّ مبدأ عمل دارة DC بسيط جداً حيث تتقلّل الشّحنات الكهربائية في داخل أجزاء الدّارة من جهة القطب السالب في اّتجاه واحد حتّى تصل إلى جهة القطب الموجب. يجدر التنوّيه أنّه غالباً ما يتم التّعبير عن إشارة الجهد المستمر بالرمز E والّتّعبير عن إشارة التيار المستمر بالرمز I حيث أنّ

$$v(t) = E \quad ; \quad i(t) = I \quad (1.1)$$

ويتم تمثيل إشارة الجهد المستمر E انطلاقاً من مبدأ الأزمنة كما هو موضح في الشّكل 1.1 حيث يتم استنتاج نفس الشّكل بالنسبة لإشارة التيار المستمر I مع اختلاف فقط في قيمة الإشارة.



الشكل 1.1. إشارة الجهد المستمر في الدّارة الكهربائية DC.

من خلال الشّكل السابق نلاحظ أنّ إشارة الجهد لها قيمة ثابتة ولا تتغير بتغيير الزمن؛ ولا يتغيّر اتجاهها، كما أنها توصف بأنّها موجة أحادية القطبية.

أغلب التطبيقات ذات الجهد المنخفض تعتمد على نظام التيار المستمر DC. نذكر على سبيل المثال المحرّكات الصغيرة، شاحن البطاريات، الجوال، الحاسوب بأنواعه، وأغلب الأجهزة الإلكترونيّة الذكّية.

2.1 أنواع الإشارات في دارة التيار المتناوب AC

بالنسبة لدارة التيار المتناوب AC، فإن إشارة كل من الجهد والتيار تأخذ شكل موجة متناثرة بدلاً من الدالة الزمن، حيث أن كل موجة تميز بالخصائص التالية:

- الدور T : والذي يعبر عن المدة الزمنية التي تستغرقها الموجة لإتمام دورة عمل من البداية إلى النهاية. في نفس السياق، يتم التعبير عن عدد المرات التي يتكرر فيه شكل الموجة خلال ثانية واحدة باستعمال التردد f حيث $f = 1/T$.

- الطولبة : وتوافق قيمة الذروة للإشارة (القيمة العظمى).

غالباً ما يتم التعبير عن الجهد والتيار في دارة AC باستعمال إما الموجة الجيبية، الموجة المربعة أو الموجة المثلثية حيث تتناوب الموجة عند نصف دورة العمل (متجلسة). فيما يلي نستعرض الصيغة الرياضية والشكل المعاون لإشارة الجهد باستعمال كل موجة من الموجات السالفة الذكر، حيث يمكن استخلاص نفس النتائج بالنسبة للإشارة التيار مع اختلاف فقط في القيمة العظمى للإشارة.

1.2.1 التعبير عن إشارة الجهد في دارة AC باستعمال الموجة الجيبية

إن الموجة الجيبية هي أكثر الموجات شيوعاً واستعمالاً في دارة AC وذلك لأنها تقوم بالتعبير عن الجهد الناتج عن حركة ملحوظة يدور حول محور دوران بسرعة ثابتة.

أ- الصيغة الرياضية: يتم التعبير عن إشارة الجهد باستعمال الدالة الجيبية بدلاً من الدالة الزمن كما يلي

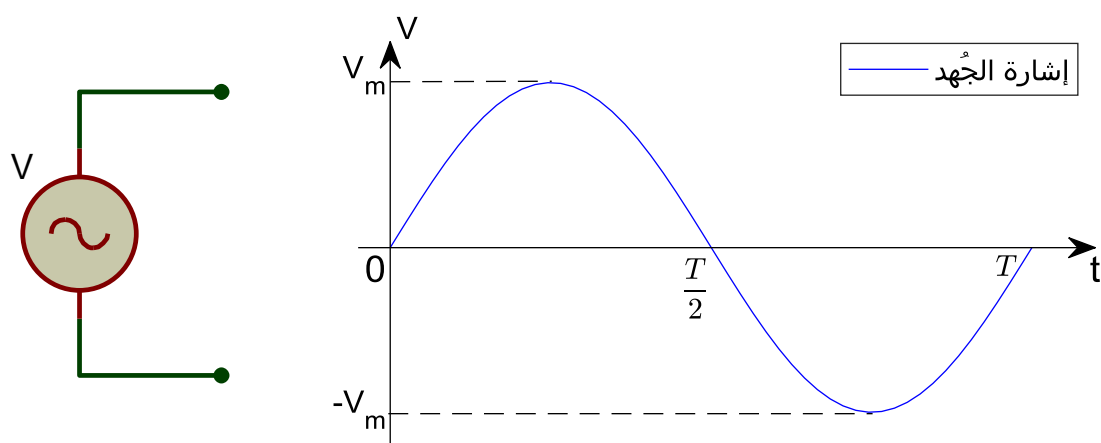
$$v(t) = V_m \sin(\omega t + \theta) \quad (2.1)$$

حيث أن V_m يرمز إلى القيمة العظمى للجهد، الرمز ω يعبر عن النسب المثلثي للدالة الجيبية ويرتبط أساساً بالدور T أو التردد f وفقاً للعلاقة التالية:

$$\omega = \frac{2\pi}{T} = 2\pi f \quad (3.1)$$

ويقدر بوحدة rad/s . من جهةه فإن الرمز θ يدعى طور الموجة حيث يعبر عن مقدار ازاحة إشارة الجهد بالنسبة لمبدأ الأزمنة ويقدر بوحدة rad .

ب- شكل الموجة: لنفرض أن إشارة الجهد المتناوب $v(t)$ تبدأ عند مبدأ الأزمنة، أي أن الزاوية $\theta = 0$. وعليه، يتم تمثيل إشارة الجهد كما هو موضح في الشكل 2.1 أدناه.



الشكل 2.1. إشارة الجهد في دارة AC باستعمال الموجة الجيبية.

من جهة أخرى، يمكن التعبير عن إشارة الجهد باستعمال الصيغة المركبة التالية:

$$V = |V| e^{j\theta} \quad (4.1)$$

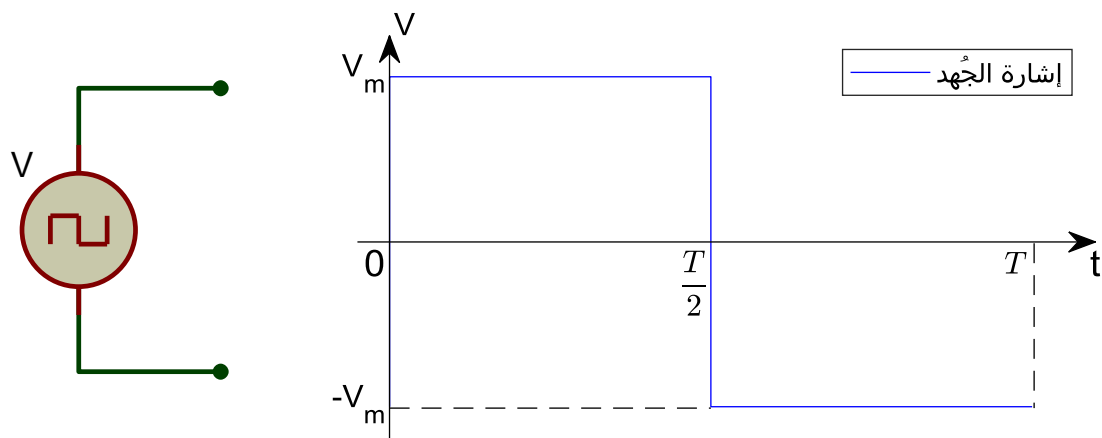
حيث أن $|V|$ تُعبّر عن طولية العدد المركب V ، j يرمز إلى الوحدة التخيلية ($-1 = j^2$)، e ترمز إلى الدالة الأساسية، و θ ترمز إلى طور الموجة.

2.2.1 التعبير عن إشارة الجهد في دارة AC باستعمال الموجة المربعة الموجة المربعة هي من أبسط أنواع الموجات الدورية التي يتم استعمالها للتعبير عن الجهد والتيار في دارة AC حيث يتم استعمالها غالباً لتوليد الإشارات الرقمية.

أ- الصيغة الرياضية: يتم التعبير عن إشارة الجهد باستعمال الموجة المربعة بدالة الزمن كما يلي

$$v(t) = \begin{cases} V_m, & 0 \leq t < \frac{T}{2} \\ -V_m, & \frac{T}{2} \leq t < T \end{cases} \quad (5.1)$$

ب- شكل الموجة: يتم تمثيل إشارة الجهد باستعمال الموجة المربعة كما هو موضح في الشكل التالي



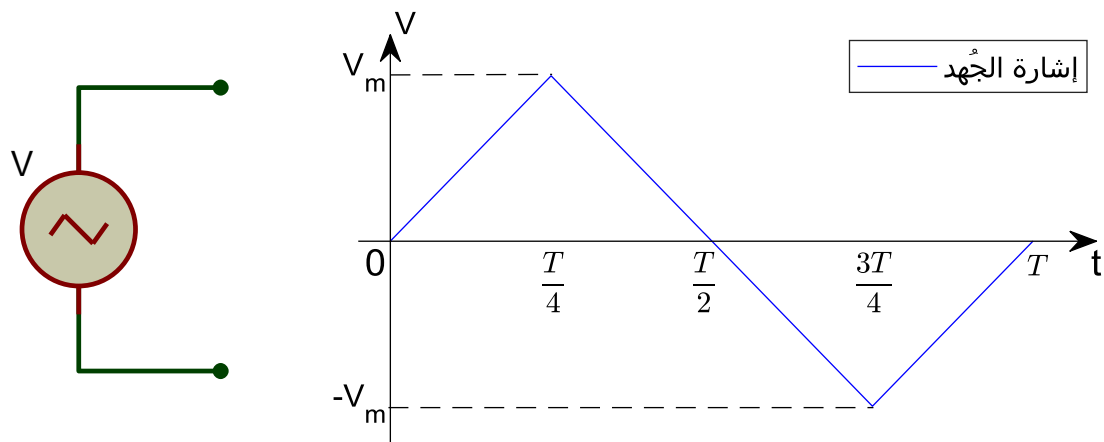
الشكل 3.1. إشارة الجهد في دارة AC باستعمال الموجة المربعة.

3.2.1 التعبير عن إشارة الجهد في دارة AC باستعمال الموجة المثلثية من بين الموجات المستعملة كذلك في دارة نجد الموجة المثلثية والتي غالباً ما يتم استخدامها في مجال الاتصالات والتشفير التماذجي للصوت.

أ- الصيغة الرياضية: يتم التعبير عن إشارة الجهد باستعمال الموجة المثلثية بدالة الزمن كما يلي

$$v(t) = \begin{cases} \frac{4V_m}{T}t, & 0 \leq t < \frac{T}{4} \\ -\frac{4V_m}{T}t + 2V_m, & \frac{T}{4} \leq t < \frac{3T}{4} \\ \frac{4V_m}{T}t - 4V_m, & \frac{3T}{4} \leq t < T \end{cases} \quad (6.1)$$

ب- **شكل الموجة:** يتم تمثيل إشارة الجهد باستعمال الموجة المثلثية كما يلي



الشكل 4.1. إشارة الجهد في دارة AC باستعمال الموجة المثلثية.

3.1 أهم التعديلات على الإشارات في الدارات الكهربائية

بعض التطبيقات الكهربائية تتطلب تغيير شكل الإشارات المستعملة في الدارات الكهربائية قصد تحقيق مهمة محددة. فمثلاً، يتم تمرير الإشارة الثابتة لدارة DC عبر دارة خاصة وذلك لتحويلها إلى إشارة AC متناوبة يتم بموجها اختيار قيمة الدور المناسبة. من جهة أخرى، يتم تمرير الإشارة المتناوبة لدارة AC عبر عناصر الكترونية تتمثل عادةً في Diode لتعديل شكل الموجة من السكل المتناوب المتساوي الأقطاب إلى موجة خاضعة لتقسيم نصف مُعَدَّل وتقسيم مُكتمل التعديل كما سيتم تفصيله فيما يلي.

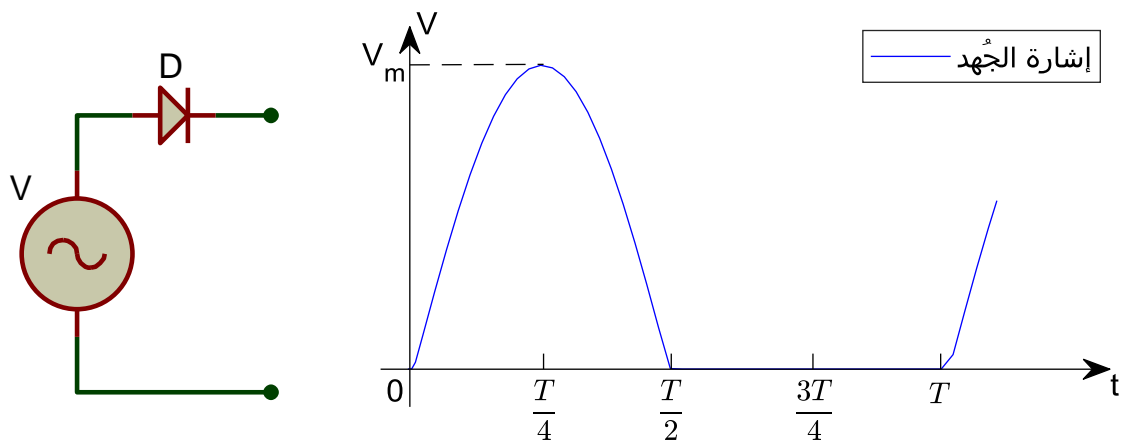
1.3.1 تقسيم نصف مُعَدَّل لإشارة الجهد في دارة AC

1.1.3.1 تقسيم نصف مُعَدَّل لإشارة الجهد في دارة AC بدلالة الموجة الجيبية

أ- الصيغة الرياضية:

$$v(t) = \begin{cases} V_m \sin \omega t, & 0 \leq t < \frac{T}{2} \\ 0, & \frac{T}{2} \leq t < T \end{cases} \quad (7.1)$$

ب- شكل الموجة:



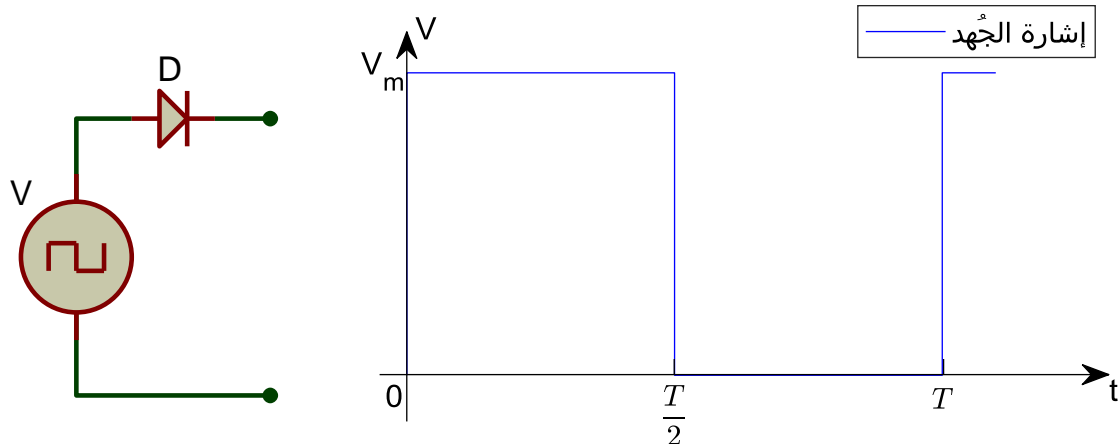
الشكل 5.1. تقسيم نصف مُعَدَّل لإشارة الجهد في دارة AC بدلالة الموجة الجيبية.

2.1.3.1 تقويم نصف مُعَدّل لإشارة الجُهد في دارة AC بدلالة الموجة المُربعة

أ- الصيغة الرياضية:

$$v(t) = \begin{cases} V_m, & 0 \leq t < \frac{T}{2} \\ 0, & \frac{T}{2} \leq t < T \end{cases} \quad (8.1)$$

ب- شكل الموجة:



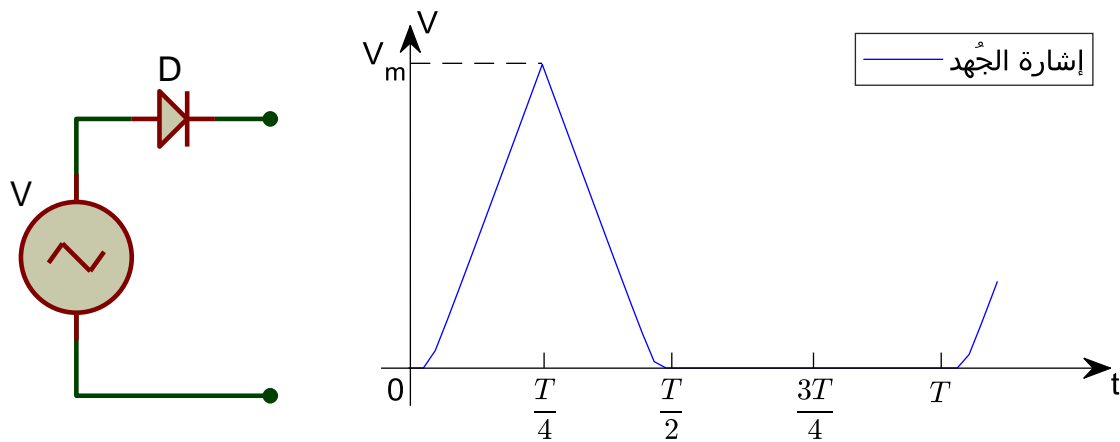
الشكل 6.1. تقويم نصف مُعَدّل لإشارة الجُهد في دارة AC بدلالة الموجة المُربعة.

3.1.3.1 تقويم نصف مُعَدّل لإشارة الجُهد في دارة AC بدلالة الموجة المُثلثية

أ- الصيغة الرياضية:

$$v(t) = \begin{cases} \frac{4V_m}{T} t, & 0 \leq t < \frac{T}{4} \\ -\frac{4V_m}{T} t + 2V_m, & \frac{T}{4} \leq t < \frac{T}{2} \\ 0, & \frac{T}{2} \leq t < T \end{cases} \quad (9.1)$$

ب- شكل الموجة:



الشكل 7.1. تقويم نصف مُعَدّل لإشارة الجُهد في دارة AC بدلالة الموجة المُثلثية.

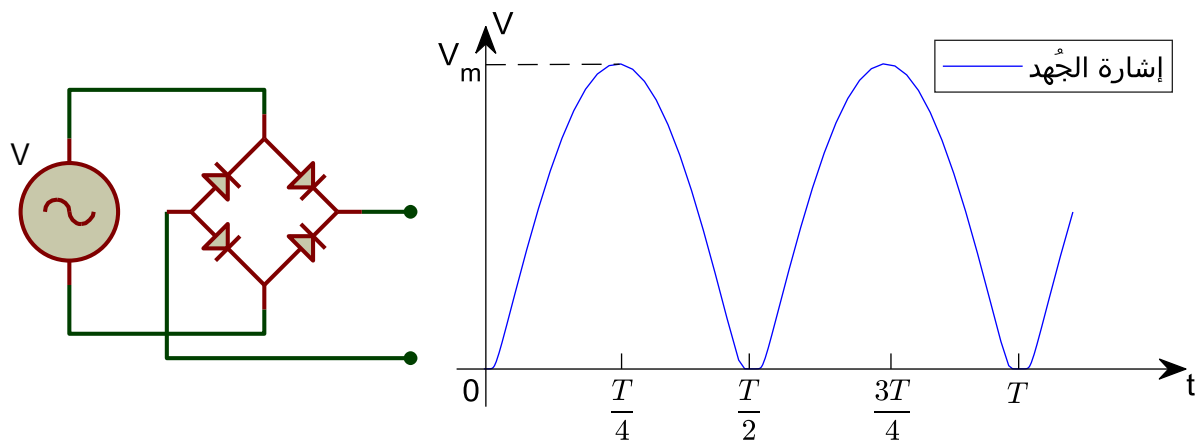
2.3.1 تقويم مُكتمل التعديل لإشارة الجُهد في دارة AC عادةً ما يتم استعمال جسر متكون من أربع عناصر Diode للحصول على تقويم مُكتمل التعديل لإشارة الجُهد في دارة AC.

1.2.3.1 تقويم مُكتمل التعديل لإشارة الجُهد في دارة AC بدلالة الموجة الجيبية

أ- الصيغة الرياضية:

$$v(t) = \begin{cases} V_m \sin \omega t, & 0 \leq t < \frac{T}{2} \\ V_m \sin \left(\omega t - \frac{\pi}{2} \right), & \frac{T}{2} \leq t < T \end{cases} \quad (10.1)$$

ب- شكل الموجة:



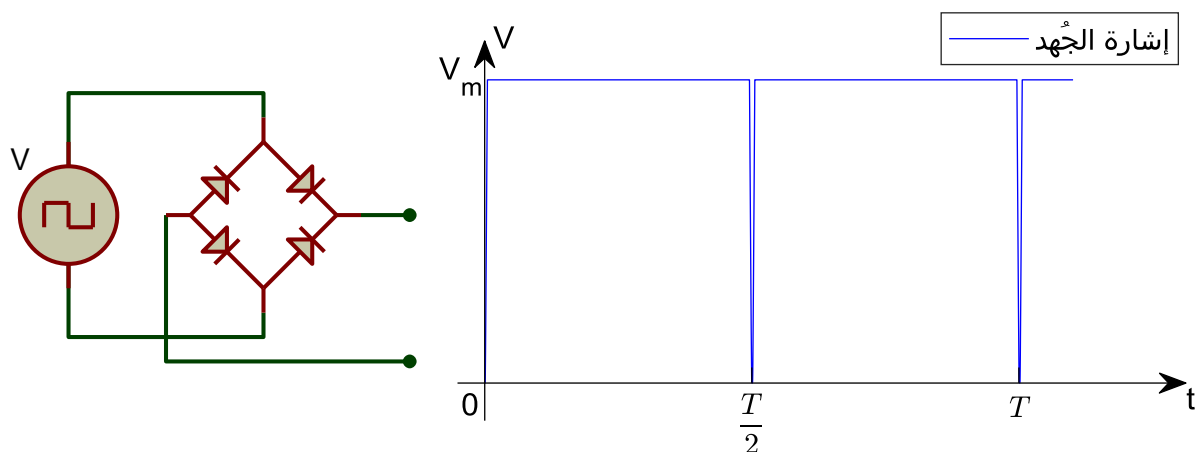
الشكل 8.1. تقويم مُكتمل التعديل لإشارة الجُهد في دارة AC بدلالة الموجة الجيبية.

2.2.3.1 تقويم مُكتمل التعديل لإشارة الجُهد في دارة AC بدلالة الموجة المُربعة

أ- الصيغة الرياضية:

$$v(t) = V_m \quad (11.1)$$

ب- شكل الموجة:



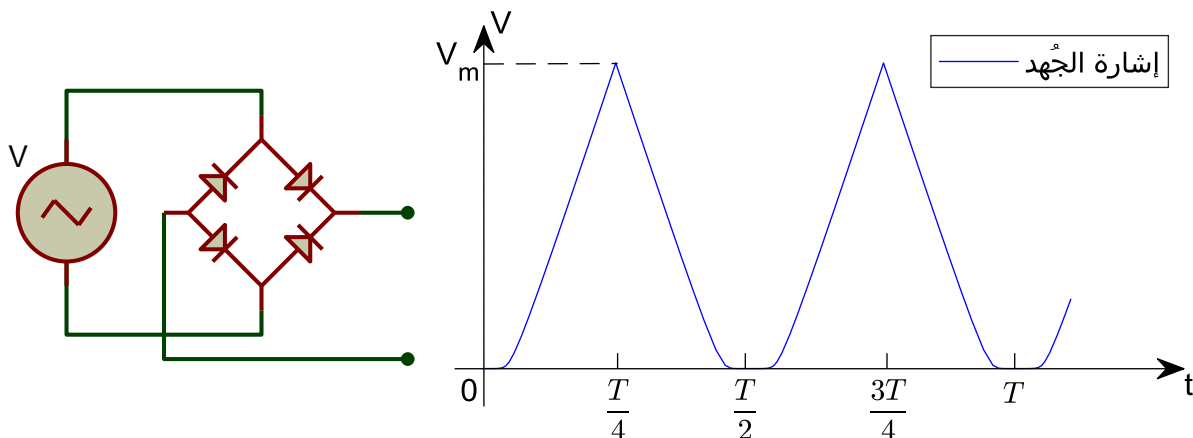
الشكل 9.1. تقويم مُكتمل التعديل لإشارة الجُهد في دارة AC بدلالة الموجة المُربعة.

3.2.3.1 تقويم مُكتمل التعديل لإشارة الجهد في دارة AC بدلالة الموجة المُثلثية

أ- الصيغة الرياضية:

$$v(t) = \begin{cases} \frac{4V_m}{T}t, & 0 \leq t < \frac{T}{4} \\ -\frac{4V_m}{T}t + 2V_m, & \frac{T}{4} \leq t < \frac{T}{2} \\ \frac{4V_m}{T}t - 2V_m, & \frac{T}{2} \leq t < \frac{3T}{4} \\ -\frac{4V_m}{T}t + 4V_m, & \frac{3T}{4} \leq t < T \end{cases} \quad (12.1)$$

ب- شكل الموجة:



الشكل 10.1. تقويم مُكتمل التعديل لإشارة الجهد في دارة AC بدلالة الموجة المُثلثية.

4.1 القيمة المتوسطة والقيمة الفعالة للإشارات في الدارات الكهربائية

القيمة المتوسطة تُعبر عن القيمة الفعلية لإشارة الجهد (التيار) في دارة DC و تُعبر عن متوسط إشارة الجهد (التيار) في دارة AC وهو ما يُوافق متوسط أحد الموجات الدورية السابقة سواء كانت موجة متاوية ومتجنسة؛ أو موجة خاضعة لتقويم نصف مُعَدّل أو مُكتمل التعديل.

من جهة أخرى، فإن القيمة الفعالة هي القيمة التي تميّز المعنى المادي لإشارة الجهد (التيار) في دارة AC حيث أنها تمثل القيمة الحقيقية المُطبقة بين طرفي الجمولة. بصفة أدق، فإن إشارة الجهد (التيار) في دارة AC نفس قيمة التأثير لإشارة الجهد (التيار) في دارة DC إذا كانت قيمته الفعالة تتوافق مع قيمة الجهد (التيار) في دارة DC. على سبيل المثال فإن شدة توهج المصباح من أجل إشارة الجهد عند القيمة الفعالة 12V في دارة AC يكون هو نفسه من أجل إشارة الجهد عند القيمة الثابتة 12V في دارة DC.

فيما يلي نستعرض القيمة المتوسطة والقيمة الفعالة لإشارة الجهد في دارة AC بدلالة الموجات الجيبية، المُربعة والمُثلثية السابقة بما فيها:

- القيمة المتوسطة والقيمة الفعالة لإشارة الجهد بدلالة الموجات المتاوية والمتجنسة
- القيمة المتوسطة والقيمة الفعالة لإشارة الجهد بدلالة الموجات الخاضعة لتقويم نصف مُعَدّل
- القيمة المتوسطة والقيمة الفعالة لإشارة الجهد بدلالة الموجات الخاضعة لتقويم مُكتمل التعديل

1.4.1 القيمة المتوسطة

يتم التعبير عن القيمة المتوسطة V_{av} لإشارة الجهد $v(t)$ باستعمال عبارة التكامل التالية

$$V_{av} = \frac{1}{T} \int_0^T v(t) dt \quad (13.1)$$

حيث أن T عبارة عن دور الدالة.

1.1.4.1 القيمة المتوسطة لإشارة الجهد بدلالة الموجة الجيبية، المُربعة والمُثلثية المتناثرة

أ- القيمة المتوسطة لإشارة الجهد بدلالة موجة جيبية مُتناثرة ومتجانسة:

من خلال الصيغة الرياضية (2.1) لإشارة الجهد بدلالة الموجة الجيبية المتناثرة والمتجانسة، وبنطبيق العلاقة (13.1)، نستنتج القيمة المتوسطة V_{av} للموجة الجيبية متساوية التناوب على النحو التالي

$$\begin{aligned} V_{av} &= \frac{1}{T} \int_0^T v(t) dt = \frac{1}{T} \int_0^T V_m \sin \omega t dt = \frac{V_m}{T} \left[\frac{-1}{\omega} \cos \omega t \right]_0^T \\ &= \frac{-V_m}{\omega T} [\cos(\omega T) - \cos(0)] \end{aligned} \quad (14.1)$$

بما أن $\omega = 2\pi/T$ ، ومنه نستنتج القيمة المتوسطة V_{avg} بالنسبة لموجة جيبية متناثرة كما يلى

$$V_{avg} = \frac{-V_m}{2\pi} [\cos(2\pi) - \cos(0)] = \frac{-V_m}{\omega T} [1 - 1] = 0 \quad (15.1)$$

ب- القيمة المتوسطة لإشارة الجهد بدلالة موجة مُربعة مُتناثرة ومتجانسة:

من خلال الصيغة الرياضية (5.1) لإشارة الجهد بدلالة الموجة المُربعة المتناثرة والمتجانسة، ومن خلال العلاقة (13.1)، نستنتج القيمة المتوسطة V_{av} للموجة المُربعة متساوية التناوب على النحو التالي

$$\begin{aligned} V_{av} &= \frac{1}{T} \int_0^T v(t) dt = \frac{1}{T} \left[\int_0^{T/2} V_m dt + \int_{T/2}^T -V_m dt \right] = \frac{V_m}{T} \left([t]_0^{T/2} - [t]_{T/2}^T \right) \\ &= \frac{V_m}{T} \left(\frac{T}{2} - \frac{T}{2} \right) = 0 \end{aligned} \quad (16.1)$$

ت- القيمة المتوسطة لإشارة الجهد بدلالة موجة مُثلثية مُتناثرة ومتجانسة:

من خلال الصيغة الرياضية (6.1) لإشارة الجهد بدلالة الموجة المُثلثية المتناثرة ووفقاً للعلاقة (13.1)، لدينا

$$\begin{aligned} V_{av} &= \frac{1}{T} \int_0^T v(t) dt \\ &= \frac{1}{T} \left[\int_0^{T/4} \left(\frac{4V_m}{T} t \right) dt + \int_{T/4}^{3T/4} \left(-\frac{4V_m}{T} t + 2V_m \right) dt + \int_{3T/4}^T \left(\frac{4V_m}{T} t - 4V_m \right) dt \right] \\ &= \frac{1}{T} \left[\left(\frac{2V_m}{T} t^2 \right) \Big|_0^{T/4} + \left(-\frac{2V_m}{T} t^2 + 2V_m t \right) \Big|_{T/4}^{3T/4} + \left(\frac{2V_m}{T} t^2 - 4V_m t \right) \Big|_{3T/4}^T \right] \end{aligned} \quad (17.1)$$

بحساب طرفي التكامل لكل حد من الحدود الثلاث على حدي، نجد أن

$$\begin{aligned} \left(\frac{2V_m}{T} t^2 \right)_0^{T/4} &= \frac{V_m T}{8} \\ \left(-\frac{2V_m}{T} t^2 + 2V_m t \right)_{T/4}^{3T/4} &= -\frac{2V_m}{T} \left(\frac{9T^2}{16} - \frac{T^2}{16} \right) + 2V_m \left(\frac{3T}{4} - \frac{T}{4} \right) = 0 \quad (18.1) \\ \left(\frac{2V_m}{T} t^2 - 4V_m t \right)_{3T/4}^T &= \frac{2V_m}{T} \left(T^2 - \frac{9T^2}{16} \right) - 4V_m \left(T - \frac{3T}{4} \right) = -\frac{V_m T}{8} \end{aligned}$$

بتعويض نتيجة كل حد من الحدود السابقة في العبارة (17.1)، نستنتج القيمة المتوسطة V_{avg} للموجة المثلثية المترافقية على النحو التالي

$$V_{avg} = \frac{1}{T} \left[\frac{V_m T}{8} + 0 - \frac{V_m T}{8} \right] = 0 \quad (19.1)$$

2.1.4.1 القيمة المتوسطة لإشارة الجهد بدلالة الموجة الجيبية، المُربعة والمُثلثية الخاضعة لتقسيم نصف مُعَدّل

أ- القيمة المتوسطة لإشارة الجهد بدلالة الموجة الجيبية الخاضعة لتقسيم نصف مُعَدّل:
من خلال الصيغة الرياضية (7.1) لإشارة الجهد بدلالة الموجة الجيبية الخاضعة لتقسيم نصف مُعَدّل وبنطبيق العلاقة (13.1)، نستنتج القيمة المتوسطة V_{avg} كما يلي

$$\begin{aligned} V_{avg} &= \frac{1}{T} \int_0^T v(t) dt = \frac{1}{T} \left[\int_0^{T/2} V_m \sin \omega t dt + \int_{T/2}^T 0 dt \right] = \frac{-V_m}{\omega T} [\cos \omega t]_0^{T/2} \\ &= \frac{-V_m}{\omega T} \left[\cos \left(\frac{\omega T}{2} \right) - \cos(0) \right] = \frac{-V_m}{2\pi} [\cos(\pi) - \cos(0)] \quad (20.1) \\ &= \frac{-V_m}{2\pi} [-1 - 1] = \frac{V_m}{\pi} \end{aligned}$$

ب- القيمة المتوسطة لإشارة الجهد بدلالة الموجة المُربعة الخاضعة لتقسيم نصف مُعَدّل:
من خلال الصيغة الرياضية (8.1) وبنطبيق العلاقة (13.1)، نستنتج القيمة المتوسطة V_{avg} كما يلي

$$V_{avg} = \frac{1}{T} \int_0^T v(t) dt = \frac{1}{T} \left[\int_0^{T/2} V_m dt + \int_{T/2}^T 0 dt \right] = \frac{V_m}{T} [t]_0^{T/2} = \frac{V_m}{2} \quad (21.1)$$

ت- القيمة المتوسطة لإشارة الجهد بدلالة الموجة المُثلثية الخاضعة لتقسيم نصف مُعَدّل:
من خلال الصيغة الرياضية (9.1) وبنطبيق العلاقة (13.1)، نستنتج القيمة المتوسطة V_{avg} التالية

$$\begin{aligned} V_{avg} &= \frac{1}{T} \int_0^T v(t) dt = \frac{1}{T} \left[\int_0^{T/4} \left(\frac{4V_m}{T} t \right) dt + \int_{T/4}^{T/2} \left(-\frac{4V_m}{T} t + 2V_m \right) dt + \int_{T/2}^T 0 dt \right] \\ &= \frac{1}{T} \left[\left(\frac{2V_m}{T} t^2 \right)_0^{T/4} + \left(-\frac{2V_m}{T} t^2 + 2V_m t \right)_{T/4}^{T/2} \right] \quad (22.1) \end{aligned}$$

بحساب طرفي التكامل لكل حد على حدٍ، نجد أنَّ

$$\begin{aligned} \left(\frac{2V_m}{T} t^2 \right)_0^{T/4} &= \frac{V_m T}{8} \\ \left(-\frac{2V_m}{T} t^2 + 2V_m t \right)_{T/4}^{T/2} &= -\frac{2V_m}{T} \left(\frac{T^2}{4} - \frac{T^2}{16} \right) + 2V_m \left(\frac{T}{2} - \frac{T}{4} \right) = -\frac{3V_m T}{8} + \frac{V_m T}{2} \end{aligned} \quad (23.1)$$

بتعميّص نتيجة كل حد من الحدود السابقة في العبارة (22.1)، تتحصل على النتيجة التالية

$$V_{av} = \frac{1}{T} \left[\frac{V_m T}{8} - \frac{3V_m T}{8} + \frac{V_m T}{2} \right] = \frac{V_m}{4} \quad (24.1)$$

3.1.4.1 القيمة المتوسطة لإشارة الجهد بدلالة الموجة الجيبية، المُربعة والمُثلثية الخاضعة لتقويم مُكتمل التعديل

أ- القيمة المتوسطة لإشارة الجهد بدلالة الموجة الجيبية الخاضعة لتقويم مُكتمل التعديل:
من خلال الصيغة الرياضية (10.1) لإشارة الجهد بدلالة الموجة الجيبية الخاضعة لتقويم مُكتمل التعديل من التناوب وبنطبيق العلاقة (13.1)، نستنتج القيمة المتوسطة V_{avg} التالية

$$\begin{aligned} V_{av} &= \frac{1}{T} \int_0^T v(t) dt = \frac{1}{T} \left[\int_0^{T/2} V_m \sin \omega t dt + \int_{T/2}^T V_m \sin \left(\omega t - \frac{T}{2} \right) dt \right] \\ &= -\frac{V_m}{\omega T} \left[\left[\cos \omega t \right]_0^{T/2} + \left[\cos \left(\omega t - \frac{T}{2} \right) \right]_{T/2}^T \right] \\ &= -\frac{V_m}{\omega T} \left(\cos \left(\frac{\omega T}{2} \right) - \cos(0) + \cos \left(\frac{\omega T}{2} \right) - \cos(0) \right) \\ &= -\frac{V_m}{2\pi} (2 \cos(\pi) - 2 \cos(0)) = -\frac{V_m}{2\pi} (-2 - 2) \\ &= \frac{2V_m}{\pi} \end{aligned} \quad (25.1)$$

ب- القيمة المتوسطة لإشارة الجهد بدلالة الموجة المُربعة الخاضعة لتقويم مُكتمل التعديل:
من خلال الصيغة الرياضية (11.1) وبنطبيق العلاقة (13.1)، نستنتج القيمة المتوسطة V_{avg} التالية

$$V_{av} = \frac{1}{T} \int_0^T v(t) dt = \frac{1}{T} \int_0^T V_m dt = V_m \quad (26.1)$$

ت- القيمة المتوسطة لإشارة الجهد بدلالة الموجة المُثلثية الخاضعة لتقويم مُكتمل التعديل:
من خلال الصيغة الرياضية (11.1) وبنطبيق العلاقة (13.1)، نستنتج القيمة المتوسطة V_{avg} التالية

$$\begin{aligned} V_{av} &= \frac{1}{T} \int_0^T v(t) dt = \frac{1}{T} \left[\int_0^{T/4} \left(\frac{4V_m}{T} t \right) dt + \int_{T/4}^{T/2} \left(-\frac{4V_m}{T} t + 2V_m \right) dt \right. \\ &\quad \left. + \int_{T/2}^{3T/4} \left(\frac{4V_m}{T} t - 2V_m \right) dt + \int_{3T/4}^T \left(-\frac{4V_m}{T} t + 4V_m \right) dt \right] \end{aligned} \quad (27.1)$$

ومنه

$$V_{av} = \frac{1}{T} \left[\left(\frac{2V_m}{T} t^2 \right)_{0}^{T/4} + \left(-\frac{2V_m}{T} t^2 + 2V_m t \right)_{T/4}^{T/2} + \left(\frac{2V_m}{T} t^2 - 2V_m t \right)_{T/2}^{3T/4} + \left(-\frac{2V_m}{T} t^2 + 4V_m t \right)_{3T/4}^T \right] \quad (28.1)$$

بحساب طرفي التكامل لكل حد على حد، نجد أن

$$\begin{aligned} \left(\frac{2V_m}{T} t^2 \right)_{0}^{T/4} &= \frac{V_m T}{8} \\ \left(-\frac{2V_m}{T} t^2 + 2V_m t \right)_{T/4}^{T/2} &= -\frac{2V_m}{T} \left(\frac{T^2}{4} - \frac{T^2}{16} \right) + 2V_m \left(\frac{T}{2} - \frac{T}{4} \right) = \frac{V_m T}{8} \\ \left(\frac{2V_m}{T} t^2 - 2V_m t \right)_{T/2}^{3T/4} &= \frac{2V_m}{T} \left(\frac{9T^2}{16} - \frac{T^2}{4} \right) - 2V_m \left(\frac{3T}{4} - \frac{T}{2} \right) = \frac{V_m T}{8} \\ \left(-\frac{2V_m}{T} t^2 + 4V_m t \right)_{3T/4}^T &= -\frac{2V_m}{T} \left(T^2 - \frac{9T^2}{16} \right) + 4V_m \left(T - \frac{3T}{4} \right) = \frac{V_m T}{8} \end{aligned} \quad (29.1)$$

بتعويض نتيجة كل حد من الحدود السابقة في العبارة (28.1)، ومنه نجد أن القيمة المتوسطة لموجة مُثلثية خاصعة لتقسيم مُكتمل التعديل هي

$$V_{av} = \frac{1}{T} \left[\frac{V_m T}{8} + \frac{V_m T}{8} + \frac{V_m T}{8} + \frac{V_m T}{8} \right] = \frac{V_m}{2} \quad (30.1)$$

2.4.1 القيمة الفعالة

يتم التعبير عن القيمة الفعالة لإشارة الجهد في دارة AC بالرمز V_{RMS} حيث أن الكلمة المختصرة RMS تدل على الجذر التربيعي للمتوسط الحسابي لمجموع قيم الموجة. تُعطى القيمة الفعالة لإشارة الجهد $v(t)$ بالعبارة التالية

$$V_{RMS} = \sqrt{\frac{1}{T} \int_0^T [v(t)]^2 dt} \quad (31.1)$$

حيث أن T عبارة عن دورة الموجة.

1.2.4.1 القيمة الفعالة لإشارة الجهد بدلالة الموجة الجيبية، المُربعة والمُثلثية المتداوقة

أ- القيمة الفعالة لإشارة الجهد بدلالة الموجة الجيبية المتداوقة:

من خلال الصيغة الرياضية (2.1) لإشارة الجهد بدلالة الموجة الجيبية المتداوقة وبنطاق العلاقة (31.1)، نستنتج القيمة الفعالة V_{RMS} للموجة الجيبية متداوقة التناوب على النحو التالي

$$V_{RMS} = \sqrt{\frac{1}{T} \int_0^T [V_m \sin \omega t]^2 dt} = \sqrt{\frac{1}{T} V_m^2 \int_0^T [\sin \omega t]^2 dt} \quad (32.1)$$

من خلال خصائص الدوال الجيبية، نعلم أنّ

$$\begin{cases} 1 = (\cos \omega t)^2 + (\sin \omega t)^2 \\ \cos(\omega t + \omega t) = \cos(\omega t) \cos(\omega t) - \sin(\omega t) \sin(\omega t) = (\cos \omega t)^2 - (\sin \omega t)^2 \end{cases} \quad (33.1)$$

ومنه،

$$1 - \cos(2\omega t) = 2(\sin \omega t)^2 \Rightarrow (\sin \omega t)^2 = \frac{1 - \cos(2\omega t)}{2} \quad (34.1)$$

بتعمية العبرة الأخيرة في العلاقة (32.1)، نجد أنّ

$$\begin{aligned} V_{\text{RMS}} &= \sqrt{\frac{1}{T} \int_0^T V_m^2 [\sin \omega t]^2 dt} = V_m \sqrt{\frac{1}{T} \int_0^T \frac{1 - \cos(2\omega t)}{2} dt} \\ &= V_m \sqrt{\frac{1}{2T} \int_0^T [1 - \cos(2\omega t)] dt} = V_m \sqrt{\frac{1}{2T} \left[t - \frac{1}{2\omega} \sin(2\omega t) \right]_0^T} \\ &= V_m \sqrt{\frac{1}{2T} \left[T - \frac{1}{2\omega} \sin(2\omega T) + \frac{1}{2\omega} \sin(0) \right]} = V_m \sqrt{\frac{1}{2T} [T - 0 + 0]} \end{aligned} \quad (35.1)$$

لأنّ $0 = \sin(2\omega T) = \sin 4\pi = \sin(0)$. ومنه تتحقق على القيمة الفعالة V_{RMS} بالنسبة لموجة جيبية متساوية كما يلي

$$V_{\text{RMS}} = V_m \sqrt{\frac{T}{2T}} = \frac{V_m}{\sqrt{2}} \quad (36.1)$$

ب- القيمة الفعالة لإشارة الجهد بدلالة الموجة المُربعة المتساوية:

من خلال الصيغة الرياضية (5.1) لإشارة الجهد بدلالة الموجة المُربعة المتساوية وبالاعتماد على العلاقة (31.1)، نستنتج القيمة الفعالة V_{RMS} كما يلي

$$\begin{aligned} V_{\text{RMS}} &= \sqrt{\frac{1}{T} \left(\int_0^{T/2} (V_m)^2 dt + \int_{T/2}^T (-V_m)^2 dt \right)} = \sqrt{\frac{1}{T} V_m^2 \left(\int_0^{T/2} dt + \int_{T/2}^T dt \right)} \\ &= V_m \sqrt{\frac{1}{T} \left([t]_0^T \right)} = V_m \end{aligned} \quad (37.1)$$

ت- القيمة الفعالة لإشارة الجهد بدلالة الموجة المُثلثية المتساوية:

من خلال الصيغة الرياضية (6.1) لإشارة الجهد بدلالة الموجة المُثلثية المتساوية ووفقاً للعلاقة (31.1)، فإنّ القيمة الفعالة V_{RMS} للموجة المُثلثية متساوية التناوب تكون على النحو التالي

$$\begin{aligned} V_{\text{RMS}} &= \sqrt{\frac{1}{T} \int_0^T [v(t)]^2 dt} = \sqrt{\left\{ \frac{1}{T} \int_0^{T/4} \left(\frac{4V_m}{T} t \right)^2 dt + \int_{T/4}^{3T/4} \left(-\frac{4V_m}{T} t + 2V_m \right)^2 dt \right.} \\ &\quad \left. + \int_{3T/4}^T \left(\frac{4V_m}{T} t - 4V_m \right)^2 dt \right\}} \end{aligned} \quad (38.1)$$

بحساب التكامل لكل حدٍ على حدٍ، تتحقق على النتائج التالية

- التكامل الأول

$$\int_0^{T/4} \left[\frac{4V_m}{T} t \right]^2 dt = \left[\frac{4V_m}{T} t^2 \right]_0^{T/4} = \frac{16V_m^2}{T^2} \left[\frac{1}{3} t^3 \right]_0^{T/4} = \frac{16V_m^2}{3T^2} \left[\frac{T^3}{64} \right] = \frac{V_m^2 T}{12} \quad (39.1)$$

- التكامل الثاني

$$\begin{aligned} \int_{T/4}^{3T/4} \left[-\frac{4V_m}{T} t + 2V_m \right]^2 dt &= \int_{T/4}^{3T/4} \left[\frac{16V_m^2}{T^2} t^2 - \frac{16V_m^2}{T} t + 4V_m^2 \right] dt \\ &= \frac{16V_m^2}{T^2} \left[\frac{1}{3} t^3 \right]_{T/4}^{3T/4} - \frac{16V_m^2}{T} \left[\frac{1}{2} t^2 \right]_{T/4}^{3T/4} + 4V_m^2 \left[t \right]_{T/4}^{3T/4} \\ &= \frac{16V_m^2}{3T^2} \left[\frac{27T^3}{64} - \frac{T^3}{64} \right] - \frac{16V_m^2}{2T} \left[\frac{9T^2}{16} - \frac{T^2}{16} \right] + 4V_m^2 \left[\frac{3T}{4} - \frac{T}{4} \right] \\ &= V_m^2 T \left[\frac{26}{12} - 4 + 2 \right] = \frac{V_m^2 T}{6} \end{aligned} \quad (40.1)$$

- التكامل الثالث

$$\begin{aligned} \int_{3T/4}^T \left[\frac{4V_m}{T} t - 4V_m \right]^2 dt &= \int_{3T/4}^T \left[\frac{16V_m^2}{T^2} t^2 - \frac{32V_m^2}{T} t + 16V_m^2 \right] dt \\ &= \frac{16V_m^2}{T^2} \left[\frac{1}{3} t^3 \right]_{3T/4}^T - \frac{32V_m^2}{T} \left[\frac{1}{2} t^2 \right]_{3T/4}^T + 16V_m^2 \left[t \right]_{3T/4}^T \\ &= \frac{16V_m^2}{3T^2} \left[T^3 - \frac{27T^3}{64} \right] - \frac{32V_m^2}{2T} \left[T^2 - \frac{9T^2}{16} \right] + 16V_m^2 \left[T - \frac{3T}{4} \right] \\ &= V_m^2 T \left[\frac{37}{12} - 7 + 4 \right] = \frac{V_m^2 T}{12} \end{aligned} \quad (41.1)$$

بتعيين صيغ التكاملات الثلاث (39.1)، (40.1) و (41.1) في العبارة (38.1)، نستنتج القيمة الفعالة لإشارة الجهد بدلاًلة موجة مُثلثية مُتساوية التناوب التالية:

$$V_{RMS} = \sqrt{\frac{1}{T} \int_0^T [v(t)]^2 dt} = \sqrt{\frac{1}{T} \left[\frac{V_m^2 T}{12} + \frac{V_m^2 T}{6} + \frac{V_m^2 T}{12} \right]} = \frac{V_m}{\sqrt{3}} \quad (42.1)$$

2.2.4.1 القيمة الفعالة لإشارة الجهد بدلاًلة الموجة الجيبية، المُربعة والمُثلثية الخاضعة لتقسيم نصف مُعَدّل

أ- القيمة الفعالة لإشارة الجهد بدلاًلة الموجة الجيبية الخاضعة لتقسيم نصف مُعَدّل:
من خلال الصيغة الرياضية (7.1) لإشارة الجهد بدلاًلة الموجة الجيبية الخاضعة لتقسيم نصف مُعَدّل وبنطبيق العلاقة (31.1)، نستنتج القيمة الفعالة V_{RMS} كما يلي

$$V_{RMS} = \sqrt{\frac{1}{T} \int_0^T [V_m \sin \omega t]^2 dt} = V_m \sqrt{\frac{1}{T} \left[\int_0^{T/2} [\sin \omega t]^2 dt + \int_{T/2}^T 0 dt \right]}$$

$$\begin{aligned}
 &= V_m \sqrt{\frac{1}{2T} \left[t - \frac{1}{2\omega} \sin(2\omega t) \right]_0^{T/2}} = V_m \sqrt{\frac{1}{2T} \left[\frac{T}{2} - \frac{1}{2\omega} \sin(\omega T) + \frac{1}{2\omega} \sin(0) \right]} \\
 &= V_m \sqrt{\frac{1}{2T} \left[\frac{T}{2} - 0 + 0 \right]} = \frac{V_m}{2}
 \end{aligned} \tag{43.1}$$

ب- القيمة الفعالة لموجة مربعة خاضعة لتقويم نصف معدّل:
من خلال الصيغة الرياضية (8.1) وبنطبيق العلاقة (31.1)، نستنتج القيمة الفعالة V_{RMS} كما يلي

$$\begin{aligned}
 V_{RMS} &= \sqrt{\frac{1}{T} \int_0^T V_m^2 [\sin \omega t]^2 dt} = V_m \sqrt{\frac{1}{T} \left[\int_0^{T/2} [\sin \omega t]^2 dt + \int_{T/2}^T 0 dt \right]} \\
 &= V_m \sqrt{\frac{1}{2T} \left[\int_0^{T/2} [1 - \cos(2\omega t)] dt + \int_{T/2}^T 0 dt \right]} = V_m \sqrt{\frac{1}{2T} \left[t - \frac{1}{2\omega} \sin(2\omega t) \right]_0^{T/2}} \\
 &= V_m \sqrt{\frac{1}{2T} \left[\frac{T}{2} - \frac{1}{2\omega} \sin(\omega T) + \frac{1}{2\omega} \sin(0) \right]} = \frac{V_m}{2}
 \end{aligned} \tag{44.1}$$

ت- القيمة الفعالة لموجة متّلية خاضعة لتقويم نصف معدّل:
من خلال الصيغة الرياضية (9.1) وبنطبيق العلاقة (31.1)، نستنتج القيمة الفعالة V_{RMS} التالية

$$\begin{aligned}
 V_{RMS} &= \sqrt{\frac{1}{T} \int_0^T [v(t)]^2 dt} \\
 &= \sqrt{\frac{1}{T} \left[\int_0^{T/4} \left[\frac{4V_m}{T} t \right]^2 dt + \int_{T/4}^{T/2} \left[-\frac{4V_m}{T} t + 2V_m \right]^2 dt + \int_{T/2}^T 0 dt \right]}
 \end{aligned} \tag{45.1}$$

بحساب التكامل لكل حدٍ على حدٍ، تتحصل على النتائج التالية
- التكامل الأول

$$\int_0^{T/4} \left[\frac{4V_m}{T} t \right]^2 dt = \left[\frac{4V_m}{T} \right]^2 \int_0^{T/4} t^2 dt = \frac{16V_m^2}{T^2} \left[\frac{1}{3} t^3 \right]_0^{T/4} = \frac{16V_m^2}{3T^2} \left[\frac{T^3}{64} \right] = \frac{V_m^2 T}{12} \tag{46.1}$$

- التكامل الثاني

$$\begin{aligned}
 \int_{T/4}^{T/2} \left[-\frac{4V_m}{T} t + 2V_m \right]^2 dt &= \int_{T/4}^{T/2} \left[\frac{16V_m^2}{T^2} t^2 - \frac{16V_m^2}{T} t + 4V_m^2 \right] dt \\
 &= \frac{16V_m^2}{T^2} \left[\frac{1}{3} t^3 \right]_{T/4}^{T/2} - \frac{16V_m^2}{T} \left[\frac{1}{2} t^2 \right]_{T/4}^{T/2} + 4V_m^2 \left[t \right]_{T/4}^{T/2} \\
 &= \frac{16V_m^2}{3T^2} \left[\frac{T^3}{8} - \frac{T^3}{64} \right] - \frac{16V_m^2}{2T} \left[\frac{T^2}{4} - \frac{T^2}{16} \right] + 4V_m^2 \left[\frac{T}{2} - \frac{T}{4} \right] \\
 &= V_m^2 T \left[\frac{7}{12} - \frac{3}{2} + 1 \right] = \frac{V_m^2 T}{12}
 \end{aligned} \tag{47.1}$$

بتعويض صيغ التكاملات (46.1) و (47.1) في العبارة (45.1)، نستنتج القيمة الفعالة التالية

$$V_{RMS} = \sqrt{\frac{1}{T} \int_0^T [v(t)]^2 dt} = \sqrt{\frac{1}{T} \left[\frac{V_m^2 T}{12} + \frac{V_m^2 T}{12} \right]} = \frac{V_m}{\sqrt{6}} \quad (48.1)$$

3.2.4.1 القيمة الفعالة لإشارة الجهد بدلاة الموجة الجيبية، المُربعة والمُثلثية الخاضعة لتقسيم مُكتمل التعديل

أ- القيمة الفعالة لإشارة الجهد بدلاة الموجة الجيبية الخاضعة لتقسيم مُكتمل التعديل:

من خلال الصيغة الرياضية (10.1) لإشارة الجهد بدلاة الموجة الجيبية الخاضعة لتقسيم مُكتمل التعديل وبنطبيق العلاقة (31.1)، نستنتج القيمة الفعالة V_{RMS} التالية

$$\begin{aligned} V_{RMS} &= \sqrt{\frac{1}{T} \int_0^T [v(t)]^2 dt} = \sqrt{\frac{1}{T} \left[\int_0^{T/2} V_m^2 [\sin \omega t]^2 dt + \int_{T/2}^T V_m^2 \left[\sin \left(\omega t - \frac{T}{2} \right) \right]^2 dt \right]} \\ &= V_m \sqrt{\frac{1}{T} \left[\int_0^T \left(\frac{1 - \cos 2\omega t}{2} \right) dt + \int_{T/2}^T \left(\frac{1 - \cos(2\omega t - T)}{2} \right) dt \right]} \end{aligned} \quad (49.1)$$

بحساب عبارة كل تكامل على حدي، ومنه نستخرج عبارة التكامل الأول كما يلي

$$\begin{aligned} \int_0^{T/2} \left(\frac{1 - \cos 2\omega t}{2} \right) dt &= \frac{1}{2} \left[t - \frac{1}{2\omega} \sin(2\omega t) \right]_0^{T/2} = \frac{1}{2} \left[\frac{T}{2} - \frac{1}{2\omega} \sin(\omega T) + \frac{1}{2\omega} \sin(0) \right] \\ &= \frac{1}{2} \left[\frac{T}{2} - \frac{1}{2\omega} \sin(2\pi) + \frac{1}{2\omega} \sin(0) \right] = \frac{T}{4} \end{aligned} \quad (50.1)$$

من جهة أخرى، نستخرج عبارة التكامل الثاني التالية

$$\begin{aligned} \int_{T/2}^T \left(\frac{1 - \cos(2\omega t - T)}{2} \right) dt &= \frac{1}{2} \left[t - \frac{1}{2\omega} \sin(2\omega t - T) \right]_{T/2}^T \\ &= \frac{1}{2} \left[T - \frac{1}{2\omega} \sin(2\omega T - T) - \frac{T}{2} + \frac{1}{2\omega} \sin(\omega T - T) \right] \\ &= \frac{1}{2} \left[T - \frac{1}{2\omega} \sin(4\pi - T) - \frac{T}{2} + \frac{1}{2\omega} \sin(2\pi - T) \right] \end{aligned} \quad (51.1)$$

ويمـا أـنـ

$$\begin{cases} \sin(4\pi - T) = \sin 4\pi \cos T - \sin T \cos 4\pi = -\sin T \\ \sin(2\pi - T) = \sin 2\pi \cos T - \sin T \cos 2\pi = -\sin T \end{cases} \quad (52.1)$$

$$\Rightarrow -\sin(4\pi - T) + \sin(2\pi - T) = +\sin T - \sin T = 0$$

ومنه يتم تبسيط التكامل الثاني على النحو التالي

$$\int_{T/2}^T \left(\frac{1 - \cos(2\omega t - T)}{2} \right) dt = \frac{T}{4} \quad (53.1)$$

بتعويض عبارة كلٌ من التكامل الأول (50.1) والتكامل الثاني (53.1) في العبارة (49.1)، تتحصل على القيمة الفعالة لموجة جيبية خاضعة لتقسيم مُكتمل التعديل على النحو التالي

$$V_{RMS} = V_m \sqrt{\frac{1}{T} \left(\frac{T}{4} + \frac{T}{4} \right)} = \frac{V_m}{\sqrt{2}} \quad (54.1)$$

ب- القيمة الفعالة لإشارة الجهد بدلاة الموجة المربعة الخاضعة لتقسيم مُكتمل التعديل:
من خلال الصيغة الرياضية (11.1) وتطبيق العلاقة (31.1)، نستنتج القيمة الفعالة V_{RMS} التالية

$$V_{RMS} = \sqrt{\frac{1}{T} \int_0^T [V_m]^2 dt} = V_m \sqrt{\frac{1}{T} \int_0^T dt} = V_m \sqrt{\frac{1}{T} [t]_0^T} = V_m \quad (55.1)$$

ت- القيمة الفعالة لإشارة الجهد بدلاة الموجة المثلثية الخاضعة لتقسيم مُكتمل التعديل:
من خلال الصيغة الرياضية (12.1) وتطبيق العلاقة (31.1)، نستنتج القيمة الفعالة V_{RMS} التالية

$$V_{RMS} = \sqrt{\frac{1}{T} \int_0^T [v(t)]^2 dt} = \sqrt{\left\{ \left[\frac{1}{T} \int_0^{T/4} \left(\frac{4V_m}{T} t \right)^2 dt + \int_{T/4}^{3T/4} \left(-\frac{4V_m}{T} t + 2V_m \right)^2 dt \right. \right.} \\ \left. \left. + \int_{3T/4}^T \left(\frac{4V_m}{T} t - 4V_m \right)^2 dt \right] \right\}} \quad (56.1)$$

حيث أنَّ الرمز $\sqrt{\quad}$ يُشير إلى الجذر. بحساب التكامل لكل حدٍ على حدٍ، تتحصل على النتائج التالية

- التكامل الأول

$$\int_0^{T/4} \left[\frac{4V_m}{T} t \right]^2 dt = \frac{16V_m^2}{T^2} \left[\frac{1}{3} t^3 \right]_0^{T/4} = \frac{16V_m^2}{3T^2} \left[\frac{T^3}{64} \right] = \frac{V_m^2 T}{12} \quad (57.1)$$

- التكامل الثاني

$$\int_{T/4}^{T/2} \left[-\frac{4V_m}{T} t + 2V_m \right]^2 dt = \int_{T/4}^{3T/4} \left[\frac{16V_m^2}{T^2} t^2 - \frac{16V_m^2}{T} t + 4V_m^2 \right] dt \\ = \frac{16V_m^2}{T^2} \left[\frac{1}{3} t^3 \right]_{T/4}^{T/2} - \frac{16V_m^2}{T} \left[\frac{1}{2} t^2 \right]_{T/4}^{T/2} + 4V_m^2 \left[t \right]_{T/4}^{T/2} \\ = \frac{16V_m^2}{3T^2} \left[\frac{T^3}{8} - \frac{T^3}{64} \right] - \frac{16V_m^2}{2T} \left[\frac{T^2}{4} - \frac{T^2}{16} \right] + 4V_m^2 \left[\frac{T}{2} - \frac{T}{4} \right] \\ = V_m^2 T \left[\frac{7}{12} - \frac{3}{2} + 1 \right] = \frac{V_m^2 T}{12} \quad (58.1)$$

- التكامل الثالث

$$\int_{T/2}^{3T/4} \left[\frac{4V_m}{T} t - 2V_m \right]^2 dt = \int_{3T/4}^T \left[\frac{16V_m^2}{T^2} t^2 - \frac{16V_m^2}{T} t + 4V_m^2 \right] dt \quad (59.1)$$

$$\begin{aligned}
 &= \frac{16V_m^2}{T^2} \left[\frac{1}{3} t^3 \right]_{T/2}^{3T/4} - \frac{16V_m^2}{T} \left[\frac{1}{2} t^2 \right]_{T/2}^{3T/4} + 4V_m^2 \left[t \right]_{T/2}^{3T/4} \\
 &= \frac{16V_m^2}{3T^2} \left[\frac{27T^3}{64} - \frac{T^3}{8} \right] - \frac{16V_m^2}{2T} \left[\frac{9T^2}{16} - \frac{T^2}{4} \right] + 4V_m^2 \left[\frac{3T}{4} - \frac{T}{2} \right] \quad (60.1) \\
 &= V_m^2 T \left[\frac{19}{12} - \frac{5}{2} + 1 \right] = \frac{V_m^2 T}{12}
 \end{aligned}$$

- التكامل الرابع

$$\begin{aligned}
 \int_{3T/4}^T \left[-\frac{4V_m}{T} t + 4V_m \right]^2 dt &= \int_{3T/4}^T \left[\frac{16V_m^2}{T^2} t^2 - \frac{32V_m^2}{T} t + 16V_m^2 \right] dt \\
 &= \frac{16V_m^2}{T^2} \left[\frac{1}{3} t^3 \right]_{3T/4}^T - \frac{32V_m^2}{T} \left[\frac{1}{2} t^2 \right]_{3T/4}^T + 16V_m^2 \left[t \right]_{3T/4}^T \\
 &= \frac{16V_m^2}{3T^2} \left[T^3 - \frac{27T^3}{64} \right] - \frac{32V_m^2}{2T} \left[T^2 - \frac{9T^2}{16} \right] + 16V_m^2 \left[T - \frac{3T}{4} \right] \quad (61.1) \\
 &= V_m^2 T \left[\frac{37}{12} - 7 + 4 \right] = \frac{V_m^2 T}{12}
 \end{aligned}$$

بتعويض صيغ التكاملات الأربع من (57.1) إلى (60.1) في العبارة (56.1)، نستنتج القيمة الفعالة لموجة مُثلثة خاضعة لتقويم مُكتمل التعديل كما يلي

$$V_{RMS} = \sqrt{\frac{1}{T} \int_0^T [v(t)]^2 dt} = \sqrt{\frac{1}{T} \left[\frac{V_m^2 T}{12} + \frac{V_m^2 T}{12} + \frac{V_m^2 T}{12} + \frac{V_m^2 T}{12} \right]} = \frac{V_m}{\sqrt{3}} \quad (62.1)$$

3.4.1 ملخص نتائج القيم المتوسطة والقيم الفعالة لأهم أنواع الموجات الدوربة في دارة AC
نستعرض في الجدول 1.1 ملخص النتائج المتحصل عليها بالنسبة للقيم المتوسطة والقيم الفعالة لأهم أنواع الموجات الدوربة في دارة AC.

الجدول 1.1. القيم المتوسطة والقيم الفعالة لأهم أنواع الموجات الدوربة في دارة AC.

خاضعة لتقويم مُكتمل التعديل (full)		خاضعة لتقويم نصف مُعدل (half)		مُتناوبة (alternative)		النوع الموجة
القيمة الفعالة	القيمة المتوسطة	القيمة الفعالة	القيمة المتوسطة	القيمة الفعالة	القيمة المتوسطة	
$\frac{V_m}{\sqrt{2}}$	$\frac{2V_m}{\pi}$	$\frac{V_m}{2}$	$\frac{V_m}{\pi}$	$\frac{V_m}{\sqrt{2}}$	0	الجيبية (sin)
V_m	V_m	$\frac{V_m}{2}$	$\frac{V_m}{2}$	V_m	0	المُربعة (sqr)
$\frac{V_m}{\sqrt{3}}$	$\frac{V_m}{2}$	$\frac{V_m}{\sqrt{6}}$	$\frac{V_m}{4}$	$\frac{V_m}{\sqrt{3}}$	0	المُثلثية (tri)

5.1 عامل الشكل

عامل الشكل (Ff) هو بحكم التعريف نسبة القيمة الفعالة إلى القيمة المتوسطة لإشارة الجهد (التيار) الخاضعة لتقسيم بسيط أو مكتمل التعديل. يتم التعبير على عامل الشكل كما يلي :

$$Ff_{\text{signal}} = \frac{V_{\text{RMS (signal)}}}{V_{\text{av (signal)}}} = \frac{I_{\text{RMS (signal)}}}{I_{\text{av (signal)}}} \quad (63.1)$$

وعليه، نستنتج عامل الشكل لإشارة الجهد بدلالة الموجة الجيبية، المربعة والمثلثية الخاضعة لتقسيم نصف مُعَدّل ولتقسيم مكتمل التعديل من خلال الجدول 1.1 كما يلي :

1.5.1 عامل الشكل لإشارة الجهد المتداوحة الخاضعة لتقسيم نصف مُعَدّل

أ- عامل الشكل لإشارة الجهد بدلالة الموجة الجيبية الخاضعة لتقسيم نصف مُعَدّل:

$$Ff_{(\text{sin; half})} = \frac{V_{\text{RMS (sin; half)}}}{V_{\text{av (sin; half)}}} = \frac{V_m/2}{V_m/\pi} = \frac{\pi}{2} = 1.5707 \quad (64.1)$$

ب- عامل الشكل لإشارة الجهد بدلالة الموجة المربعة الخاضعة لتقسيم نصف مُعَدّل:

$$Ff_{(\text{sqr; half})} = \frac{V_{\text{RMS (sqr; half)}}}{V_{\text{av (sqr; half)}}} = \frac{V_m/2}{V_m/2} = 1 \quad (65.1)$$

ت- عامل الشكل لإشارة الجهد بدلالة الموجة المثلثية الخاضعة لتقسيم نصف مُعَدّل:

$$Ff_{(\text{tri; half})} = \frac{V_{\text{RMS (tri; half)}}}{V_{\text{av (tri; half)}}} = \frac{V_m/\sqrt{6}}{V_m/4} = \frac{4}{\sqrt{6}} = 1.6329 \quad (66.1)$$

2.5.1 عامل الشكل لإشارة الجهد المتداوحة الخاضعة لتقسيم مكتمل التعديل

أ- عامل الشكل لإشارة الجهد بدلالة الموجة الجيبية الخاضعة لتقسيم مكتمل التعديل:

$$Ff_{(\text{sin; full})} = \frac{V_{\text{RMS (sin; full)}}}{V_{\text{av (sin; full)}}} = \frac{V_m/\sqrt{2}}{2V_m/\pi} = \frac{\pi}{2\sqrt{2}} = 1.1107 \quad (67.1)$$

ب- عامل الشكل لإشارة الجهد بدلالة الموجة المربعة الخاضعة لتقسيم مكتمل التعديل:

$$Ff_{(\text{sqr; full})} = \frac{V_{\text{RMS (sqr; full)}}}{V_{\text{av (sqr; full)}}} = \frac{V_m}{V_m} = 1 \quad (68.1)$$

ت- عامل الشكل لإشارة الجهد بدلالة الموجة المثلثية الخاضعة لتقسيم مكتمل التعديل:

$$Ff_{(\text{tri; full})} = \frac{V_{\text{RMS (tri; full)}}}{V_{\text{av (tri; full)}}} = \frac{V_m/\sqrt{3}}{V_m/2} = \frac{2}{\sqrt{3}} = 1.1547 \quad (69.1)$$

مع العلم أنّ عامل الشكل (Ff) لإشارة الجهد (أو التيار) يؤول إلى الالهائية من أجل الموجة الجيبية، المربعة والمثلثية من النوع المتداوحة والمتجلانس، لأنّ

$$Ff_{(\text{signal; alternative})} = \frac{V_{\text{RMS (signal; alternative)}}}{V_{\text{av (signal; alternative)}}} = \frac{V_{\text{RMS (signal; alternative)}}}{0} = \infty \quad (70.1)$$

6.1 القيمة المُقاسة بواسطة أجهزة القياس

1.6.1 القيمة المُقاسة في دارة DC

إنّ أجهزة القياس في دارة DC تسمح بقياس القيمة المتوسطة لإشارة الجهد (أو التيار) الثابتة. وعلىه، فإنّ توصيل جهاز القياس Voltmeter على سبيل المثال في دارة DC يسمح بقياس القيمة المتوسطة لإشارة الجهد الثابت بين نقطتين A و B في الدارة الكهربائية، أي أنّ القيمة المُقاسة في دارة DC عبارة عن القيمة المتوسطة التالية

$$V_{AB} = V_A - V_B = V_{av} \quad (71.1)$$

وعلى هذا الأساس، فإنّ التركيبة الداخلية لأجهزة القياس المستعملة في دارة DC سواء كانت أجهزة القياس التماثلية أو أجهزة القياس الرقمية تعتمد على مبدأ قياس القيمة المتوسطة للإشارة، حيث تُعبّر هذه الأخيرة عن القيمة الفعلية لإشارة الجهد (التيار) في الدارة الكهربائية.

2.6.1 القيمة المُقاسة في دارة AC

إنّ أجهزة القياس في دارة AC تسمح بقياس القيمة الفعالة لإشارة الجهد (أو التيار) المُتناوبة الخاصة لتقويم مُكتمل التعديل. وعلىه، فإنّ توصيل جهاز القياس Voltmeter على سبيل المثال في دارة AC يسمح بقياس القيمة الفعالة لإشارة الجهد المُتناوبة بين نقطتين A و B في الدارة الكهربائية، أي أنّ

$$V_{AB} = V_A - V_B = V_{RMS \text{ (signal;full)}} \quad (72.1)$$

ومن خلال العبارة (63.1) نجد أنّ

$$V_{AB} = V_A - V_B = V_{RMS \text{ (signal;full)}} = V_{av \text{ (signal;full)}} \times Ff_{\text{(signal;full)}} \quad (73.1)$$

ومنه فإنّ القيمة المُقاسة تُعبّر عن جداء القيمة المتوسطة وعامل الشكل لإشارة الجهد (أو التيار) المُتناوبة والخاضعة لتقويم مُكتمل التعديل.

إنّ التركيبة الداخلية لأجهزة القياس المستعملة في AC سواء كانت أجهزة القياس التماثلية أو الرقمية تعتمد على تقنيتين مختلفتين لقياس القيمة الفعالة لإشارة الجهد (أو التيار)، وعما تقنية قياس متوسط القيمة الفعالة (Average RMS) وتقنية قياس القيمة الصحيحة للقيمة الفعالة (True RMS).

1.2.6.1 تقنية قياس متوسط القيمة الفعالة (Average RMS)

إنّ معظم أجهزة القياس ذات السعر المنخفض تعتمد على تقنية قياس متوسط القيمة الفعالة لتحديد قيمة إشارة الجهد أو التيار في دارة AC، وذلك بفرض أنّ الإشارة عبارة عن موجة جيبية حتى ولو تم استعمال موجة من نوع مختلف (مُربعة، مثلثة، أو غيرها). وبالتالي فإنّ القيمة المُقاسة لإشارة ما؛ أي تلك التي تم قرائتها على جهاز القياس؛ تكون بدلالة الموجة الجيبية. وعلى هذا الأساس، فإنّ جهاز القياس Voltmeter الذي يعتمد على هذه التقنية يسمح بقياس القيمة الفعالة لإشارة الجهد الخاضعة لتقويم مُكتمل التعديل بدلالة القيمة المتوسطة جداء عامل شكل الموجة الجيبية بدلًا من عامل شكل الموجة الفعلية، أي أنّ

$$V_{AB} = V_{RMS \text{ (signal;full)}} = V_{av \text{ (signal;full)}} \times Ff_{\text{(sin;full)}} \quad (74.1)$$

بما أن $\approx 1.11 \approx Ff_{(sin;full)}$ ، ومنه يتم التعبير عن قيمة القياس في هذه الحالة بالعبارة التالية

$$V_{AB} = V_{RMS \text{ (signal;full)}} = V_{av \text{ (signal;full)}} \times 1.11 \quad (75.1)$$

يجدر الذكر أن هذه التقنية تسمح من إجراء قراءة صحيحة للقيمة الفعالة فقط عند قياس الإشارة بدالة الموجة الجيبية، غير أن القراءة ستكون غير دقيقة من أجل إشارة بدالة نوع مُغایر للموجة. وعليه، سيتوجب تصحيح نتائج القياس المتحصل عليها بطريقة حسابية من أجل إشارة بدالة الموجة المُربعة والموجة المُثلثية لاستنتاج القيمة الفعالة الصحيحة كما يلي

$$V_{RMS \text{ (signal;full)}} = V_{AB} \times \frac{Ff_{(signal;full)}}{Ff_{(sin;full)}} = V_{AB} \times \frac{Ff_{(signal;full)}}{1.11} \quad (76.1)$$

مثال: استنتاج القيمة المُمقاسة بواسطة جهاز القياس **Voltmeter** يعتمد على تقنية Average RMS بين طرفي مصدر الجهد في دارة AC يقوم بتوليد إشارة الجهد بدالة الموجة الجيبية، المُربعة والمُثلثية ذات قيمة عُظمى $V_m = 10V$.

الحل: بما أن جهاز القياس Voltmeter يعتمد على تقنية Average RMS، أي أن القيمة المُمقاسة لإشارة الجهد تكون خاضعة لتقديم مُكتمل التعديل. وعليه، نستنتج القياسات التالية من خلال العبارة (75.1) حيث أن القيمة المتوسطة لكل موجة مُعطاة في الجدول 1.1 السابق.

- حالة الموجة الجيبية:

$$\begin{aligned} V_{av \text{ (sin;full)}} &= \frac{2V_m}{\pi} = \frac{2 \times 10}{\pi} = 6.3661V \\ \Rightarrow V_{AB} &= V_{av \text{ (sin;full)}} \times 1.11 = 6.3661V \times 1.11 = 7.0663V \end{aligned} \quad (77.1)$$

- حالة الموجة المُربعة:

$$\begin{aligned} V_{av \text{ (sqr;full)}} &= V_m = 10V \\ \Rightarrow V_{AB} &= V_{av \text{ (sqr;full)}} \times 1.11 = 10V \times 1.11 = 11.1V \end{aligned} \quad (78.1)$$

- حالة الموجة المُثلثية:

$$\begin{aligned} V_{av \text{ (tri;full)}} &= \frac{V_m}{2} = 5V \\ \Rightarrow V_{AB} &= V_{av \text{ (tri;full)}} \times 1.11 = 5V \times 1.11 = 5.55V \end{aligned} \quad (79.1)$$

عند مُقارنة نتائج القياس السابقة مع القيم الفعالة في الجدول 1.1، سنجد أن:

- حالة الموجة الجيبية:

$$V_{RMS \text{ (sin;full)}} = \frac{V_m}{\sqrt{2}} = \frac{10}{\sqrt{2}} = 7.0710V \quad (80.1)$$

- حالة الموجة المُربعة:

$$V_{RMS \text{ (sqr;full)}} = V_m = 10V \quad (81.1)$$

- حالة الموجة المُثلثية:

$$V_{RMS \text{ (tri;full)}} = \frac{V_m}{\sqrt{3}} = \frac{10}{\sqrt{3}} = 5.7735V \quad (82.1)$$

وعليه فإنّ القيمة المُقايسة الصحيحة تكون فقط عند قياس الإشارة بدلالة الموجة الجسيمة، غير أنّ القراءة ستكون غير دقيقة من أجل إشارة الجهد بدلالة الموجة المُربعة والمُثلثية. ومن هذا المنطلق، سيتوجب تصحيح نتائج القياس المتحصل عليها من أجل الموجة المُربعة والموجة المُثلثية لاستنتاج القيمة الفعالة الصحيحة بطريقة حسابية من خلال العبارة (76.1) كما يلي

- حالة الموجة المُربعة:

$$V_{\text{RMS (sqr;full)}} = V_{\text{AB}} \times \frac{Ff_{(\text{sqr;full})}}{1.11} = 11.1V \times \frac{1}{1.11} = 10V \quad (83.1)$$

- حالة الموجة المُثلثية:

$$V_{\text{RMS (tri;full)}} = V_{\text{AB}} \times \frac{Ff_{(\text{tri;full})}}{1.11} = 5.55V \times \frac{1.1547}{1.11} = 5.7735V \quad (84.1)$$

2.2.6.1 تقنية قياس القيمة الفعالة الصحيحة (True RMS)

إنّ أجهزة القياس التي تعتمد على تقنية قياس القيمة الفعالة الصحيحة لتحديد قيمة إشارة الجهد أو التيار في دارة AC غالباً ما تكون ذات سعر مرتفع بكثير مُقارنةً مع أجهزة القياس التي تعتمد على تقنية قياس متوسط القيمة الفعالة.

يتم التعبير عن القيمة المُقايسة (القيمة الفعالة) لإشارة الجهد الخاضعة لتقويم مُكتمل التعديل بدلالة القيمة المتوسطة جداء عامل شكل الموجة الفعلية، أي أنّ

$$V_{\text{AB}} = V_{\text{RMS (signal;full)}} = V_{\text{av (signal;full)}} \times Ff_{(\text{signal;full})} \quad (85.1)$$

حيث تم اعتماد تقنية قياس القيمة الفعالة الصحيحة على نطاق واسع في أغلب أجهزة القياس الحديثة وذلك لتميزها بدقة القياس مع إمكانية التعامل مع الإشارات الكهربائية بدلالة أي نوع للموجة المتناثبة في دارة AC.

الفصل الثاني. نوعية القياس وتحديد قيمة الارتباط

مقدمة

في هذا الفصل سنستعرض أهم الخصائص التي يجب توفرها في أجهزة القياس الكهربائي والالكتروني للحصول على قياس نوعي وكذا كيفية تقدير مدى الخطأ المترتب على عملية القياس. لكن قبل ذلك، ستنظر إلى بعض المفاهيم المتعلقة بالقياس الكهربائي والالكتروني وأهم الوحدات الكهربائية الأساسية والمشتقة.

- **الكمية** : تُعرَّف الكمية على أنها سمة لظاهرة أو لجسم أو لمادة كيميائية أو فيزيائية أو بيولوجية ، حيث يمكن تحديد قيمتها وتمييزها عن بقية الكميات.
- **الكمية القابلة للقياس** : هي كل كمية يمكن تحديد قيمتها بدلالة كمية معيارية تكون من نفس النوع.
- **كمية القياس الأساسية** : هي عبارة عن كمية يتم التعبير عنها بواسطة وحدة وحدة أساسية.
- **النظام الدولي للوحدات (SI)** : هو نظام قياس فيزيائي يستخدم وحدات قياس متفق عليها دولياً والذي يُحدِّد الكميات الأساسية لنظام القياس المعتمد سنة 1889 والمُعَدَّل سنة 1901 للتعبير عن القياسات الفيزيائية كما هو موضح في الجدول 1.2.

الجدول 1.2. الكميات الأساسية والوحدات الأساسية لنظام القياس SI .

التعريف العلمي للوحدة	الرمز	الوحدة	الكمية الأساسية
1m يساوي طول المسار الذي يسلكه الضوء في الفراغ خلال فاصل زمني قدره 1/299792458 من الثانية.	m	meter	الطول
1kg كيلوغرام واحد يساوي كتلة النموذج الأولي الدولي للكيلوغرام المكون من عنصر بلوتونيوم.	kg	kilogram	الكتلة
1s هي فترة زمنية تساوي 9192631770 فترات من الإشعاع المواقة للانتقال بين مستويين فائق الدقة للحالة الأرضية لذرة Cs-133.	s	second	الזמן
1A يساوي تياراً ثابتاً حيث إذا تم الحفاظ عليه في موصلات متوازية مسقية بطول لانهائي ومقطع عرضي دائري ضئيل ، وتم وضعه على بعد متر واحد في الفراغ ، فإنه ينتج بين هذه الموصلات قوة تساوي 2×10^{-7} نيوتن لكل متر من الطول.	A	ampere	شدة التيار الكهربائي
1K هي درجة حرارة تساوي كسر 1/273.16 من درجة الحرارة الديناميكية للنقطة الثلاثية للماء (غازية، سائلة، صلبة) في حالة توازن.	K	kelvin	درجة الحرارة
1mol هي كمية المادة في نظام يحتوي على عدد من الجسيمات مساوٍ لعدد الذرات ويساوي 0.012kg لذرة الكربون C12.	mol	mole	كمية المادة
1cd هي شدة الإضاءة لمصدر يصدر إشعاعاً أحادي اللون بتردد $540 \times 10^{12} \text{ Hz}$ وله شدة اشعاع في نفس الاتجاه تساوي $1/683 \text{ W/st}$.	cd	candela	شدة الإضاءة

- **كمية القياس المشتقة:** هي الكمية التي يمكن قياسها بدلالة كمبين أساسيين على الأقل حيث يتم التعبير عنها بواسطة وحدة مشتقة.

- **التعبير الرياضي عن كمية القياس:** للتعبير رياضياً عن كمية القياس بدلالة الكميات الأساسية يتم استبدال كل كمية أساسية في المعادلة بأبعادها المعتبر عنها. وعليه، يتم التعبير عن وحدة الكمية G بدلالة الوحدات الأساسية السبع السابقة كما يلي:

$$[G] = [m^a \cdot kg^b \cdot s^c \cdot A^d \cdot K^e \cdot mol^f \cdot cd^g] \quad (1.2)$$

حيث أن a, b, c, d, e, f, g تعبّر عن رتب الوحدات الأساسية. على سبيل المثال، يتم التعبير عن وحدة الشحنة الكهربائية بدلالة الوحدات الأساسية على النحو التالي:

$$[C] = [m^0 \cdot kg^0 \cdot s^1 \cdot A^1 \cdot K^0 \cdot mol^0 \cdot cd^0] = s \cdot A$$

الجدول 2.2 يوضح أمثلة لبعض الكميات المشتقة من الكميات الأساسية السابقة.

الجدول 2.2. الكميات المشتقة والوحدات الموافقة لنظام القياس SI.

التعريف العلمي بالوحدة	الرمز	الوحدة	كمية القياس المشتقة
1Hz هو عدد المرات التي تحدث فيها ظاهرة دورية لكل وحدة زمنية.	s^{-1}	hertz (Hz)	التردد f
1N هي القوة القادره على دفع كتلة مقدارها 1kg لزيادة سرعتها بمقدار $1m/s$ كل ثانية.	$m \cdot kg \cdot s^{-2}$	newton (N)	القوة F
1J هي القدرة على تسلیط قوة قدرها 1Newton لمسافة 1 متر.	$m^2 \cdot kg \cdot s^{-2}$	joule (J)	القدرة، العمل، كمية الحرارة W
1C هي كمية الشحنة الكهربائية التي تمر عبر المقطع العرضي لموصل كهربائي شدة تياره 1A لمدة ثانية واحدة.	$s \cdot A$	coulomb (C)	الشحنة الكهربائية Q
1 Ω هي كمية مقاومة المادة لمرور التيار الكهربائي (الإلكترونات).	$m^2 \cdot kg \cdot s^{-3} \cdot A^{-2}$	ohm (Ω)	المقاومة الكهربائية R
1V هي كمية القوة الدافعة لنقل الالكترونات من القطب السالب إلى القطب الموجب في دارة كهربائية أو أحد أفرع الدارة.	$m^2 \cdot kg \cdot s^{-3} \cdot A^{-1}$	volt (V)	فرق الكمون، الجهد الكهربائي، قوة الدفع الكهربائي V
1W هي الطاقة اللازمة لإنجاز عمل قدره 1 جول خلال ثانية واحدة.	$m^2 \cdot kg \cdot s^{-3}$	watt (W)	الاستطاعة P
1F تمثل السعة كمية الشحنات الكهربائية التي يحملها مكثف من أجل فرق كمون معين.	$m^{-2} \cdot kg^{-1} \cdot s^4 \cdot A^2$	farad (F)	سعة المكثف C
1Wb تعبّر على كثافة خطوط الحقل المغناطيسي التي تعبّر سطح محدد.	$m^2 \cdot kg \cdot s^{-2} \cdot A^{-1}$	weber (Wb)	التدفق المغناطيسي Φ
1T هي كمية التدفق المغناطيسي لكل متر مربع.	$kg \cdot s^{-2} \cdot A^{-1}$	tesla (T)	المجال المغناطيسي B
1H هي كمية تدفق المجال المغناطيسي من أجل شدة التيار المتدايق عبر الدارة.	$m^2 \cdot kg \cdot s^{-2} \cdot A^{-2}$	henry (H)	اللوشيعة L

▪ **المضاعفات العشرية والأجزاء من العشرات لوحدات النظام الدولي (SI):**

غالباً ما يتم استعمال نطاقات مختلفة تماماً للتعبير عن قيمة الكمية الكهربائية التي يتم قياسها (أو حسابها)، حيث قد تأخذ الكمية قيمة من أصغر ما يمكن إلى ما لا نهاية حسب مجال التطبيق. الجدول 3.2 يوضح النطاقات المستعملة لتمثيل قيمة الكمية الكهربائية حيث يتم استعمال الأحرف اللاتينية الكبيرة للتعبير عن المضاعفات العشرية بينما يتم استعمال الأحرف اللاتينية الصغيرة للتعبير عن والأجزاء من العشرات.

الجدول 3.2. المضاعفات العشرية والأجزاء العشرية لوحدات النظام الدولي SI.

الأجزاء العشرية			المضاعفات العشرية		
الرمز	القيمة	اختصار	الرمز	القيمة	اختصار
a	10^{-18}	atto	E	10^{18}	exa
f	10^{-15}	femto	P	10^{15}	peta
p	10^{-12}	pico	T	10^{12}	tera
n	10^{-9}	nano	G	10^9	giga
μ	10^{-6}	micro	M	10^6	mega
m	10^{-3}	milli	k	10^3	kilo
c	10^{-2}	centi	h	10^2	hecto
d	10^{-1}	deci	da	10^1	deca

على سبيل المثال، فإنّ أغلب التطبيقات الحديثة في مجال الموجات يتم التعبير فيها عن كمية الاستطاعة الكهربائية بقيم ضئيلة جداً في حدود الجزء من الألف، بينما يتم التعبير فيها عن الترددات المُنتجة بقيم كبيرة جداً كما هو موضح في الجدول أدناه.

الجدول 4.2. المضاعفات العشرية والأجزاء العشرية لوحدات النظام الدولي SI.

الموجة	نطاق الموجة	نطاق الترددات	بعض مجالات التطبيقات
Radio waves	> 0.1m	$10^9 - 10^5$ Hz	الإذاعة والتلفاز.
Microwaves	> 0.1m	$10^9 - 10^5$ Hz	الرادرار؛ نقل المعطيات؛ الاتصالات الفضائية؛ الملاحة؛ المجال الطبي؛ الطهي والتسخين.
Infra-red	1mm - 700nm	$10^{11} - 10^{14}$ Hz	اختبار المعادن والمواد.
Light	700nm - 400nm	8×10^{14} Hz	تصوير؛ إضاءة.
Ultra-violet	400nm - 1nm	$5 \times 10^{14} - 8 \times 10^{14}$ Hz	حفظ المواد الغذائية؛ الكشف عن الكتابة غير المرئية؛ تحديد البصمات؛ تحديد بنية الجزيئات والذرات.
X-rays	10^{-3} nm - 10^{16} nm	$10^{16} - 10^{21}$ Hz	دراسة التركيب البلوري للذرات. تحديد الشقوق والكسور في العظام.
Gamma rays	< 10^{-3} nm	$10^{18} - 10^{22}$ Hz	التفاعلات النووية؛ تدمير الخلايا السرطانية.

▪ ثوابت كهربائية:

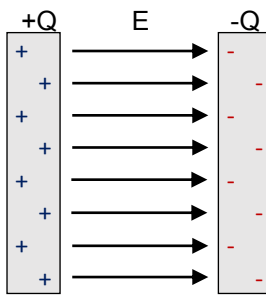
الجدول 5.2. أهم الثوابت الكهربائية والقيم الموافقة.

الثابت	الرمز	القيمة
السماحية الكهربائية للفراغ	ϵ_0	$8.85 \times 10^{-12} \text{ C}^2 \cdot (\text{N} \cdot \text{m}^2)^{-1}$
السماحية المغناطيسية للفراغ	μ_0	$4\pi \times 10^{-7} \text{ T} \cdot \text{m} \cdot \text{A}^{-1}$
كتلة الإلكترون	m_e	$9.1 \times 10^{-31} \text{ kg}$
شحنة الإلكترون	e	$-1.6 \times 10^{-19} \text{ C}$
شحنة البروتون		$+1.6 \times 10^{-19} \text{ C}$
كتلة البروتون	m_p	$1.6 \times 10^{-27} \text{ kg}$
كتلة النيوترون	m_n	$1.6 \times 10^{-27} \text{ kg}$
Coulomb	k_e	$8.98 \times 10^9 \text{ N} \cdot \text{m}^2 \cdot \text{C}^{-2}$
Planck	H	$6.62 \times 10^{-34} \text{ J} \cdot \text{s}$
Boltzmann	k_B	$1.38 \times 10^{-23} \text{ J} \cdot \text{K}^{-1}$
Faraday		$96500 \text{ C} \cdot \text{mol}^{-1}$
سرعة الضوء في الفراغ	c	$299792458 \text{ m} \cdot \text{s}^{-1}$
رقم Avogadro	N_A	$6.022 \times 10^{23} \text{ mol}^{-1}$

▪ قوانين وقواعد:

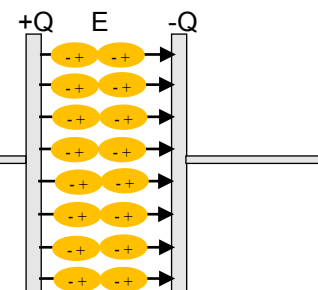
الجدول 6.2. بعض القوانين والقواعد الكهربائية، المغناطيسية، والكهرومغناطيسية مع الرسومات التوضيحية.

الرسم التوضيحي	القانون-القاعدة
 شحنة موجبة شحنة سالبة	<p>المجال الكهربائي لشحنة نقطية معزولة:</p> <p>يوصف المجال الكهربائي كمنطقة تتعرض فيها الشحنة الكهربائية لقوة حيث أن اتجاه خطوط المجال يعطي اتجاه القوة المؤثرة على شحنة النقطة (موجبة أو سالبة).</p>
 شحتين متعاكستين متماثلتين الإشارة	<p>قانون Coulomb:</p> <p>في هذه الحالة، تتجاذب الشحتين المتعاكستين الإشارة بينما تناور الشحتين المتماثلتين الإشارة.</p> <p>المجال الكهربائي الناتج عن شحتين مُعطى بالصيغة التالية</p> $ E = k_e \frac{ q_1 q_2 }{r^2}$



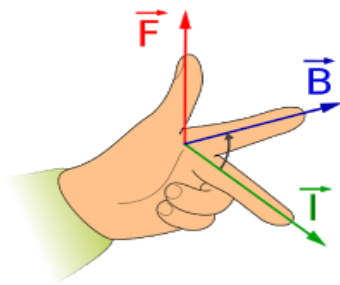
المجال الكهربائي بين طرفي صفائح متوازية:
على نفس المنوال، تجاذب الشحنات المتعاكسة
الإشارة بين طرفي الصفائح المتوازية حيث يتجه
عنها مجال كهربائي مُعطى بالصيغة التالية

$$E = \frac{1}{\epsilon_0} \frac{Q}{A}$$



المجال الكهربائي بين طرفي مكثف:
يتميز المكثف المثالي بسعة ثابتة C والتي تُعرف
على أنها نسبة الشحنة الموجبة أو السالبة Q على
كل موصل إلى الجهد V بينهما على النحو التالي

$$C = \frac{Q}{V}$$



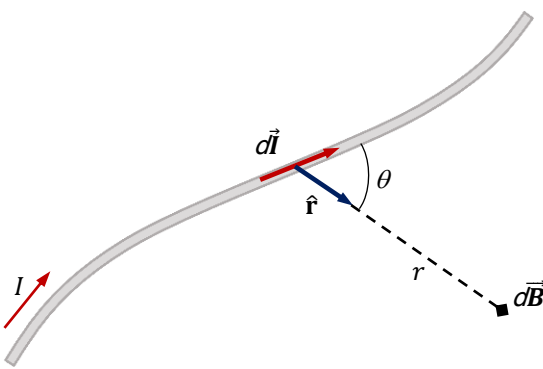
: Fleming

تسمح هذه القاعدة من استنتاج الاتجاهات النسبية
لكل من القوة \vec{F} ، المجال المغناطيسي \vec{B} والتيار
الكهربائي \vec{A} .

يتم التعبير عن القوة بدالة التكامل التالي:

$$\vec{F} = \vec{I} \int d\ell \times \vec{B}$$

حيث أن \times يعبر عن الجداء الشعاعي.



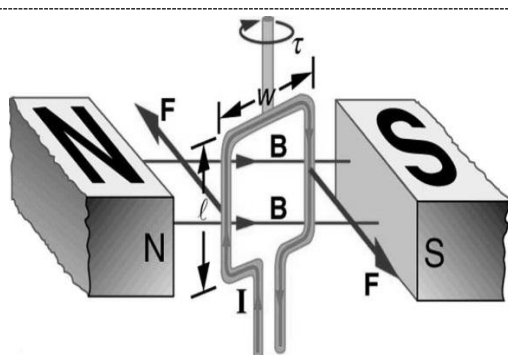
: Biot-Savart

يتم التعبير عن المجال المغناطيسي B الناتج عن
تيار كهربائي I في الموضع r بالعبارة التالية

$$\vec{B} = \frac{\mu_0}{4\pi} \int \frac{I d\vec{l} \times \hat{r}}{r^2}$$

حيث أن \times يعبر عن الجداء الشعاعي. وعليه، فإن
إجمالي المجال المغناطيسي B الناتج كما يلي:

$$|B| = \frac{\mu_0 I}{2\pi r}$$



قاعدة تأثير المجال المغناطيسي على دوران اللف
الناقل للتيار:

يتم دفع اللف الموجود من جهة القطب N
للمغناطيسي إلى الأمام حيث ينتقل التيار الكهربائي
لأعلى، في حين يتم دفع اللف الموجود من جهة
القطب S للمغناطيسي إلى الخلف مع انتقال التيار
الكهربائي إلى أسفل. يتجه عن قوة الدفع إلى
أعلى وأسفل عزم دوران عكس اتجاه عقارب
الساعة كما هو موضح في الرسم المقابل.

1.2 أهم مواصفات أجهزة القياس الكهربائية

عدة تأثيرات وعوامل جانبية قد تؤثر على القراءة السليمة للكمية المجهولة عند استعمال جهاز القياس الكهربائي. وعليه، يجب على أي جهاز قياس كهربائي التحلّي ببعض المواصفات الأساسية حتى يمكنه من إجراء القياس السليم دون التأثر بهذه العوامل الخارجية.

يمكن تلخيص أهم المواصفات في أجهزة القياس الكهربائية فيما يلي:

- **الوفاء:** نقول عن الجهاز أنه وفي إذا كانت نتيجة القياس هي نفسها من أجل نفس التجربة.
 - **العدل:** نقول عن الجهاز أنه عادل إذا كانت إذا كان الفرق بين القياس الذي يشير إليه الجهاز والقيمة الدقيقة (الغير معروفة) لا يتجاوز قيمة الارتباط المتوقع.
 - **الحساسية:** عبارة عن أصغر اختلاف في القياس يمكن لجهاز القياس أن يتحسّس قيمته.
- من هذا المنطلق، فإنّ أي جهاز قياس كهربائي قد يتأثر لا محالة بهذه العوامل الخارجية وينتج عنه أخطاء القياس.

2.2 أخطاء القياس

يتم تمييز نوعين من أخطاء القياس في أجهزة القياس الكهربائية وهمما الأخطاء المنهجية والأخطاء العشوائية.

1.2.2 الأخطاء المنهجية:

الخطأ المنهجي هو عبارة عن خطأ ثابت وقابل للتكرار ولا يمكن تحبيده حيث تنتج نفس قيمة الخطأ عند تكرار نفس التجربة. يرجع حدوث هذا الخطأ للأسباب التالية:

- **الطاقة المستهلكة في الجهاز:** بما أنه يتم ربط جهاز القياس في الدارة الكهربائية، وعليه سيتم حتماً اقتطاع جزء من الطاقة المنتجة في الدارة لتشغيل الجهاز في حد ذاته.
- **ضبط المعايير:** كما يحدث هذا النوع من الخطأ في حالة عدم اختيار المعايير المناسبة أو خلل في قراءة القياس بالنسبة للأجهزة التماضية.
- **خطأ الإزاحة:** هو نوع من الأخطاء المنهجية حيث لا يتم تعين الجهاز عند الصفر عندما تبدأ في القياس. وعليه، إذا لم يتم ضبط جهاز القياس في حالة الراحة بشكل صحيح، ستحتوي جميع القراءات في هذه الحالة على خطأ تعويض.
- **أخطاء عامل القياس:** تناسب هذه أخطاء مع القياس الحقيقي. على سبيل المثال ، فإن شريط القياس الممتد إلى 101٪ من حجمه الأصلي سيعطي باستمرار نتائج بنسبة 101٪ من القيمة الحقيقية.

2.2.2 الأخطاء العشوائية:

من خلال ما سبق، فإنّ الأخطاء المنهجية تكون دوماً ثابتة من أجل نفس التجربة. في المقابل، تُنتج الأخطاء العشوائية قيماً مختلفة في اتجاهات عشوائية حيث لا يمكن التنبؤ بها ولا يمكن تكرارها بتكرار نفس التجربة مرة أخرى. عادةً لا يمكن تجنب هذه الأخطاء نتيجة لعوامل داخلية وخارجية كثيرة، من بينها تأثير درجة الحرارة حيث نعلم أنّ العناصر الكهربائية تتأثر بشدة للتغيرات درجة الحرارة. قد تأثر أجهزة القياس كذلك بالرطوبة العالية وكذا وجود مجال كهرومغناطيسي عالي التركيز. وعليه، يمكن التقليل من مقدار الخطأ العشوائي عن طريق استخدام قياس متوسط من مجموعة من القياسات كما سيتم التطرق إليه لاحقاً في هذا الفصل.

3.2 تقييم أخطاء القياس

عادةً، يتم تقييم أخطاء القياس باستعمال أحد الطريقتين التاليتين:

- **الخطأ المطلق:** هو مقياس لمدى بعد كمية القياس عن القيمة الحقيقية أو تعديل عن ارتباط في القياس. وعليه فإن الخطأ المطلق يعبر عن الفرق باستعمال القيمة المطلقة بين الكمية المُمقاسة والكمية المرجعية كما يلي

$$\Delta G = |G_{\text{mes}} - G_{\text{ref}}| \quad (2.2)$$

- **الخطأ النسبي:** تحتاج أولاً إلى تحديد الخطأ المطلق لحساب الخطأ النسبي حيث يعبر هذا الأخير عن حجم الخطأ المطلق مقارنة بالحجم الإجمالي للكمية المُمقاسة. يتم التعديل عن الخطأ النسبي بواسطة كسر بدون وحدة قياس كما يلي

$$\delta G = \frac{\Delta G}{G_{\text{ref}}} \quad (3.2)$$

كما يمكن التعديل على الخطأ النسبي كنسبة مئوية على النحو التالي

$$\delta G (\%) = \frac{\Delta G}{G_{\text{ref}}} \times 100 \quad (4.2)$$

4.2 مُعالجة أخطاء القياس

بصفة عامة، يتم تقييم أخطاء القياس من خلال مقارنة القيمة المُمقاسة بقيمة مرجعية يمكن اعتبارها "صحيحة". لكن في بعض القياسات قد لا تتوفر قيمة مرجعية للمقارنة وعليه لا يمكن معرفة القيمة الدقيقة للكمية المُمقاسة. في هذه الحالة يتم استعمال مُصطلح **الارتباط** لتحديد أخطاء القياس.

فيما يلي نستعرض كيفية **مُعالجة** أخطاء القياس في حال عدم توافر القيمة المرجعية وذلك بالاعتماد إما على **المعادلات التفاضلية** (المُعالجة المباشرة) من أجل قياس وحيد أو من خلال **العمليات الاحصائية** (المُعالجة الغير المباشرة) من أجل عدة قياسات.

1.4.2 المُعالجة المباشرة لأخطاء القياس

يتم حساب الارتباط باستعمال المعادلة التفاضلية الموافقة للدالة الرياضية قيد الدراسة. بفرض أن كمية القياس مُعطاة بالدالة $G = f(x, y, z, \dots)$. وعليه، يتم التعديل على التفاضل dG بدالة التفاضلات الجزئية dx, dy, dz على النحو التالي:

$$dG = \frac{\partial G}{\partial x} \cdot dx + \frac{\partial G}{\partial y} \cdot dy + \frac{\partial G}{\partial z} \cdot dz + \dots \quad (5.2)$$

حيث أن $\frac{\partial G}{\partial x}, \frac{\partial G}{\partial y}, \frac{\partial G}{\partial z}$ تُعبر عن المشتقة عند كل متغير.

بقسمة طرفي العبارة (5.2) على الدالة $G = f(x, y, z, \dots)$ نجد أن

$$\begin{aligned} \frac{dG}{G} &= \left(\frac{\partial G}{\partial x} \cdot dx + \frac{\partial G}{\partial y} \cdot dy + \frac{\partial G}{\partial z} \cdot dz + \dots \right) \times \frac{1}{G} \\ &= \left(\frac{\partial G}{\partial x} \cdot dx + \frac{\partial G}{\partial y} \cdot dy + \frac{\partial G}{\partial z} \cdot dz + \dots \right) \times \frac{1}{f(x, y, z, \dots)} \end{aligned} \quad (6.2)$$

عند استبدال التفاضلات الجزئية بحدودها العليا بدلالة الارتباط Δ ، تحصل على صيغة الارتباط النسبي للدالة كما G يلي:

$$\frac{\Delta G}{G} = \left(\left| \frac{\partial G}{\partial x} \right| \cdot \Delta x + \left| \frac{\partial G}{\partial y} \right| \cdot \Delta y + \left| \frac{\partial G}{\partial z} \right| \cdot \Delta z + \dots \right) \times \frac{1}{f(x, y, z, \dots)} \quad (7.2)$$

والذي يكون دائمًا موجباً. عليه، يتم التعبير عن نتيجة القياس بالصيغة التالية:

$$G = g \pm \Delta G \quad (8.2)$$

حيث أن g تُعبر عن القيمة العددية لكمية القياس.

مثال 1: حساب نتيجة القياس للدالة التالية

$$G = \frac{(x+y)w}{z} \quad (9.2)$$

بفرض أن $x = 5$ ، $y = 0.5$ ، $z = 10$ ، $w = 0.0$ وأن الارتباط النسبي لكل متغير مُعطى بنساب مئوية 0.2% ، 0.2% ، 2% ، 0.2% ، على التوالي،

الحل: من خلال العبارة (6.2)، نجد أن

$$\begin{aligned} \frac{dG}{G} &= \left(\frac{w}{z} \cdot dx + \frac{w}{z} \cdot dy - \frac{(x+y)w}{z^2} \cdot dz + \frac{x+y}{z} \cdot dw \right) \times \frac{1}{(x+y)w} \\ &= \frac{dx}{x+y} + \frac{dy}{x+y} - \frac{dz}{z} + \frac{dw}{w} \end{aligned} \quad (10.2)$$

ومنه تحصل على الارتباط النسبي من خلال العبارة (7.2) كما يلي

$$\frac{\Delta G}{G} = \Delta x \left| \frac{1}{x+y} \right| + \Delta y \left| \frac{1}{x+y} \right| + \Delta z \left| -\frac{1}{z} \right| + \Delta w \left| \frac{1}{w} \right| = \frac{\Delta x}{x+y} + \frac{\Delta y}{x+y} + \frac{\Delta z}{z} + \frac{\Delta w}{w} \quad (11.2)$$

حيث $\frac{\Delta w}{w} = 0.2\%$ ، $\frac{\Delta z}{z} = 0.2\%$ ، $\frac{\Delta y}{y} = 2\%$ ، $\frac{\Delta x}{x} = 0.2\%$. ومنه نستنتج عبارتي Δx و Δy كما يلي

$$\frac{\Delta x}{x} = 0.2\% \Rightarrow \Delta x = 0.002 \times 5 = 0.01, \quad \frac{\Delta y}{y} = 2\% \Rightarrow \Delta y = 0.02 \times 0.5 = 0.01 \quad (12.2)$$

بالتعويض في العبارة (11.2)، تحصل على قيمة الارتباط النسبي كما يلي

$$\frac{\Delta G}{G} = \frac{\Delta x}{x+y} + \frac{\Delta y}{x+y} + \frac{\Delta z}{z} + \frac{\Delta w}{w} = \frac{0.01}{5+0.5} + \frac{0.01}{5+0.5} + 0.002 + 0.002 \approx 0.8\% \quad (13.2)$$

كما يتم استنتاج قيمة الارتباط المطلقة على النحو التالي

$$\frac{\Delta G}{G} \approx 0.8\% \Rightarrow \Delta G \approx 0.008 \times G \approx 0.008 \times 5.5 \times 10^{-3} = 0.044 \times 10^{-3} \quad (14.2)$$

وفي الأخير، يتم التعبير عن نتيجة القياس بالصيغة العلمية التالية

$$G = (5.5 \pm 0.044) \times 10^{-3} \quad (15.2)$$

مثال 2: حساب الارتباط النسبي للدالة التالية

$$X = (2u + 1) \cdot \sqrt[3]{\frac{v}{w^2}} \quad (16.2)$$

الحل: يمكن إعادة صياغة الدالة كما يلي

$$X = (2u + 1)v^{1/3}w^{-2/3} \quad (17.2)$$

بالاعتماد على العبارة (6.2) نجد أن

$$\begin{aligned} \frac{dX}{X} &= \left(2v^{1/3}w^{-2/3}du + \frac{1}{3}(2u+1)v^{-2/3}w^{-2/3}dv + \frac{-2}{3}(2u+1)v^{1/3}w^{-5/3}dw \right) \times \frac{1}{(2u+1)v^{1/3}w^{-2/3}} \\ &= \frac{2du}{2u+1} + \frac{1}{3} \frac{dv}{v} + \frac{-2}{3} \frac{dw}{w} \end{aligned} \quad (18.2)$$

وتحصل على الارتباط النسبي من خلال العبارة (7.2) على النحو التالي

$$\frac{\Delta X}{X} = \Delta u \left| \frac{2}{2u+1} \right| + \frac{1}{3} \Delta v \left| \frac{1}{v} \right| + \frac{2}{3} \Delta w \left| \frac{1}{w} \right| \quad (19.2)$$

حيث يتم نزع القيمة المطلقة حسب القيمة العددية (موجبة أو سالبة) لكل متغير.

2.4.2 المُعالجة الغير مُباشرة لأخطاء القياس

يتم الاعتماد على طريقة المُعالجة الغير مُباشرة لحساب الارتباط عندما تتوفر إمكانية إعادة إجراء التجربة لعدة مرات. في هذه الحالة، يتم اللجوء إلى العمليات الاحصائية من خلال حساب متوسط القياس، متوسط أخطاء القياسات، وكذلك متوسط خطأ القياس الكلي. وعلى هذا الأساس، يمكن التعبير عن نتيجة القياس بالاعتماد على نتائج المتوسطات المتحصل عليها.

لنفرض أن (G_1, G_2, \dots, G_N) عبارة عن مجموعة قياسات لتجربة ما. وعليه، يتم حساب الارتباط على النحو التالي:

▪ **متوسط القياس:** يتم حساب متوسط القياس باستعمال العبارة التالية

$$\bar{G} = \frac{1}{N} \sum_{j=1}^N G_j \quad (20.2)$$

▪ **متوسط أخطاء القياسات:** يتم حساب متوسط خطأ القياس من أجل كل قياس كما يلي

$$\Delta G_j = |G_j - \bar{G}|, \quad j = 1, 2, \dots, N \quad (21.2)$$

▪ **متوسط خطأ القياس الكلي:** يتم استنتاج خطأ القياس الكلي من خلال العبارة التالية

$$\Delta \bar{G} = \sqrt{\frac{1}{N-1} \sum_{j=1}^N \Delta G_j^2} \quad (22.2)$$

وعليه، يتم التعبير عن نتيجة القياس بالصيغة التالية:

$$G = \bar{G} \pm \Delta \bar{G} \quad (23.2)$$

مثال 1: حساب نتيجة القياس بالنسبة لنتائج التجربة التالية

5	4	3	2	1	التجربة
القياس					
0.760	0.751	0.752	0.756	0.752	

الحل: يتم حساب متوسط القياس باستعمال العبارة (20.2)

$$\bar{G} = \frac{1}{5}(0.752 + 0.756 + 0.752 + 0.751 + 0.760) = 0.754 \quad (24.2)$$

كما يتم حساب متوسط خطأ القياس من أجل كل قياس كما يلي

$$\begin{aligned} \Delta G_1 &= |0.754 - 0.752| = 2 \times 10^{-3} \\ \Delta G_2 &= |0.754 - 0.756| = 2 \times 10^{-3} \\ \Delta G_3 &= |0.754 - 0.752| = 2 \times 10^{-3} \\ \Delta G_4 &= |0.754 - 0.751| = 3 \times 10^{-3} \\ \Delta G_5 &= |0.754 - 0.760| = 6 \times 10^{-3} \end{aligned} \quad (25.2)$$

وعليه، يتم استنتاج خطأ القياس الكلي من خلال العبارة التالية

$$\begin{aligned} \Delta \bar{G} &= \sqrt{\frac{1}{4}[(2 \times 10^{-3})^2 + (2 \times 10^{-3})^2 + (2 \times 10^{-3})^2 + (3 \times 10^{-3})^2 + (6 \times 10^{-3})^2]} \\ &= 0.003774 \approx 0.0038 \end{aligned} \quad (26.2)$$

وعليه، يتم التعبير عن نتيجة القياس على النحو التالي

$$G = 0.754 \pm 0.0038 \quad (27.2)$$

مثال 2: حساب نتيجة القياس بالنسبة لنتائج التجربة التالية

5	4	3	2	1	التجربة
القياس					
10.04	10.06	10.01	10.02	10.07	

الحل: جميع النتائج المتحصل عليها في الجدول أدناه.

نتيجة القياس	متوسط خطأ القياس الكلي	متوسط خطأ القياسات	المتوسطة	القياس	التجربة
$G = 10.04 \pm 0.0255$	$0.02549 \approx 0.0255$	0.03	10.04	10.07	1
		0.02		10.02	2
		0.03		10.01	3
		0.02		10.06	4
		0.00		10.04	5

5.2 معايرة أجهزة القياس Calibration

إنّ معايرة جهاز القياس هي عبارة عن عملية ضبط الجهاز من خلال تطبيق تصحيحات منهجية من أجل التقليل من الارتباط المرتبط بالقياسات. وعلى هذا الأساس، يتم تعديل أجهزة القياس وذلك بإجراء مجموعة من العمليات الاختبارية باستعمال أجهزة معايرة مخصصة لهذا الغرض تُعرف بمصطلح Multi-Product Calibrator. يسمح هذا النوع من الأجهزة بـ معايرة مجموعة متنوعة من أجهزة القياس الكهربائية بما فيها جهاز القياس المتعدد الوظائف Multimeter ، راسم الاهتزازات Oscilloscope ، مسجلات الرسم البياني، الميزان الالكتروني، وغيرها من الأجهزة الرقمية.

الشكل التالي يوضح جهاز معايرة Fluke Multi-Product Calibrator لشركة



.5502A. جهاز معايرة Fluke Multi-Product Calibrator لشركة

يتميز هذا الجهاز بالمواصفات التالية:

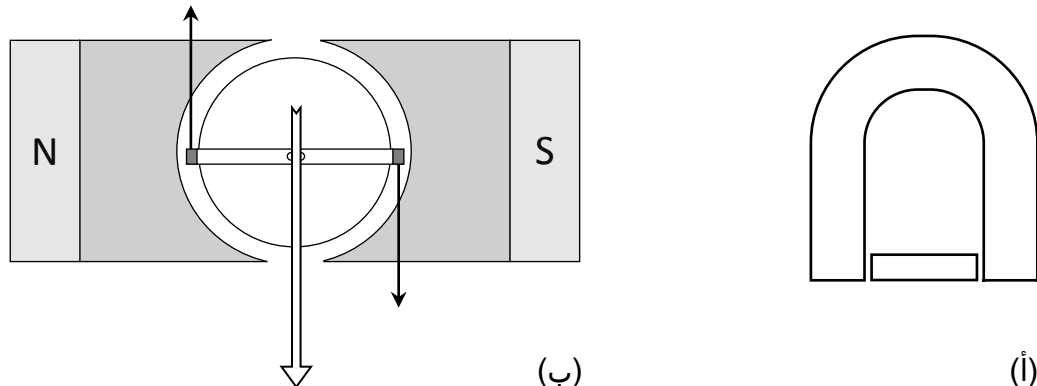
المجال	الوظيفة	المجال	الوظيفة
110mF 220pF	المكثفة	±1020V 0	الجهد المستمر
0 إلى 20.9kW	الاستطاعة	0 إلى 20.5A	التيار المستمر
0.01°	مراقبة الطور	1020V 1mV إلى 500kHz	الجهد المتناوب
2316°C -250°C	درجة الحرارة	1000V@ 10kHz/330V@ 100kHz	الجهد المتناوب × التردد
IEEE 488 و RS-232	وسائل التواصل الخارجي	20.5A 29 μA إلى 30kHz	التيار المتناوب
25 < جزء في المليون	الارتباط على التردد	10Hz	جسيمة، مربعة، مثلثية
اختياري	معايرة جهاز رسم الاهتزازات	0 إلى 1100MΩ	المقاومة

7.2 الطُّرُقُ الرُّئيسيَّةُ لِلقياس الكهربائي

بصفة عامة، يتم استعمال عدة طُرُقٍ من أجل القياس الكهربائي حيث يعتمد مبدأ عمل كل طريقة قياس على كيفية إجراء القياس لتحديد كمية القياس المطلوب. فيما يلي نستعرض مبدأ عمل أهم طُرُقَ القياس الكهربائي.

1.7.2 طريقة انحراف الإبرة

إن طريقة القياس التي تعتمد على مبدأ انحراف الإبرة هي من بين أكثر طُرُقَ القياس شيوعاً حيث يرتكز مبدأ العمل على قاعدة دوران اللف الناقل للتيار تحت تأثير المجال المغناطيسي (الجدول 6.2) مع إدخال بعض التعديلات كما سيتم التطرق إليه في الفصل 4. الشكل 2.2 يوضح التمثيل البصري لطريقة انحراف الإبرة.



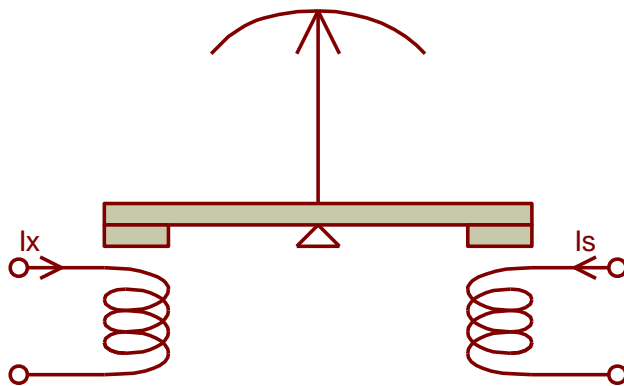
الشكل 2.2. جهاز القياس بالاعتماد على طريقة انحراف الإبرة. (أ) رمز هذا النوع من الأجهزة. (ب) مبدأ العمل.

وعليه، يتم تحديد كمية القياس من خلال القراءة المُباشرة لانحراف إبرة جهاز القياس المعنى حيث يتم استخدام على سبيل المثال جهاز voltmeter لقياس فرق الكمون أو الجهد وجهاز wattmeter لقياس الاستطاعة الكهربائية. كما يتم استنتاج كمية القياس من خلال القراءة الغير مُباشرة باستعمال أجهزة قياس مُرافقة مثلما هو الحال من أجل الاستطاعة الكهربائية وذلك من خلال اللجوء إلى كل من جهاز ammeter و voltmeter.

2.7.2 طريقة الصفر

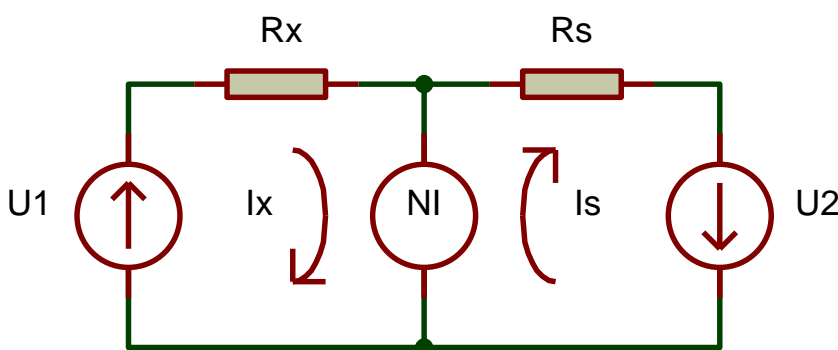
إحدى طُرُقَ القياس الغير مُباشر تعتمد على مُقارنة القيمة المُقاسة مع قيمة مرجعية أو ما يُسمى طريقة الصفر. فيما يلي نستعرض مبدأين لقياس الغير مباشر بالاعتماد على هذه الطريقة وهما مبدأ المُوازنة ومبدأ المُقارنة.

1.2.7.2. مبدأ المُوازنة : يعتمد القياس على مبدأ عمل الميزان حيث تكون القيمة المرجعية في كفة والقيمة المراد قياسها في الكفة المُقابلة. الشكل 3.2 يوضح كيفية قياس التيار حيث يتم توصيل تيار القياس I_a على كفة والتيار المرجعي I_s على الكفة المُقابلة. وعليه، فإنّ مرور التيار الكهربائي I_a في لفات الكفة اليسرى يتسبب في إنشاء حقل مغناطيسي مما يسمح بانجداب الإبرة المغناطيسية في جهة الكفة I_a . في المُقابل، يتم موازنة الميزان وذلك بالاعتماد على نفس الآلية من جهة الكفة المُقابلة بتعديل قيمة التيار المرجعي I_s من أجل بلوغ حالة التوازن، والتي يكون المؤشر عندها في موضع الصفر من جديد.



الشكل 3.2. القياس الكهربائي باستعمال مبدأ المُوازنة.

2.2.7.2. مبدأ المُقارنة : لا يختلف كثيراً مبدأ طريقة القياس في هذه الحالة عن سابقتها حيث أن المُقارنة بالمعنى الضيق تستخدم مفهوم النسبة بين القيمة المرجعية مع القيمة المُقاسة. الشكل 4.2 يوضح مثال دارة بسيطة للقياس بالاعتماد على مبدأ المُقارنة، حيث تسمح هذه الدارة من استنتاج قيمة المقاومة المجهولة R_x باستعمال مقاومة R_s ، مصدر جهد وجهاز قياس.



الشكل 3.2. القياس الكهربائي باستعمال مبدأ المُقارنة.

حيث أن NI عبارة عن جهاز قياس التيار.
يتحقق توازن الدارة عند تساوي التيارين I_x و I_s ، أي أن

$$I_x - I_s = 0 \quad (28.2)$$

يمكن تحقيق حالة التوازن هذه عن طريق تغيير الجهد U_1 أو U_2 حتى يُشير جهاز قياس التيار إلى الصفر. وعليه، يمكن مُباشرةً استنتاج النسبة التالية

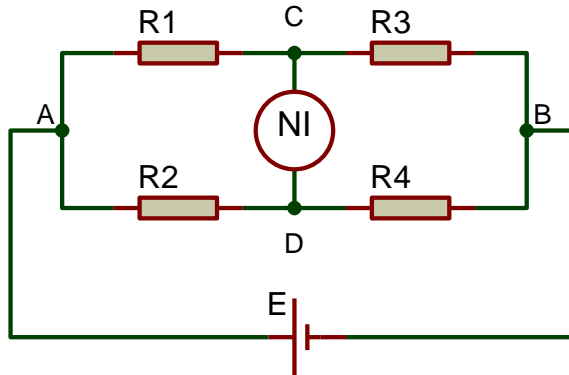
$$I_x - I_s = 0 \Rightarrow \frac{U_1}{R_x} - \frac{U_2}{R_s} = 0 \quad (29.2)$$

عندئِـ يتم تحديد قيمة المقاومة المجهولة R_x كما يلي

$$R_x = \frac{U_1}{U_2} R_s \quad (30.2)$$

كما يمكن ادخال تحسينات على الدارة السابقة قصد الحصول على نتائج قياس أكثر دقة، أو ما يُعرف باسم **دارة الجسر** لاستنتاج كمية القياسات.

أ- جسر القياس في دارة DC : كانت جسور القياس تُستخدم على نطاق واسع لقياس المقاومة ، الممانعة ، وكذا الترددات حتى عام 1975 مع ظهور المعالجات الدقيقة. ومع ذلك، لا يزال جسر القياس مستخدماً في العديد من التطبيقات. الشكل التالي يوضح الشكل العام لجسر القياس في دارة DC.



الشكل 3.2. الشكل العام لجسر القياس في دارة DC.

حيث تتكون الدارة من :

- مصدر جهد مستمر؛

- أربع فروع تحتوي على أربع مقاومات حيث أحد هذه المقاومات مجهولة القيمة (فرضياً R_4)، أحد هذه المقاومات معلومة ومتغيرة القيمة (فرضياً R_2)، و المقاومات المتبقية معلومة وثابتة القيمة (فرضياً R_1 و R_3)،

- فرع رابط بين النقطتين CD يحتوي على جهاز قياس التيار الضعيف (في حدود μ A).

بالاعتماد على قانون كيرشوف، نستنتج ما يلي فيما يخص التيارات:

$$\begin{aligned} I &= i_1 + i_2 = i_3 + i_4 \\ i_1 &= i_{CD} + i_3 \\ i_4 &= i_{CD} + i_2 \end{aligned} \tag{31.2}$$

ونستنتج فرق الكمون كما يلي

$$\begin{aligned} V_1 &= -V_{CD} + V_2 \Rightarrow R_1 i_1 = -V_{CD} + R_2 i_2 \\ V_3 &= V_{CD} + V_4 \Rightarrow R_3 i_3 = V_{CD} + R_4 i_4 \end{aligned} \tag{32.2}$$

وعليه، يمكن تحقيق حالة التوازن عن طريق تغيير المقاومة R_4 حتى يُشير جهاز قياس التيار إلى الصفر ($i_{CD} = 0$). وبما أن الفرع CD يحتوي على جهاز قياس، أي أن $V_{CD} = r_{NI} \times i_{CD}$ (r_{NI} تُعبر عن المقاومة الداخلية للجهاز)، ومنه $V_{CD} = 0$.

بتعمويض النتيجتين في العبارات (31.2) و (32.2)، نستنتج العلاقة بين التيارات التالية

$$i_1 = i_3 ; i_4 = i_2 \tag{33.2}$$

ونستنتج ما يلي فيما يخص فرق الكمون:

$$R_1 i_1 = R_2 i_2 ; R_3 i_3 = R_4 i_4 \tag{34.2}$$

ومنه

$$\frac{R_1 i_1}{R_3 i_3} = \frac{R_2 i_2}{R_4 i_4} \Rightarrow \frac{R_1}{R_3} = \frac{R_2}{R_4} \quad (35.2)$$

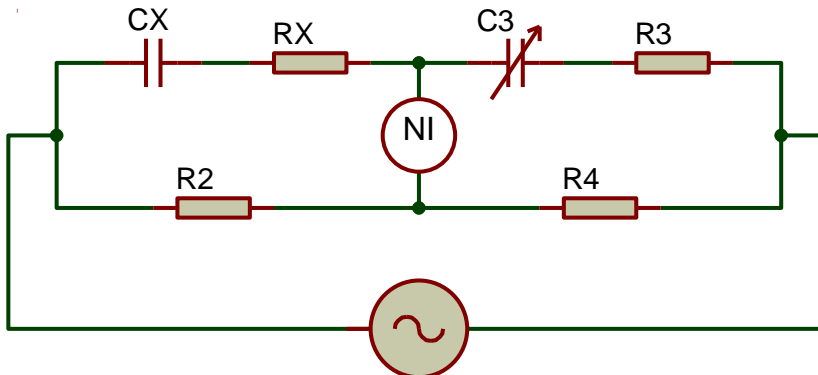
في الأخير نجد أن

$$R_1 R_4 = R_2 R_3 \quad (36.2)$$

حيث يتم استنتاج مُباشرة قيمة المُقاومة المجهولة R_4 كما يلي

$$R_4 = \frac{R_2 R_3}{R_1} \quad (37.2)$$

ب- جسر القياس في دارة AC : في هذه الحالة، يتم تعويض مصدر الجهد المستمر بآخر متناسب كما يتم استبدال المُقاومات بمُمانعات تحتوي على مكثفات أو وشيعات، مع العلم أن مُمانعة كل عنصر مُعطاة في الحالة الحقيقية (دون إهمال المقاومة الداخلية).



الشكل 4.2. جسر لقياس المكثفة في دارة AC.

من خلال الشكل 4.2، لدينا المُمانعات التالية

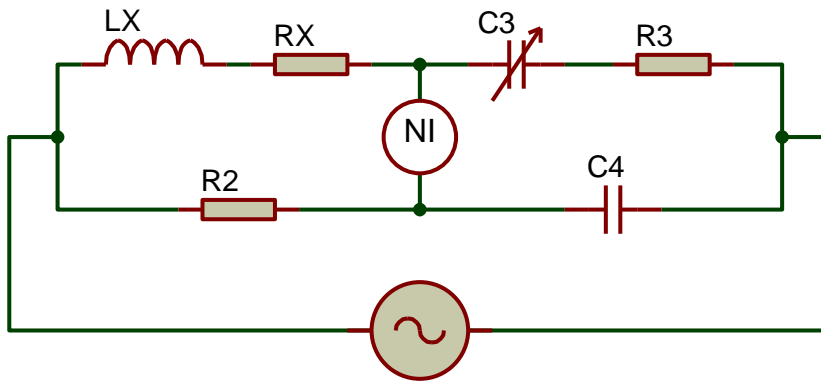
$$Z_x = R_x + \frac{1}{jC_x \omega}, \quad Z_2 = R_2, \quad Z_3 = R_3 + \frac{1}{jC_3 \omega}, \quad Z_4 = R_4 \quad (38.2)$$

عند توازن جسر القياس، نستنتج أن

$$\begin{aligned} Z_x Z_4 &= Z_2 Z_3 \Rightarrow \left(R_x + \frac{1}{jC_x \omega} \right) R_4 = R_2 \left(R_3 + \frac{1}{jC_3 \omega} \right) \\ &\Rightarrow R_x R_4 - j \frac{R_4}{C_x \omega} = R_2 R_3 - j \frac{R_2}{C_3 \omega} \end{aligned} \quad (39.2)$$

من خلال خصائص الأعداد المركبة، نستنتج ما يلي

$$\begin{cases} R_x R_4 = R_2 R_3 \\ \frac{R_4}{C_x \omega} = \frac{R_2}{C_3 \omega} \end{cases} \Rightarrow \begin{cases} R_x = \frac{R_2 R_3}{R_4} \\ C_x = \frac{R_4}{R_2} C_3 \end{cases} \quad (40.2)$$



الشكل 5.2. جسر لقياس الوشيعة في دارة AC.

من خلال الشكل 5.2، لدينا المُمانعات التالية

$$Z_x = R_x + jL_x\omega, \quad Z_2 = R_2, \quad Z_3 = R_3 + \frac{1}{jC_3\omega}, \quad Z_4 = \frac{1}{jC_4\omega} \quad (1.2)$$

عند توازن جسر القياس، نستنتج أن

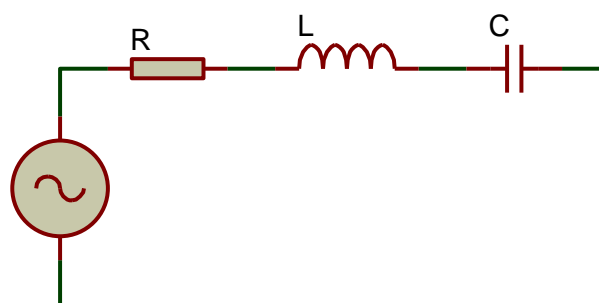
$$\begin{aligned} Z_x Z_4 &= Z_2 Z_3 \Rightarrow (R_x + jL_x\omega) \frac{1}{jC_4\omega} = R_2 \left(R_3 + \frac{1}{jC_3\omega} \right) \\ &\Rightarrow \frac{L_x}{C_4} - j \frac{R_x}{C_4\omega} = R_2 R_3 - j \frac{R_2}{C_3\omega} \end{aligned} \quad (2.2)$$

من خلال خصائص الأعداد المُركبة، نستنتج ما يلي

$$\begin{cases} \frac{R_x}{C_4\omega} = \frac{R_2}{C_3\omega} \\ \frac{L_x}{C_4} = R_2 R_3 \end{cases} \Rightarrow \begin{cases} R_x = \frac{C_4}{C_3} R_2 \\ L_x = R_2 R_3 C_4 \end{cases} \quad (3.2)$$

3.7.2. طريقة الرنين

الرنين عبارة عن ظاهرة فيزيائية قد تحدث في عدة أنظمة بما فيها حركة الكواكب، الأعمدة الهوائية، الميكانيك، الكهرباء وغيرها. تحدث هذه الظاهرة في الدارات الكهربائية ذات التيار المتناوب التي تحتوي على الأقل على مقاومة R ، وشيعة L ومكثفة C على التسلسل كما هو موضح في الشكل أدناه.



الشكل 3.2. دارة التيار المُتناوب RLC على التسلسل.

يتم التعبير على ممانعة المكثفة والوشيعة كما يلي

$$Z_R = R, Z_L = jL\omega, Z_C = \frac{1}{jC\omega} \quad (1.2)$$

وعليه فإن ممانعة الدارة هي

$$Z = Z_R + Z_L + Z_C = R + jL\omega + \frac{1}{jC\omega} = R + j\left(L\omega - \frac{1}{C\omega}\right) \quad (2.2)$$

من خلال العبارة (32.2)، نستنتج وجود حالة وحيدة ينعدم فيها الجزء التخييلي حيث تساوى عندها ممانعة المكثفة مع ممانعة الوشيعة $Z_C = Z_L$. وعليه، نستنتج الخصائص التالية في حالة الرنين:

- التيار والجهد على نفس الطور $V = V_0 \sin\omega t, I = I_0 \sin\omega t$:

- طولية الممانعة $Z = |Z| = R$:

- الجهد بين طرفي الوشيعة = الجهد بين طرفي المكثفة $V_L = V_C$:

- النبض $\omega_r = 1/\sqrt{LC}$ والتتردد $f_r = 1/(2\pi\sqrt{LC})$:

- القيمة العظمى للتيار $I_0 = V_0 / Z = V_0 / R$:

- القيمة العظمى للاستطاعة $P = V_{RMS}^2 / Z = V_{RMS}^2 / R$.

في هذه الحالة، تكون الدارة شبيهة بحالة دارة بدلالة مقاومة فقط، حيث أنه يتم تفرغ كل كمية الشحنات المخزنة في المكثفة في الوشيعة خلال نصف نوبة الأولى ويتم تفرغ كل كمية الشحنات المخزنة في الوشيعة بدورها في المكثفة خلال نصف نوبة الثانية. غالباً ما يتم استعمال هذا النوع من الدارات لاستنتاج كمية القياس لأحد عناصر الدارة بدلالة بقية العناصر، أو ما يُسمى Q-meter.

الفصل الثالث. أجهزة القياس الكهربائي

مقدمة

كانت أجهزة القياس التماضية في السابق أكثر الأجهزة استعمالاً في القياس الكهربائي وذلك لتميزها بالبساطة والموثوقية، غير أنّ هذا النوع من أجهزة القياس يتطلب معاينة القياس عن كثب لقراءة القيمة المُشار إليها وذلك لعدم توفرها على إشارة مخرج كهربائية. بالإضافة إلى ذلك، فإنّها تعتمد بشكل أساسي على الأجزاء الميكانيكية المتحركة والتي تكون حساسة للصدمات، الشيخوخة أو التآكل. عليه، فقد تم استبدال هذه الأجهزة بالأجهزة الرقمية لإجراء القياسات الدقيقة وذلك لتوفرها على عدّة مزايا مثل الرقمنة، الحفظ وإرسال القياس. ولكن نظراً لتعقيدات التركيبة الداخلية لأجهزة القياس الرقمية وبعض العوامل الأخرى، فإنّ أجهزة القياس التماضية لا تزال محل اهتمام إلى يومنا هذا.

1.3 أجهزة القياس الكهرومغناطيسية التماضية

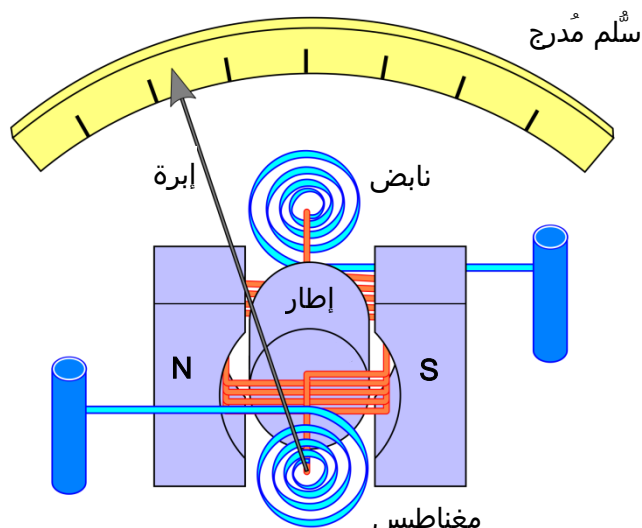
فيما يلي نستعرض التركيبة الداخلية لأهم أجهزة القياس الكهرومغناطيسية التماضية بما فيها جهاز Galvanometre لقياس شدة التيار الصغيرة جداً (في حدود $500 \mu A$)، جهاز Ammetre لقياس شدة التيار المتوسطة والمرتفعة (في حدود $1mA - 10A$)، جهاز Voltmetre لقياس فرق الكمون (V)، وجهاز Wattmetre لقياس الاستطاعة الكهربائية (W).

1.1.3 جهاز Galvanometer لقياس شدة التيار

تمت تسمية الجهاز نسبةً إلى العالم الفيزيائي الإيطالي Luigi Galvani (1737 – 1798) حيث تم تصنيع أول جهاز قياس Galvanometer سنة 1820 والذي يسمح بقياس شدة التيار الصغيرة جداً بالاعتماد على العلاقات الكهرومغناطيسية العامة كما سيتم التفصيل فيه لاحقاً.

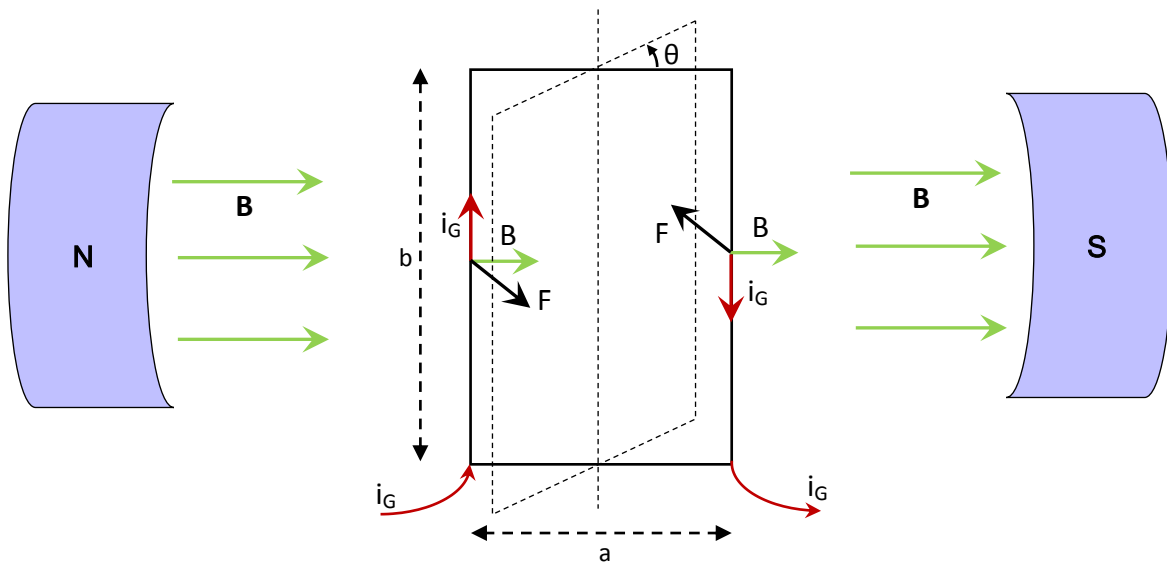
1.1.1.3 التركيبة الداخلية للجهاز

يُوضح الشكل أدناه الهيكل العام لجهاز القياس Galvanometer التراكمي.



الشكل 1.3. الهيكل العام لجهاز Galvanometer .

من خلال الشكل 1.3، نلاحظ أن جهاز القياس Galvanometer يتكون من إطار متحرك (الاسطوانة) يدور حول محور دوران ومغمور في المجال المغناطيسي لمغناطيس دائم. يتم تثبيت إبرة على الإطار وذلك لقراءة القيمة من خلال سلم التدرجات. النابضين من أمام وخلف الإطار لديهما مهمة تثبيت الجزء المتحرك عند قيمة محددة في السلم تحت تأثير التيار الكهربائي وكذلك مهمة إرجاع الإطار إلى وضعية السكون في حال عدم وجود التيار. الشكل 2.3 التالي يوضح التركيبة الداخلية للإطار المتحرك.



. الشكل 2.3. الهيكل الداخلي لجهاز Galvanometer

يعتمد مبدأ عمل جهاز القياس Galvanometer على ما يلي: يؤدي تدفق التيار الكهربائي من خلال الإطار الموضع في المجال المغناطيسي إلى توليد عزم دوران بصفة مستمرة، غير أنّ نابضي الارجاع لديهما مهمة توقف الحركة عند قيمة محددة. يشير السهم المرفق بالإبرة إلى زاوية الدوران والتي تناسب مع قيمة التيار المتدفق، حيث يتم وضع سلم مدرج خلف الإبرة لتحديد قيمة التيار المتدفق من خلال الخصائص الداخلية للجهاز.

2.1.1.3 قانون حركة الإطار

الهدف هو تحديد معادلة حركة الإطار المتحرك بدلالة الخصائص الداخلية حيث أنّ هذه الخصائص مُحدّدة كما يلي:

a, b : طول وعرض الإطار، على التوالي؛

N : عدد لفات السلك الناقل حول الإطار؛

B : الحقل المغناطيسي؛

i_G : التيار المار في الإطار؛

k : ثابت إرجاع النابض؛

θ : مقدار انحراف الإبرة عن موضع التوازن.

بناءً على قانون نيوتن، لدينا

$$\sum \vec{M} = J \vec{\theta} \quad (1.3)$$

حيث أن $\sum \vec{M}$ تُعبّر عن مجموع العزوم، الرمز J عبارة عن عزم العطالة و $\vec{\theta}$ التسارع الزاوي.

من خلال الشكل 2.3، يمكن تحديد أربع عزوم مؤثرة على حركة الإطار، وهي: العزم المُحرك \vec{M}_C ، عزم ارجاع النواص \vec{M}_k ، عزم الاحتكاك \vec{M}_h ، وعزم الكبح الناتج عن المقاومة الداخلية \vec{M}_{r_G} . فيما يلي ستنظر إلى كيفية استخراج كل عزم على حدي.

أ. العزم المُحرك:

هذا العزم ناتج عن إثارة الإطار بدلالة التيار i المتدفق في الجهاز. يتم التعبير عن العزم المُحرك في هذه الحالة بالمعادلة التالية:

$$\vec{M}_C = \vec{F} \frac{a}{2} \quad (2.3)$$

حيث أن \vec{F} القوة المطبقة على الإطار و $a/2$ المسافة بين محور دوران الإطار ونقطة تطبيق القوة (الذراع). وعليه، يتم تحديد القوة الجزئية كما يلي

$$d\vec{F} = \vec{i} \wedge \vec{B} dx \quad (3.3)$$

حيث أن $d\vec{F}$ تُعبّر عن القوة الجزئية، \vec{i} التيار الكهربائي الذي يمر في الإطار المتحرك، \vec{B} الحقل المغناطيسي و dx الانتقال الجزئي. وعليه فإن القوة المطبقة طول محيط الإطار مُعطاة كما يلي

$$\begin{aligned} F &= \int_0^{2(a+b)} i_G B \sin(\vec{i}, \vec{B}) dx = \int_0^b i_G B \sin(\vec{i}, \vec{B}) dx + \int_b^{b+a} i_G B \sin(\vec{i}, \vec{B}) dx \\ &+ \int_{b+a}^{2b+a} i_G B \sin(\vec{i}, \vec{B}) dx + \int_{2b+a}^{2b+2a} i_G B \sin(\vec{i}, \vec{B}) dx \end{aligned} \quad (4.3)$$

وفقاً للشكل 2.3 فإن الإطار لا يخضع لتأثير القوة F إلاً عندما يتعامد شعاع التيار الكهربائي \vec{i} مع شعاع الحقل المغناطيسي \vec{B} . في هذه الحالة، تحصل على العلاقة التالية

$$\begin{aligned} F &= \int_0^{2(a+b)} i_G B \sin(\vec{i}, \vec{B}) dx = \int_0^b i_G B \sin \frac{\pi}{2} dx + \int_b^{b+a} i_G B \sin \pi dx \\ &- \int_{b+a}^{2b+a} i_G B \sin \frac{3\pi}{2} dx - \int_{2b+a}^{2b+2a} i_G B \sin 2\pi dx \end{aligned} \quad (5.3)$$

من خلال خصائص الدوال الجيبية، نستنتج ما يلي

$$F = i_G B x \Big|_0^b + i_G B x \Big|_{b+a}^{2b+a} = 2bB i_G \quad (6.3)$$

ومنه فإن عبارة العزم المُحرك من أجل عدد اللفات N على النحو التالي

$$M_C = NF \frac{a}{2} = N2bB i_G \frac{a}{2} = NabB i_G \quad (7.3)$$

بما أن المساحة $S = ab$ وأن الحزمة المغناطيسية $\Phi = NSB$ ، وعليه تم إعادة صياغة العبارة السابقة كما يلي

$$\vec{M}_C = \Phi \vec{i} \quad (8.3)$$

والذي يُمثل العزم المُحرك تحت تأثير التيار الكهربائي i .

ب. عزم ارجاع التوابع:

يرجع نشوء هذا العزم إلى ثابت ارجاع التوابعين حيث يتم اعطاؤه بواسطة الصيغة التالية

$$\vec{M}_k = k\vec{\theta} \quad (9.3)$$

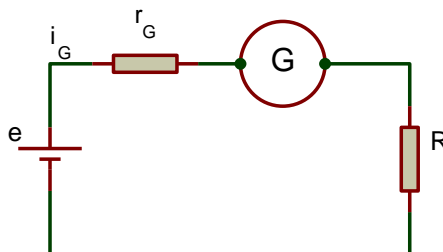
ت. عزم الاحتكاك:

يتشكل عزم الاحتكاك نتيجة الاحتكاك بين الجزء المتحرك (الإطار) والجزء الثابت من الجهاز، حيث أن عبارة عزم الاحتكاك من أجل ثابت الاحتكاك h مُعطاة كما يلي

$$\vec{M}_h = h\vec{\theta} \quad (10.3)$$

ث. عزم الكبح:

يرجع هذا العزم بشكل أساسى إلى المقاومة الداخلية للجهاز حيث أنّ صيغته من نفس صيغة العزم المحرك لكن في الاتجاه المعاكس. الشكل أدناه يوضح كيفية تركيب جهاز القياس Galvanometer في دارة كهربائية مع استخدام مقاومة على التسلسل كإجراء وقائي.



الشكل 3.3. توصيل جهاز القياس Galvanometer في دارة كهربائية.

من خلال الشكل 3.3 لدينا

$$e = (R + r_G) i_G \Rightarrow i_G = \frac{e}{R + r_G} \quad (11.3)$$

حيث أنّ المقاومة الداخلية r_G مُعطاة من خلال قانون أوم التالي

$$r_G = \rho \frac{\ell}{s} \quad (12.3)$$

مع ρ يرمز إلى مقاومية السلك المعدني المستعمل، ℓ طول السلك المعدني و s مساحة مقطع السلك المعدني. وعليه، يتم التعبير على المقاومة الداخلية بدلالة خصائص الإطار المتحرك كما يلي

$$r_G = \rho \frac{2(a+b)N}{\pi(d/2)^2} = \rho \frac{8N(a+b)}{\pi d^2} \quad (13.3)$$

حيث أنّ a, b طول وعرض الإطار و d قطر السلك المعدني. من جهة أخرى، نعلم أنّ

$$e = \oint E dl = \oint N u B dl \quad (14.3)$$

حيث أنّ العلاقة بين السرعة الخطية والسرعة الزاوية هي $\dot{\theta} = \frac{a}{2} \dot{\theta}$. وعليه، نستنتج ما يلي

$$e = \int_0^{2b} N u B dl = N \frac{a}{2} \dot{\theta} B \left[\ell \right]_0^{2b} = NabB\dot{\theta} = \Phi \dot{\theta} \quad (15.3)$$

ومنه، يتم التعبير على عزم الكبح الناتج عن المقاومة الداخلية r للجهاز كما يلي

$$M_{r_G} = \Phi i_G = \Phi \frac{e}{R+r_G} = \frac{\Phi^2}{R+r_G} \dot{\theta} \quad (16.3)$$

3.1.1.3 معادلة حركة الإطار

من خلال العلاقات (1.3)، (8.3)، (9.3)، (10.3) و (16.3)، نستنتج معادلة حركة الإطار المتحرك للجهاز كما يلي:

$$\begin{aligned} \sum \vec{M} &= J \ddot{\theta} \Rightarrow \vec{M}_C + \vec{M}_k + \vec{M}_h + \vec{M}_{r_G} = J \ddot{\theta} \\ &\Rightarrow M_C - M_k - M_h - M_{r_G} = J \ddot{\theta} \\ &\Rightarrow \Phi i_G - k\theta - h\dot{\theta} - \frac{\Phi^2}{R+r_G} \dot{\theta} = J \ddot{\theta} \end{aligned} \quad (17.3)$$

بعد إعادة الترتيب تتحصل على العبارة التالية

$$J \ddot{\theta} + \left(h + \frac{\Phi^2}{R+r_G} \right) \dot{\theta} + k\theta = \Phi i_G \quad (18.3)$$

والتي تمثل معادلة حركة الإطار المتحرك لجهاز القياس Galvanometer تحت تأثير العزم المحرك المتمثل في التيار الكهربائي i_G و مختلف العزوم المقاومة. بفرض أنّ الحل مُعطى بالصيغة التالية

$$\theta(t) = Ae^{\alpha t} \Rightarrow \dot{\theta}(t) = A\alpha e^{\alpha t}; \ddot{\theta}(t) = A\alpha^2 e^{\alpha t} \quad (19.3)$$

بالت遇ويض في المعادلة (18.3) نجد أنّ

$$JA\alpha^2 e^{\alpha t} + \left(h + \frac{\Phi^2}{R+r_G} \right) A\alpha e^{\alpha t} + kAe^{\alpha t} = \Phi i_G \quad (20.3)$$

ويكون الحل على النحو التالي

$$\theta_T(t) = \theta_g(t) + \theta_p(t) \quad (21.3)$$

ومنه نستنتج الحل العام $\theta(t)$ بفرض أنّ الطرف الثاني للمعادلة التفاضلية معدوم كما يلي

$$JA\alpha^2 e^{\alpha t} + \left(h + \frac{\Phi^2}{R+r_G} \right) A\alpha e^{\alpha t} + kAe^{\alpha t} = 0 \Rightarrow \alpha^2 + \frac{1}{J} \left(h + \frac{\Phi^2}{R+r_G} \right) \alpha + \frac{k}{J} = 0 \quad (22.3)$$

نفرض أنّ $\omega^2 = \frac{k}{J}$ يرمز إلى معامل التحادم و $2\lambda = \frac{1}{J} \left(h + \frac{\Phi^2}{R+r_G} \right)$ يرمز إلى النسب الخاص.

ومنه يمكن إعادة صياغة العبارة (22.3) السابقة كما يلي

$$\alpha^2 + 2\lambda\alpha + \omega^2 = 0 \quad (23.3)$$

ويكون الحل العام بدلالة المُميّز المُختصر $\omega^2 - \lambda^2 = \Delta'$ حسب الحالات الثلاث التالية:
 1/ $\Delta' < 0$: في هذه الحالة لدينا $\omega < \lambda$ ، والذي يُمثل حالة تخاصم حرج حيث أنّ الحل العام كما يلي

$$\theta_g(t) = e^{-\lambda t} (A \cos \omega t + B) \quad (24.3)$$

2/ $\Delta' = 0$: في هذه الحالة لدينا $\omega = \lambda$ ، والذي يُمثل حالة حرج حيث أنّ الحل العام هو

$$\theta_g(t) = e^{-\lambda t} (At + B) \quad (25.3)$$

3/ $\Delta' > 0$: في هذه الحالة لدينا $\omega > \lambda$ ، والذي يُمثل حالة شبه دورية ونستنتج الحل العام التالي

$$\theta_g(t) = Ae^{-(\lambda - \sqrt{\lambda^2 - \omega^2})t} + Be^{-(\lambda + \sqrt{\lambda^2 - \omega^2})t} \quad (26.3)$$

بالرجوع إلى المعادلة التفاضلية (18.3)، فإنّ الحل النهائي θ_T يعتمد على صيغة التيار الكهربائي ω . ومنه، فإنّ حركة إطار الجهاز يجب أن تكون في حالة حرج $(\omega = \lambda)$ وذلك قصد بلوغ القيمة النهائية بثبات ودون أي اهتزاز جانبي قد يؤثر على القراءة السليمة لهذه القيمة. عليه، فإنّ الحل الثاني من أجل $\Delta' = 0$ هو الأكثر ملائمة لتمثيل حركة إطار جهاز القياس، حيث يتم الحصول على هذا الحل وذلك بضبط مختلف الخصائص الداخلية للجهاز المُعتبر عنها بدلالة معامل التخاصم λ والنِّبض ω . بمجرد تحقق الشرط السابق، يتم استنتاج القيمة النهائية عند توقف سهم الإبرة باستعمال الصيغة العامة التالية

$$\frac{\text{القيمة النهائية}}{\text{السلم}} = \frac{\text{القراءة} \times \text{المعيار}}{\text{السلم}} \quad (27.3)$$

4.1.1.3 حساسية جهاز القياس Galvanometer
 يمكن تحديد حساسية الجهاز عندما تختفي الاستجابة العابرة حيث ($\theta = 0$)، وعليه ومن خلال العلاقة (18.3)، نستنتج حساسية الجهاز على النحو التالي

$$k\theta = \Phi i_G \Rightarrow \sigma = \frac{\theta}{i_G} = \frac{\Phi}{k} \quad (28.3)$$

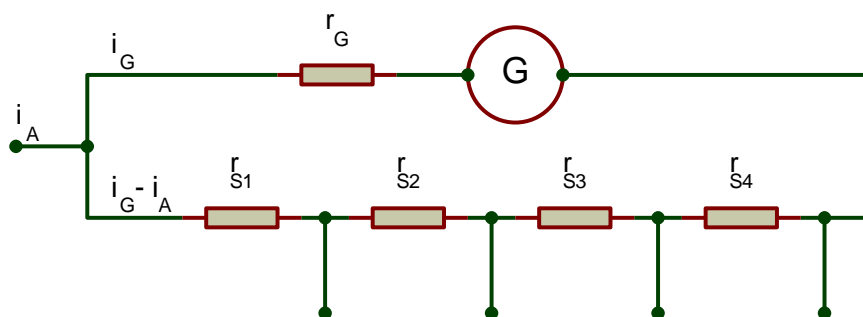
نبوه: غالباً ما يُطلق على جهاز القياس Galvanometer باسم Galvanometer D'Arsonval نسبة إلى العالم الذي قام بتحديد التركيبة الداخلية المُعتمدة في تصنيع هذا النوع من أجهزة القياس. بصفة عامة، فإنّ جهاز القياس Galvanometer يُمثل قاعدة عمل أغلب أجهزة القياس التماضية التي تعتمد على تأثير القوة الكهرومغناطيسية، حيث يُعتبر في حد ذاته جهاز قياس حساساً جداً للتيار الكهربائي (في حدود $A^{-6} 10$) كما تمت الإشارة إليه من قبل. مع العلم أنه يتم تصنيع هذا النوع من الأجهزة إلى يومنا هذا حيث تصل فئة دقتها إلى 0.1% والتي يمكن بواسطتها قياس الشحنات والتيارات الكهربائية الضعيفة. من بين مميزاتها أيضاً ضعف القدرة المستهلكة في مختلف الأجزاء الداخلية. غير أنّ لجهاز القياس Galvanometer بعض العيوب، نذكر منها عدم تحمله للتغيرات المرتفعة وكذا اقتصر استخدامه على التيار الكهربائي المستمر فقط. ضيف إلى ذلك ارتفاع تكاليف التصنيع مقارنةً بأجهزة القياس الأخرى نظراً للدقة المطلوبة في صناعته وتجميع مختلف أجزاؤه.

2.1.3 جهاز القياس شدة التيار (Ammeter) لقياس شدة التيار

تمت تسمية الجهاز نسبةً إلى العالم الفيزيائي الفرنسي André-Marie Ampère (1775 – 1836) والذي ساهمت نظريته في الديناميكا الكهربائية بشكل كبير في نشأة نظريات الكهرومغناطيسية للعالم Maxwell. غالباً ما يتم استعمال الاسم المختصر Ammeter للتعبير عن جهاز القياس والذي سنعتمد عليه في بقية الفصل.

1.2.1.3 التركيبة الداخلية للجهاز

يحتوي جهاز القياس Ammeter على نفس الهيكل الداخلي لجهاز القياس Galvanometer مع تعديلات صغيرة للسماح للجهاز بقياس التيار المرتفع (في حدود 1mA – 10A). يعتمد الهيكل الداخلي على الإطار المتحرك لجهاز القياس Galvanometer بالتوالي مع مقاومة متغيرة حتى يتسعن استعمال معايير مختلفة للجهاز كما هو موضح في الشكل 4.3 أدناه.



الشكل 4.3. التركيبة الداخلية لجهاز القياس Ammeter (يفرض أنّ الجهاز يحتوي على أربع معايير).

$$\text{حيث أنّ } R_s = R_{\text{Shunt}} = \sum_{i=1}^n r_{s_i}$$

نفرض أنه تم اجراء القياس عند العيار الموافق للمقاومة r_{s2} . وعليه، يتم التعبير عن المقاومة الداخلية r_A لجهاز القياس Ammeter بالعبارة التالية

$$r_A = \frac{(r_G + r_{s3} + r_{s4}) \cdot (r_{s1} + r_{s2})}{r_G + R_s} \quad (29.3)$$

جعل $r_G \ll R_s$ ، ومنه نستنتج التقريب التالي

$$r_A \approx r_{s1} + r_{s2} \quad (30.3)$$

وعليه، كلما كانت المقاومة R_s ذات دلالة ضعيفة كلما كانت المقاومة الداخلية r_A ذات دلالة أضعف، ومنه مرور تيار أشدّ عبر جهاز القياس Ammeter مقارنةً بجهاز القياس Galvanometer.

2.2.1.3 معادلة حركة الإطار

بالنظر إلى أنّ البنية الداخلية لجهاز القياس Ammeter تعتمد على الإطار المتحرك لجهاز القياس Galvanometer، لدينا

$$h\ddot{\theta} + \left(h + \frac{\Phi^2}{R + r_G} \right) \dot{\theta} + k\theta = \Phi i_G \quad (31.3)$$

ويتم صياغة العلاقة بين كلا التيارين i_G و i_A من خلال الشكل 4.3 كما يلي

$$i_G(r_G + r_{s3} + r_{s4}) = (i_A - i_G)(r_{s1} + r_{s2}) \Rightarrow i_G = \frac{r_{s1} + r_{s2}}{r_G + R_s} i_A \quad (32.3)$$

بتبعويض الصيغة (32.3) في (31.3)، نستنتج معادلة حركة اطار جهاز القياس Ammeter كما يلي

$$J\ddot{\theta} + \left(h + \frac{\Phi^2}{R + r_G} \right) \dot{\theta} + k\theta = \Phi i_G = \Phi \frac{r_{s1} + r_{s2}}{r_G + R_s} i_A = \Phi \alpha i_A$$

$$(33.3)$$

مع $\alpha = \frac{r_{s1} + r_{s2}}{r_G + R_s}$. وتكون حساسية الجهاز على النحو التالي

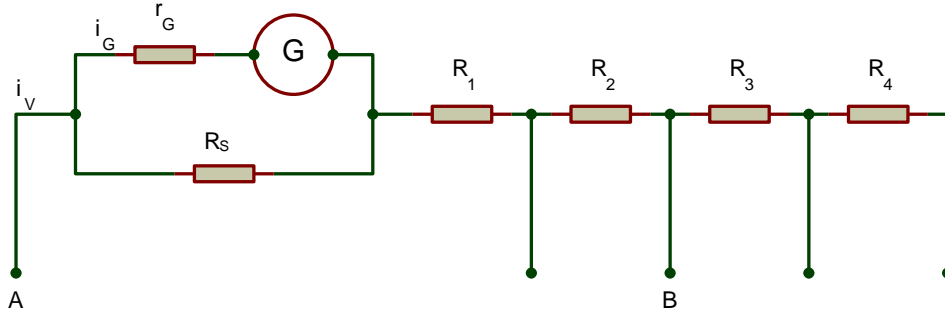
$$k\theta = \alpha \Phi i_A \Rightarrow \sigma_A = \frac{\theta}{i_A} = \alpha \frac{\Phi}{k} = \alpha \sigma_G \quad (34.3)$$

3.1.3 جهاز القياس Voltmeter لقياس فرق الكمون

تمت تسمية الجهاز تكريماً للعالم الفيزيائي الإيطالي Alessandro Volta (1745 – 1827) الشهير بأعماله الكثيرة في مجال الكهرباء واحترازه لأول بطارية كهربائية.

1.3.1.3 التركيبة الداخلية للجهاز

يستند جهاز القياس Voltmeter إلى نفس مبدأ انحراف إبرة إطار جهاز القياس Galvanometer مع إجراء تعديل على الهيكل الداخلي للمقاومة R_V كما هو موضح في الشكل 5.3.



الشكل 5.3. الشكل الداخلي لجهاز القياس Voltmeter.

$$R = \sum_{n=1}^m R_i \quad \text{حيث أن} \quad R_i$$

لفرض أنه تم إجراء القياس عند العيار الموافق للمقاومة R_2 . وعليه، يتم التعبير عن المقاومة الداخلية R_V لجهاز القياس Voltmeter بالعبارة التالية

$$R_V = \frac{r_G R_s}{r_G + R_s} + R_1 + R_2 \quad (35.3)$$

يجعل $R \ll r_G \ll R_s$ ، ومنه نستنتج التقرير التالي

$$R_V \approx R_1 + R_2 \quad (36.3)$$

وعليه، فإن المقاومة الداخلية r_v تتناسب مع المقاومة المتغيرة R ، حيث غالباً ما يتم اختيار مقاومة داخلية r_v من بضع Ω إلى بضع مئات Ω . هذا ما يجعل التيار المار في جهاز القياس Voltmeter ضعيف جداً مقارنةً بجهاز القياس Ammeter.

2.2.1.3 معادلة حركة الإطار

تُخضع حركة إطار جهاز القياس Voltmeter لنفس قانون حركة إطار الأجهزة السابقة، حيث لدينا

$$J\ddot{\theta} + \left(h + \frac{\Phi^2}{R + r_G} \right) \dot{\theta} + k\theta = \Phi i_G \quad (37.3)$$

ويتم صياغة العلاقة بين فرق الكمون V_{AB} والتيار i_G من خلال الشكل 5.3 كما يلي

$$V_{AB} = R_{eq} i_V = \frac{r_G R_s}{r_G + R_s} + R_1 + R_2 \quad (38.3)$$

من جهة أخرى، لدينا العلاقة بين التيار i_G والتيار i_V التالية

$$i_G = \frac{R_s}{r_G + R_s} i_V \quad (39.3)$$

بالاعتماد على العلاقات (38.3) و (39.3) السابقتين نجد أن

$$V_{AB} = R_{eq} i_V = R_{eq} \frac{r_G + R_s}{R_s} i_G \Rightarrow i_G = \frac{1}{R_{eq}} \frac{R_s}{r_G + R_s} V_{AB} \quad (40.3)$$

بالتعويض في المعادلة (3.37)، ومنه نستخرج معادلة حركة إطار جهاز القياس Voltmeter كما يلي

$$J\ddot{\theta} + \left(h + \frac{\Phi^2}{R + r_G} \right) \dot{\theta} + k\theta = \Phi i_G = \Phi \frac{\beta}{R_{eq}} V_{AB} \quad (41.3)$$

حيث أن $\beta = \frac{R_s}{r_G + R_s}$. وتكون حساسية الجهاز على النحو التالي

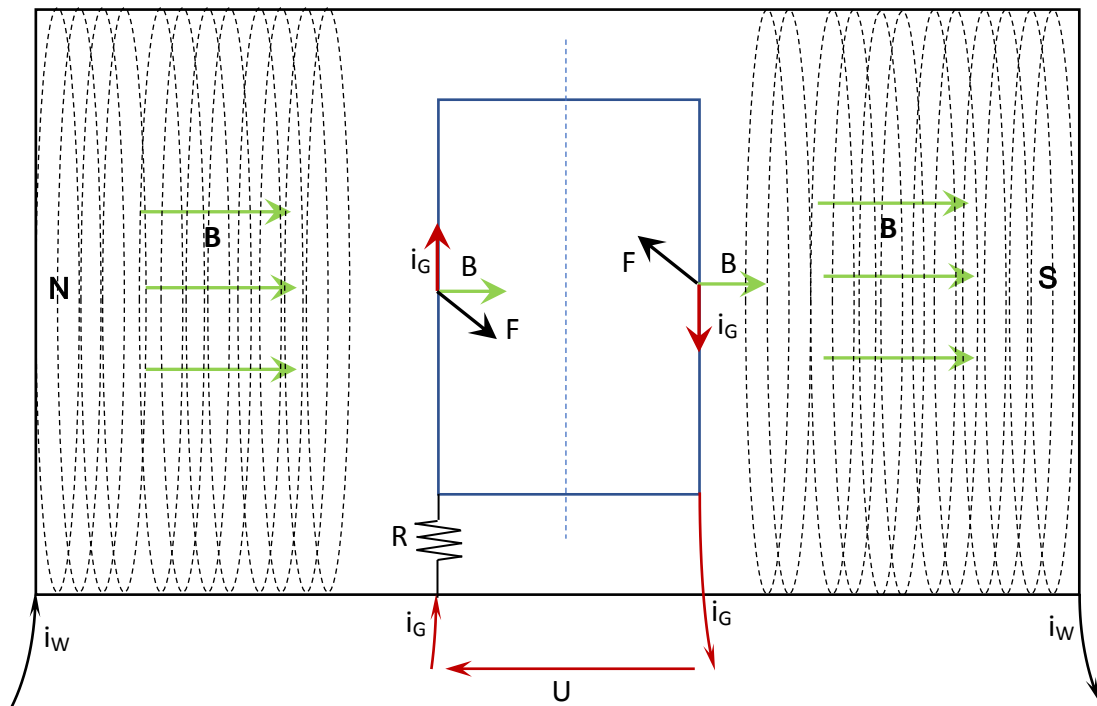
$$k\theta = \Phi \frac{\beta}{R_{eq}} V_{AB} \Rightarrow \sigma_V = \frac{\theta}{V_{AB}} = \frac{\beta}{R_{eq}} \frac{\Phi}{k} = \frac{\beta}{R_{eq}} \sigma_G \quad (42.3)$$

4.1.3 جهاز Wattmeter لقياس الاستطاعة الكهربائية

تمت تسمية الجهاز تكريماً للعالم الفيزيائي البريطاني James Watt (1736 – 1819) الشهير بأعماله في مجال المحركات البخارية حيث كان أول من قام باستعمال مصطلح وحدة الحصان البخاري لحساب الاستطاعة.

1.4.1.3 التركيبة الداخلية للجهاز

إن مبدأ عمل جهاز القياس Wattmeter يختلف قليلاً على مبدأ عمل أجهزة القياس السابقة، حيث أن الإطار المتحرك يكون في هذه الحالة مغمور في حقل مغناطيسي لمغناطيسي غير دائم ناتج عن لف سلك معدني في الجزء الثابت كما هو موضح في الشكل 6.3.



. الشكل 6.3. الشكل الداخلي لجهاز Wattmeter

من خلال الشكل السابق، نلاحظ أن التركيبة الداخلية لجهاز القياس Wattmeter تتكون من جزء متحرك يمرّ عبره التيار الكهربائي i_w وجزء ثابت يمرّ عبره التيار الكهربائي i_g . الجزء المتحرك له نفس خصائص الإطار المتحرك الخاص بجهاز القياس Galvanometer حيث تمت إضافة مقاومة R على التسلسل قصد الحصول على فرق الكمون U بين طرفي الإطار. من جهة أخرى، فإنّ لفات التيار i_g في الجزء الثابت من الجهاز تسمح بتوّلّد مجال مغناطيسي B مؤقت، والذي يقوم بدوره بتوليد عزم دوران محرك للإطار نظراً لوجود التيار i_g في الجزء المتحرك.

2.4.1.3 معادلة حركة الإطار

بالنظر إلى أنّ البنية الداخلية لجهاز القياس Wattmeter تعتمد هي كذلك على الإطار المتحرك لجهاز القياس Galvanometer، وعليه

$$J\ddot{\theta} + \left(h + \frac{\Phi^2}{R + r_g} \right) \dot{\theta} + k\theta = \Phi i_g = N S B i_g \quad (43.3)$$

حيث يتم التعبير على المجال المغناطيسي B بدالة التيار الكهربائي i_g على النحو التالي

$$B = \mu_0 \frac{N'}{L} i_w \quad (44.3)$$

مع μ_0 ثابت المغناطيسة، N' عدد لفات الجزء الثابت و L طول الناقل المستعمل في الجزء الثابت. بتعويض العبارة (44.3) في العبارة العامة لحركة الإطار (43.3)، ومنه نجد أنّ

$$J\ddot{\theta} + \left(h + \frac{\Phi^2}{R + r_g} \right) \dot{\theta} + k\theta = \Phi i_g = N S B i_g = N S \mu_0 \frac{N'}{L} i_w i_g \quad (45.3)$$

من جهة أخرى، لدينا العلاقة بين فرق الكمون U والتيار i_G كما يلي

$$U = (r_G + R)i_G \Rightarrow i_G = \frac{U}{r_G + R} \quad (46.3)$$

بتعويض العبارة (46.3) في المعادلة (45.3)، تحصل على المعادلة التالية

$$J\ddot{\theta} + \left(h + \frac{\Phi^2}{R + r_G} \right) \dot{\theta} + k\theta = \frac{\mu_0 SNN'}{L} i_W i_G = \frac{\mu_0 SNN'}{L} i_W \frac{U}{r_G + R} \quad (47.3)$$

من خلال العبارة الأخيرة، نلاحظ ظهور الجداء $i_W U$ والذي يُعبر عن الاستطاعة الكهربائية P . ومنه، فإنّ معادلة حركة إطار جهاز القياس Wattmeter مُعطاة على النحو التالي

$$J\ddot{\theta} + \left(h + \frac{\Phi^2}{R + r_G} \right) \dot{\theta} + k\theta = \gamma P \quad (48.3)$$

حيث أنّ الثابت $\gamma = \frac{\mu_0 SNN'}{L(r_G + R)}$ و P الاستطاعة الكهربائية. ومنه نستنتج حساسية الجهاز كما يلي

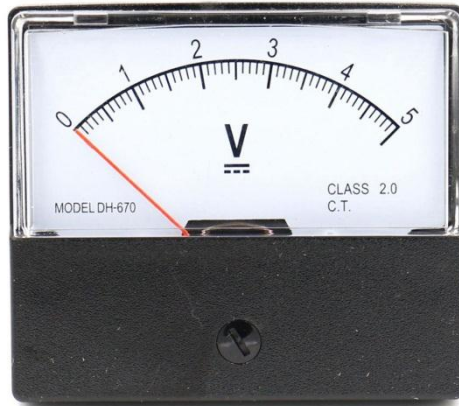
$$k\theta = \gamma P \Rightarrow \sigma_P = \frac{\theta}{P} = \frac{\gamma}{k} = \frac{\gamma}{\Phi} \sigma_G \quad (49.3)$$

5.1.3 أمثلة لأجهزة القياس الكهربائية التماثلية الأساسية

فيما يلي نستعرض مثالين بسيطين لأجهزة القياس الكهربائية التماثلية، بالأخص جهاز القياس Voltmetre لشركة Baomain و جهاز القياس Wattmeter Inter Holding.

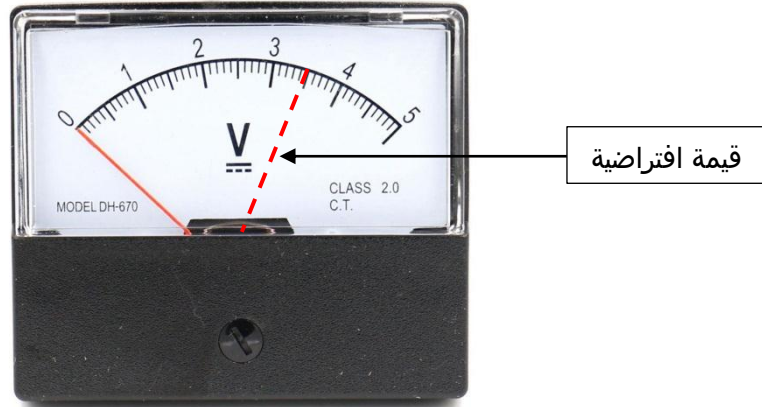
ملاحظة: بعض أجهزة القياس الكهرومغناطيسية تسمح باستنتاج القيمة النهائية مباشرة من خلال جهاز القياس دون اللجوء إلى استعمال العبارة (27.3).

مثال 1: جهاز القياس Voltmeter لشركة Baomain في الشكل أدناه يسمح بقراءة القيمة النهائية لفرق الكمون المستمر في حدود (0 - 5V) مباشرةً من جهاز القياس.



الشكل 7.3. جهاز القياس Voltmeter لشركة Baomain نوع DH-670.

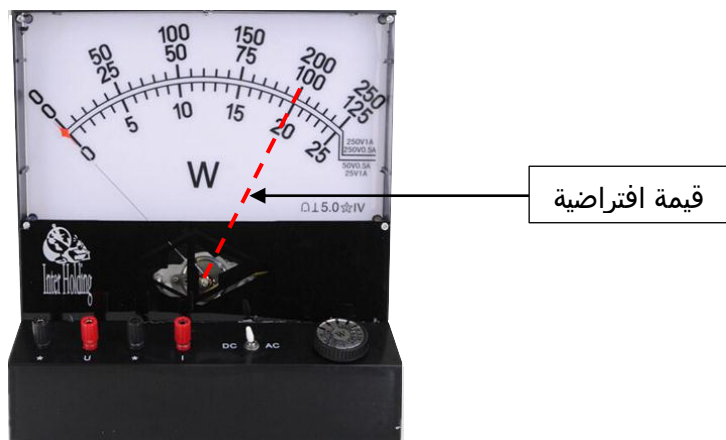
بفرض أنّ جهاز القياس Voltmeter السابق موصول في دارة كهربائية بين نقطتين A و B حيث أنّ مؤشر الجهاز يتوقف عند القيمة النهائية كما في الشكل 8.3 أدناه.



الشكل 8.3. قراءة فرق الكمون باستعمال جهاز القياس Voltmeter .

في هذه الحالة نستنتج مباشرةً فرق الكمون بين طرفي النقطتين A و B هو $V_{AB} = 3.5V$

مثال 2: الشكل 9.3 يوضح جهاز القياس Wattmeter لشركة Inter Holding والذى يتكون أساساً من دارة داخلية لتوسيط التيار الكهربائي، دارة داخلية لتوصيل فرق الكمون، قفل اختيار نوعية التيار (مستمر DC أو متباوب AC) ومُعَدّلة لاختيار إحدى المعايير الأربع التالية: (معيار 250V1A سُلم 250)؛ (معيار 250V0.5A سُلم 125) و (المعايير 50V0.5A و 25V1A سُلم 25). يسمح جهاز القياس بقراءة الاستطاعة الكهربائية في حدود (250W-0).



الشكل 9.3. جهاز القياس Wattmeter لشركة Inter Holding

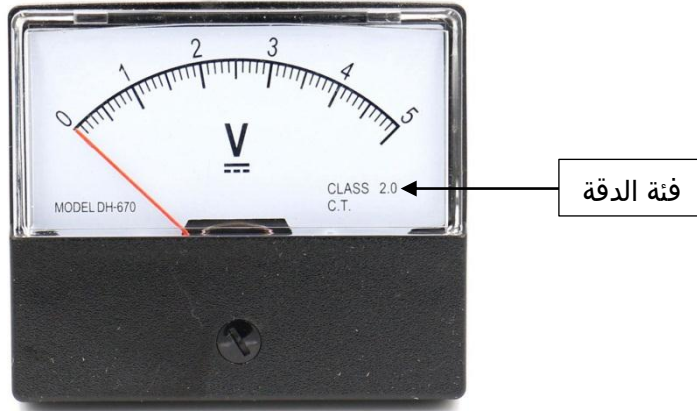
بفرض أنّ جهاز القياس موصول في دارة كهربائية ذات تيار مستمر حيث أنّ مؤشر جهاز القياس يتوقف عند القيمة النهائية كما هو موضح في الشكل السابق من أجل المعيار 250V0.5A. في هذه الحالة نستخرج الاستطاعة الكهربائية باستعمال الصيغة (27.3) كما يلي:

$$P = \frac{100 \times 250 \times 0.5}{125} = 100W \quad (50.3)$$

6.1.3 الخطأ النسبي لأجهزة القياس الكهرومغناطيسية التماثلية

تم تعليم فئة الدقة في الأجهزة القياس الكهرومغناطيسية التماثلية بالكلمة CLASS ويجوارها رقم يُمثل النسبة المئوية للخطأ النسبي المتأصل في جهاز القياس.

مثال: بالنسبة لجهاز القياس Voltmeter Baomain السابق، من الواضح أن فئة الدقة هي 2.0 كما هو مُعطى في الشكل 10.3.



الشكل 10.3. فئة الدقة للخطأ المتأصل لجهاز القياس Voltmeter.

وعليه، من أجل قراءة كاملة 5V على السُّلم فإنّ مقدار الخطأ هو

$$\frac{\Delta V}{V} = 2\% \Rightarrow \Delta V = V \times 2\% = 5 \times 0.02 = 0.1V \quad (51.3)$$

هذا يعني أنّ قيمة الخطأ النسبي هي 0.1V من أجل قراءة كاملة 5V على السُّلم. ومن أجل القراءة 3.5V في المثال 1 السابق فإنّ مقدار الخطأ هو

$$\frac{\Delta V}{V} = 2\% \Rightarrow \Delta V = V \times 2\% = 3.5 \times 0.02 = 0.07V \quad (52.3)$$

وهكذا.

7.1.3 التعديلات الداخلية على جهاز القياس Galvanometer لقياس الإشارات في دارة AC نعلم أنّ مبدأ عمل أجهزة القياس الكهرومغناطيسية التماثلية تعتمد على حركة إطار جهاز القياس Galvanometer بدلالة التيار، ومن ثمّ يتم استنتاج جهاز القياس من أجل كل وحدة أساسية المُراد قياسها بإدخال التعديلات الملائمة في كل مرة. لكن وكما تم التنبيه إليه سابقًا، فإنّ استخدام جهاز القياس Galvanometer يقتصر فقط على دارة التيار الكهربائي المستمر DC حيث أنّ حركة الإطار تتعلق أساساً بصيغة التيار i المتدايق إلى الإطار. وعليه، فإنّ أجهزة القياس الكهرومغناطيسية التماثلية المُشتقّة من جهاز القياس Galvanometer لن تعمل بشكل صحيح إذا كانت متصلة مباشرة بالتيار المتناوب AC لأنّ اتجاه حركة الإبرة سيتغير مع كل نصف دورة من التيار المتناوب.

وعلى هذا الأساس، يتم إدخال تعديلات في تركيبة أجهزة القياس حتى يتسمى للجهاز قياس **القيمة الفعالة** لإشارة الجهد (التيار) في دارة AC. وبما أنّ أجهزة القياس المُخصصة للدارة AC تعتمد من حيث مبدأ العمل على تقنية قياس متوسط القيمة الفعالة (Average RMS) وكذلك تقنية قياس

القيمة الصحيحة للقيمة الفعالة (True RMS)، فإنّ أجهزة القياس تختلف من حيث التصميم الداخلي لكل حالة.

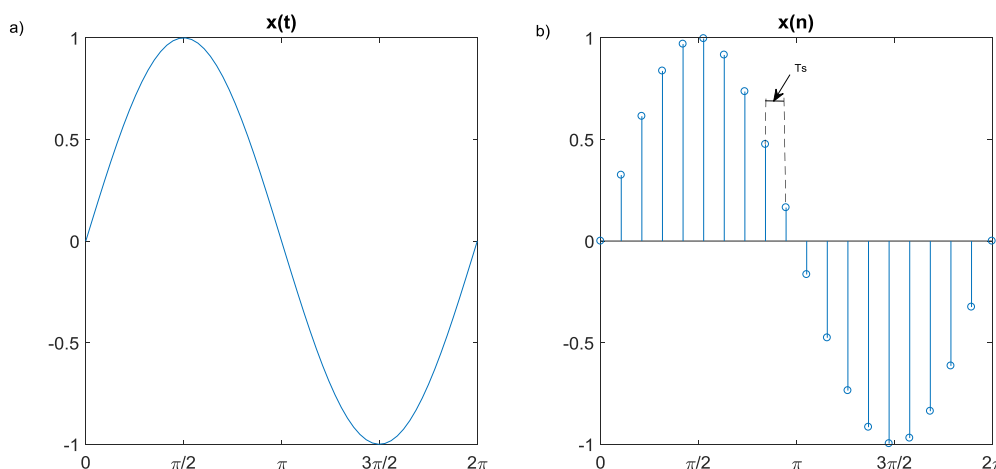
بالرجوع إلى الفصل الثاني الفقرة 1.5.2.ب، فإنّ البنية العامة لأجهزة القياس في دارة AC التي تعتمد على تقنية Average RMS تسمح بقياس القيمة الفعالة لإشارة الجهد (التيار) الخاضعة لتقسيم مكتمل التعديل بدلالة القيمة المتوسطة جداء عامل شكل الموجة الجيبية بدلًا من عامل شكل الموجة الفعلية. من جهة أخرى، فإنّ التركيبة الداخلية لأجهزة القياس التي تعتمد على تقنية True RMS تكون أكثر تعقيدًا بالمقارنة مع التركيبة الداخلية لأجهزة القياس في دارة AC التي تعتمد على تقنية Average RMS. يمثل أحد الحلول في استخدام مزدوجة حرارية ومقاومة حيث يتم تركيب الدارة بالاعتماد على خاصية مفعول جول. وعليه، فإنّ ارتفاع درجة حرارة المقاومة تؤدي إلى توازن حراري يسمح باستنتاج قيمة جذر متوسط التربيع الحقيقي للجهد المطبق على المقاومة.

2.3 أجهزة القياس الرقمية

أضحت أجهزة القياس في العصر الحديث تعتمد على مبدأ الرقمنة أكثر من أي وقت مضى وذلك لأنّ الإشارات الرقمية ملائمة جدًا لمعالجة الإشارات (المعلومات). ومع ذلك، فإنّ معظم الطواهير الفيزيائية هي تماضية في حد ذاتها حيث أنّ المستشعرات تقيس الكميات التماضية. لهذا السبب، غالباً ما تتحقق معالجة الإشارات الرقمية بالاتساع التالي: تحويل الإشارة التماضية إلى نموذج رقمي \leftarrow معالجة الإشارات الرقمية \leftarrow تحويل الإشارة الرقمية مرة أخرى إلى الإشارة التماضية. يتم تحقيق التحويل بواسطة المحولات التماضية-الرقمية ADC بينما تتحقق العملية العكسية بواسطة المحولات الرقمية-التماضية DAC.

1.2.3 المحولات التماضية-الرقمية (ADC)

بصفة عامة، يتم تحديد قيمة الإشارات التماضية في كل لحظة زمنية بينما يتم تحديد قيمة الإشارات الرقمية في لحظات محددة. وعليه، يتم تحويل الإشارة التماضية $x(t)$ إلى الإشارة الرقمية $x[n]$ وذلك بفرض زمن لحظي T_s محدد يتم من خلاله جمع عينات من الإشارة التماضية. عادةً ما يتم تسمية الزمن الحظي T_s باسم فترة أخذ العينات. الشكل 11.3 يوضح مبدأ تحويل الإشارة التماضية إلى الإشارة الرقمية بفرض أنّ الدالة من الشكل الموجي الجيبى.



الشكل 11.3. تحويل الموجة الجيبية من الإشارة التماضية إلى الإشارة الرقمية.

كما يمكن استنتاج تردد الموافق على النحو التالي $f_s = 1/T_s$ حيث يكون بدلالة وحدة Hz (الهرتز) أو SPS (عينة في الثانية). تسمى عملية تحديد القيمة الرقمية للعينات بمصطلح **تكميم الإشارات**. من جهة أخرى، فإن عملية أخذ العينات عبارة عن **رقمنة لزمن الإشارة** في حين أن عملية التكميم تمثل **رقمنة قيمة الإشارة**.

على سبيل المثال ، إذا تم أخذ عينات لإشارة جيبية ذات تردد $f = 50\text{Hz}$ قصد الحصول على إشارة رقمية ممثلة بـ 64 عينة لكل فترة الإشارة، في هذه الحالة يجب أن يكون تردد أخذ العينات $f_s = 50 \times 64 = 3200\text{Hz}$ ، والذي يُواافقه زمن $T_s = 1/3200 = 312.5\mu\text{s}$. وبالتالي فإن $n = 50$ يتوافق مع زمن رقمنة $16.625\text{ms} = 50 \times 312.5\mu\text{s}$.

يتم وصف الإشارة الجيبية التناضيرية ذات تردد f_a من خلال العبارة التالية

$$x(t) = X_m \sin(2\pi f_a t) \quad (53.3)$$

بعد أخذ العينات بفرض زمن لحظي T_s ، يتم وصف نفس الإشارة بالمعادلة التالية

$$x[n] = X_m \sin(2\pi f_a n T_s) \quad (54.3)$$

وبما أن قيمة الدالة الجيبية تتطابق عند كل دور 2π ، أي أن $\sin\varphi = \sin(\varphi \pm 2\pi k)$ ، ومنه يمكن إعادة صياغة العبارة السابقة على النحو التالي

$$x[n] = X_m \sin(2\pi f_a n T_s) = X_m \sin(2\pi f_a n T_s \pm 2\pi k) \quad (55.3)$$

بفرض أن $n = k/m$ ، وبما أن $T_s = 1/f_a$ ، ومنه تتحصل على

$$x[n] = X_m \sin\left[2\pi\left(f_a \pm \frac{k}{m}f_a\right)n T_s\right] = X_m \sin\left[2\pi(f_a \pm mf_a)n T_s\right] \quad (56.3)$$

بمقارنة المعادلتين (55.3) و (56.3) نلاحظ أنه عند رقمنة الإشارة الجيبية ذات التردد f_a تظهر إشارة جيبية ذات تردد $f_a \pm mf_a$.

تنويه: حسب نظرية Shannon يجب أن يكون تردد أخذ العينات f_s أكبر مرتين على الأقل من تردد الإشارة f_a ، أي أن $f_s \geq 2f_a$ وذلك لتجنب تداخل الترددات.

2.2.3 أجهزة القياس الكهربائي الرقمية

فيما يلي نستعرض مبدأ عمل أجهزة القياس الكهربائي التي تعتمد على مبدأ الرقمنة. من هذا المنطلق، سيتم التطرق إلى التركيبة الداخلية وأهم خصائص الوظيفية لهذا النوع من الأجهزة مع العلم أننا لا نعني أجهزة القياس التي يتم فيها استبدال المؤشر (الإبرة) بالشاشة الرقمية ولكن الأجهزة التي يتم من خلالها تنفيذ معظم عمليات معالجة الإشارات رقمياً.

1.2.2.3 أجهزة القياس الرقمية المتعددة الوظائف Multimeter

يتم تعريف أجهزة القياس الرقمية المتعددة الوظائف أو متعددة الفحوصات على أنها أجهزة قياس كهربائية رقمية تقوم بقياس الوحدات الكهربائية الأساسية بما فيها فرق الكمون، التيار الكهربائي وكذا المقاومة ، تُعرف أيضاً باسم VOM وقى تعبير مختصر للوحدات (Volt – Ohm – Milliammeter).

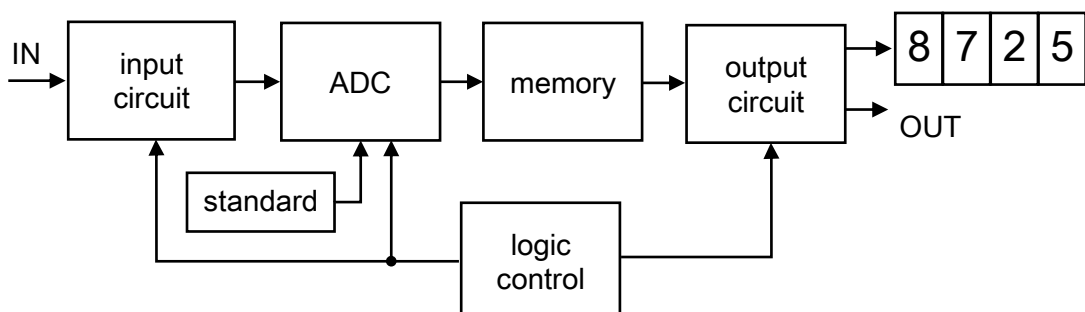
من الناحية العملية، لقد حلّت أجهزة القياس الرقمية محل الأجهزة التماثلية في الكثير من التطبيقات الكهربائية والالكترونية حيث تتوفر أجهزة القياس المتعددة الوظائف بكثرة وبأسعار تنافسية بالمقارنة مع أجهزة القياس التماثلية ولكن مع أداء أفضل بكثير. توفر أجهزة القياس المتعددة الوظائف في مجموعة واسعة من الميزات والأسعار حيث أن تكلفة أجهزة القياس المتعددة الوظائف تتراوح بين 1000 د.ج. إلى 7000 د.ج بالنسبة لأغلب النماذج العملية بينما تخطى 1.000.000 د.ج بالنسبة للنماذج المختبرية ذات المعايرة المعتمدة.

غالباً ما تحتوي أجهزة القياس الرقمية المتعددة على شاشة عرض رقمية ، وقد تعرض أيضا شريط رسوم لتمثيل القيمة المقاسة . الشكل التالي يوضح مثالين لأجهزة القياس الكهربائية الرقمية.



الشكل 12.3. أمثلة لأجهزة القياس الكهربائية الرقمية. (أ) جهاز قياس يعتمد على شاشة عرض رقمية. (ب) جهاز قياس يعتمد على شاشة عرض رقمية مع تمثيل المحننات (يُسمى أحياناً ScopeMeters).

الشكل 13.3 يوضح التركيبة الداخلية لأجهزة القياس الرقمية حيث أنّ الشكل العام يتكون من دارة الدخول (input circuit)، محول تماثلي-رقمي (ADC)، دارة المراقبة المنطقية (logic control)، ذاكرة (memory)، دارة الخروج (output circuits)، و كذا شاشة عرض رقمية.



الشكل 13.3. التركيبة الداخلية لأجهزة القياس الكهربائية الرقمية.

فيما يلي نستعرض دور كل جزء من أجزاء الجهاز على حدي:

- **دارة الدخول (input circuit)** : تحتوي دارة الدخول على ثلاثة أجزاء وذلك لقياس الجهد، التيار، والمقاومة بدلالة معايير مختلفة. تحتوي كذلك هذه الدارة على محولات التيار المتردد إلى التيار المستمر بالاعتماد على تقنية قياس متوسط القيمة الفعالة (Average RMS) أو تقنية قياس القيمة الصحيحة للقيمة الفعالة (True RMS).

الشكل الموضح يوضح مثلاً لنوعي أجهزة القياس المستعملة لقياس الجهد (التيار) في دارة AC بالاعتماد على تقنية Average RMS وعلى تقنية True RMS لشركة Fluke.



الشكل 14.3. أجهزة القياس المستعملة للقياس في دارة AC. جهاز قياس Fluke 83 بالاعتماد على تقنية Average RMS. جهاز قياس Fluke 117 بالاعتماد على تقنية True RMS.

كما يمكن أن تحتوي دارة الدخول على أجزاء إضافية لقياس سعة المكثفة ، الوشيعة، الترددات، وغيرها من الوحدات الكهربائية.

- **محول تماثلي-رقمي (ADC)** : كما تم التطرق إليه سابقا، يقوم المحول تماثلي-رقمي برقمنة الإشارة وذلك بأخذ عينات للإشارة التماضية.
- **دارة المُراقبة المنطقية (logic control)** : تتحكم دارة المُراقبة المنطقية في جميع وظائف الجهاز بما فيها التغيير التلقائي لمعايير دارة الإدخال ، إطلاق دورة القياس ، التحكم في المحول تماثلي-رقمي ، حفظ البيانات في الذاكرة ، وما إلى ذلك.
- **ذاكرة (memory)** : يسمح هذا الجزء من الجهاز بحفظ بيانات القياس والتي يمكن نقلها إلى الأجهزة الخارجية بما في ذلك الحاسوب باستعمال وسائل التواصل.
- **دارة الخرج (output circuit)** : تسمح هذه الدارة بإعداد القيمة الرقمية للإشارة من أجل العرض في الشاشة وكذا إرسالها عبر وسائل التواصل مع الأجهزة الخارجية.

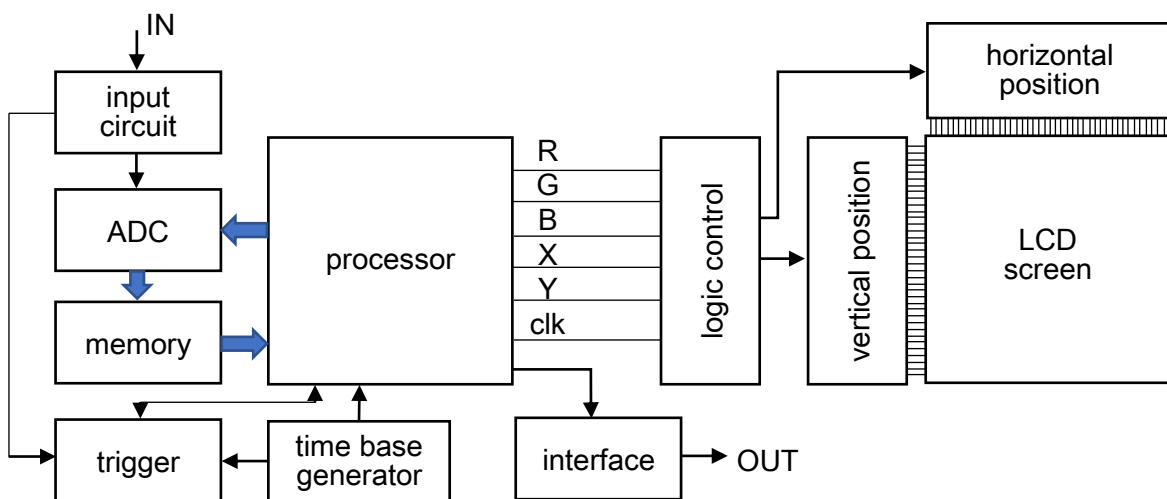
بصفة عامة، توجد حالياً أنواع مختلفة من أجهزة القياس الرقمية المتعددة الوظائف. نستعرض في الجدول 1.3 مقارنة بين الأداء النموذجي لأجهزة القياس الرقمية المتعددة الوظائف الأكثر شيوعاً بما فيها جهاز Fluke 110 ، جهاز Agilent HP34401 وجهاز Keithley 2002.

الجدول 1.3. الأداء النموذجي لبعض أجهزة القياس الرقمية المتعددة الوظائف (المراجع 1 ص 316).

Type	portable	lab instrument	Precise
Model	110	34401A	2002
Manufacturer	Fluke	Agilent	Keithley
Number of digits	3½ (6000)	6½ digits	7½ or 8½ digits
Measure	U, I, R, C, f	U, I, R, f	U, I, R, f, T
DC uncertainty	0.7%	0.0035+0.0005%	0.0006+0.00008%
Rin in DC voltage	10 MΩ	>10 GΩ	>10 GΩ
200mV measurement			
AC uncertainty	1%	0.06+0.03%	0.02+0.01%
Bandwidth	50 – 500 Hz	10 Hz – 300 kHz	1 Hz – 2 MHz
Speed of readings	40/s	1000/s DC, 50/s AC	2000/s 4½ digits
Memory	-	512 readings	30 000 readings
Interface	-	RS232C , HPiB	GPIB

2.2.2.3 جهاز Oscilloscope الرقمي لرسم الاهتزازات

يعرض الشكل 15.3 المخطط النموذجي لجهاز Oscilloscope الرقمي. يمكننا أن نلاحظ في هذا المخطط وظائف مماثلة كما هي موجودة في الأجهزة التماضية على الرغم من وجود اختلافات كبيرة في مبدأ تشغيل كل منها. الاختلاف الرئيسي بين أجهزة رسم الاهتزازات الرقمية وأجهزة رسم الاهتزازات التماضية يكمن في كيفية معالجة الإشارة حيث يتم رقمنة جميع عمليات معالجة الإشارة في جهاز Oscilloscope الرقمي. بالإضافة إلى ذلك، يقوم الجهاز بحفظ البيانات وكذا استنساخ الإشارات.



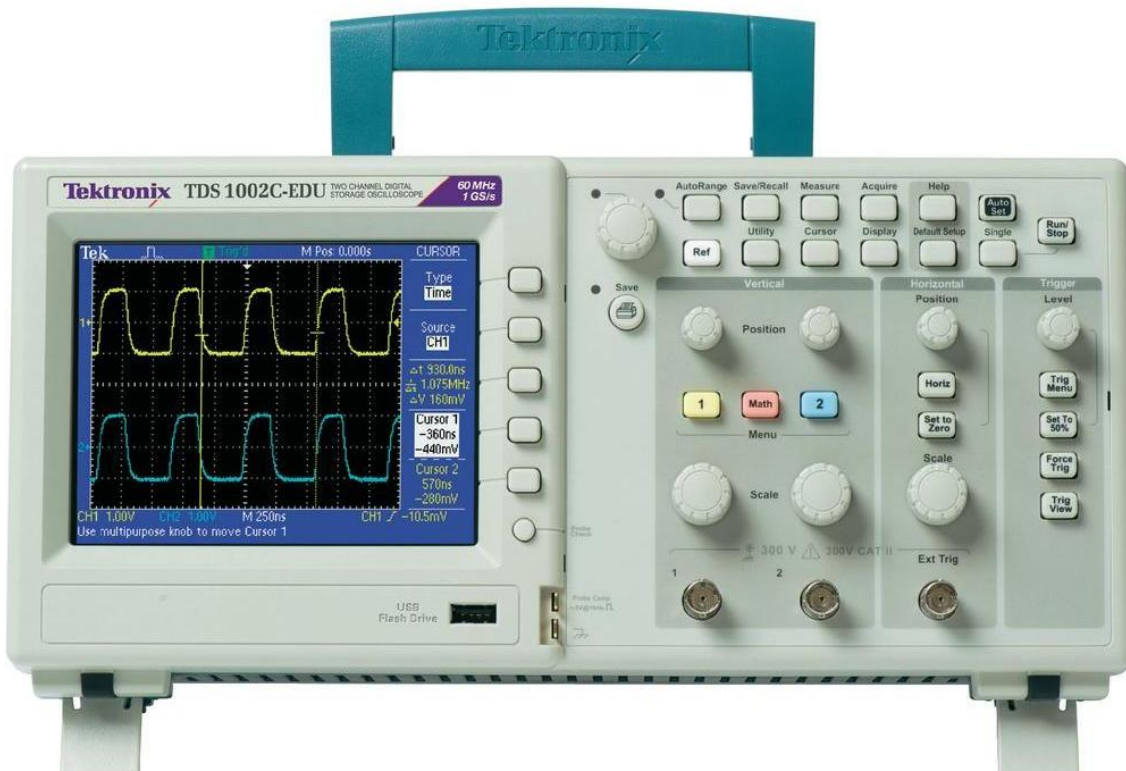
الشكل 15.3. المخطط النموذجي لجهاز راسم الذهبات الرقمي.

من خلال الشكل نلاحظ أن التركيبة الداخلية لجهاز رسم الاهتزازات الرقمي تتكون من نفس أجزاء التركيبة الداخلية لأجهزة القياس الرقمية المتعددة الوظائف بما فيها دارة الدخول (input circuit)، محول تماضي-رقمي (ADC)، دارة المراقبة المنطقية (logic control)، ذاكرة (memory)، دارة الخروج (interface)، وكذا شاشة عرض رقمية عالية الدقة. بالإضافة إلى ما سبق ذكره من أجزاء

داخلية، فإنّ جهاز رسم الاهتزازات الرقمي يحتوي على الأجزاء التالية:

- **المُعالج (processor)** : يقوم المُعالج بإجراء جميع عمليات معالجة الإشارة الرقمية بما فيها قياس قيمة الإشارة وتوترها، قياس متوسط الإشارة، قياس تكامل الإشارة ، تحليل FFT وغيرها من عمليات معالجة الإشارة. وبما أنّ أغلب أجهزة رسم الاهتزازات الرقمية الحديثة تسمح برسم الموجات بألوان مختلفة، وعليه فإنّ دارة المُراقبة المنطقية تقوم بإرسال ناتج المعالجة الرقمية بدلالة مخرج القياس X و Y إلى شاشة العرض من خلال الألوان R، G، و B.
- **الزناد (trigger)**: دارة ثنائية الثبات يزداد فيها جُهد الخروج إلى حد أقصى ثابت عندما يرتفع جُهد الدخول فوق عتبة معينة ، وينخفض تقربياً إلى الصفر عندما ينخفض جُهد الدخول عن عتبة أخرى.
- **دارة قاعدة الزمن (time base generator)** : وهي عبارة عن دارة إلكترونية تُولّد جُهداً متغيراً لإنتاج شكل موجة معين خاصاً منها موجات سن المنشار عالية التردد.

الشكل 16.3 يوضح جهاز رسم الاهتزازات الرقمي لشركة Tektronix .



الشكل 16.3. يوضح جهاز رسم الاهتزازات الرقمي . Tektronix TDS 1002C-EDU

الفصل الرابع. طُرُق القياس الكهربائي

مقدمة

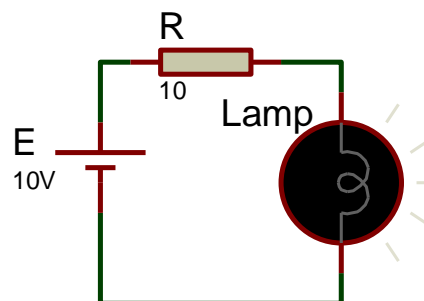
في هذا الفصل ستتطرق إلى نتائج القياسات لأهم الوحدات الكهربائية. ومن هذا المُنطلق، سندرس نتائج طُرُق القياس المُباشرة من أجل كل وحدة أساسية باستعمال جهاز القياس المُوافق وكذلك نتائج طُرُق القياس الغير مُباشرة إن وُجِدت بالطبع وتقدير مدى الخطأ المُترتب على عملية القياس.

1.4 قياس فرق الكمون في الدّارة الكهربائية

1.1.4 قياس فرق الكمون في الدّارة DC

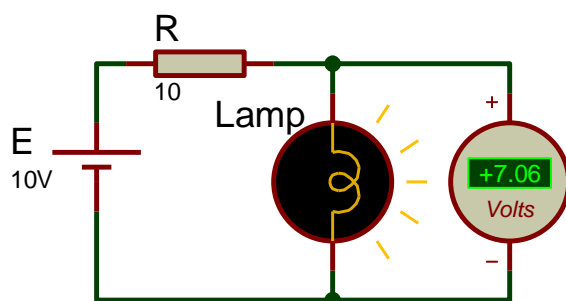
بصفة عامة، يتم قياس فرق الكمون وذلك بتوصيل جهاز القياس Voltmeter على التوازي مع بقية أطراف الدارة. يرجع السبب في توصيل الجهاز على التوازي مع بقية أطراف الدارة إلى أنّ جهاز Voltmeter يقيس فرق الكمون بين نقطتين ذات شُحنتين مختلفتين، لذا وجب توصيل نهايتيه بال نقطتين اللتين يُراد قياس فرق الكمون بين طرفيهما. هذا يعني أنّه يجب وضعه خارج الدّارة (أو الفرع)؛ وبالتالي يتم توصيله على التوازي.

مثال 1: استنتاج مقاومة المصباح في الدّارة DC التالية



الشكل 1.4. دارة DC بدلالة مقاومة ومصباح.

الحل: باستعمال جهاز القياس Voltmeter، تحصل على نتيجة القياس التالية

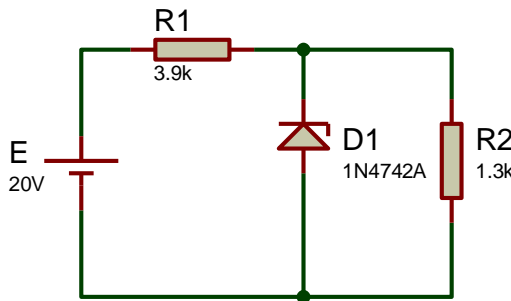


الشكل 2.4. نتيجة القياس باستعمال جهاز القياس Voltmeter في برنامج المحاكاة.

من خلال قانون تقسيم الجهد، نستنتج قيمة مقاومة المصباح كما يلي

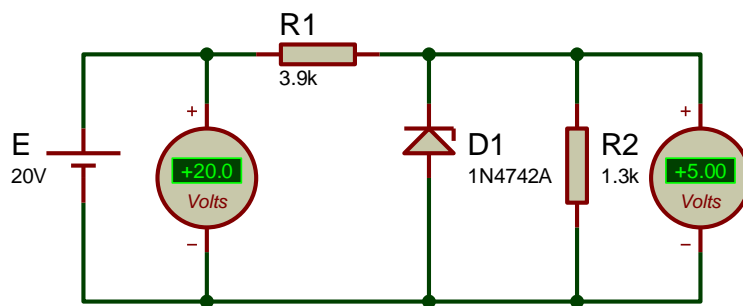
$$V_{\text{Lamp}} = \frac{R_{\text{Lamp}}}{R_{\text{Lamp}} + R} \cdot E \Rightarrow R_{\text{Lamp}} = \frac{V_{\text{Lamp}}}{E - V_{\text{Lamp}}} \cdot R = \frac{7.06}{10 - 7.06} \cdot 10 = 24.013\Omega \quad (1.4)$$

مثال 2: قياس فرق الکمون بين طرفي المقاومة R2 في الدارة DC التالية



الشكل 3.4. دارة DC بدلالة مقاومتين و صمام ثائي نوع Zener.

الحل: باستعمال جهاز قياس Voltmeter نستنتج القياس التالي



الشكل 4.4. نتيجة القياس باستعمال جهاز القياس Voltmeter في برنامج المحاكاة.

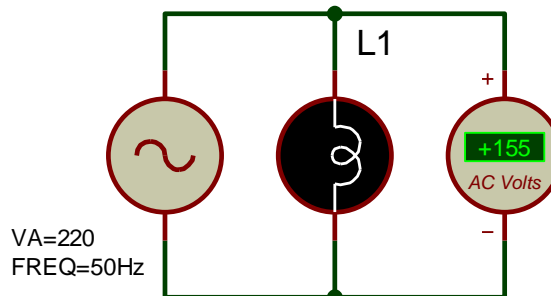
2.1.4 قياس فرق الکمون في الدارة AC

من خلال الفصل الأول، نعلم أنّ القيمة الفعالة V_{RMS} هي التي تمثل القيمة الحقيقية المُطبقة بين طرفي الحمولة في دارة AC. وعليه، سيتم التعبير عن نتيجة القياسات بدلالة الرمز V_{RMS} .

مثال: قياس فرق الکمون بين طرفي المصباح في الدارة AC في الدارة التالية

$$V(t) = 220 \sin 100\pi t \quad (2.4)$$

الحل: باستعمال جهاز القياس Voltmeter، تحصل على نتيجة القياس في برنامج المحاكاة التالية



الشكل 5.4. دارة DC بدلالة مقاومة ومصباح.

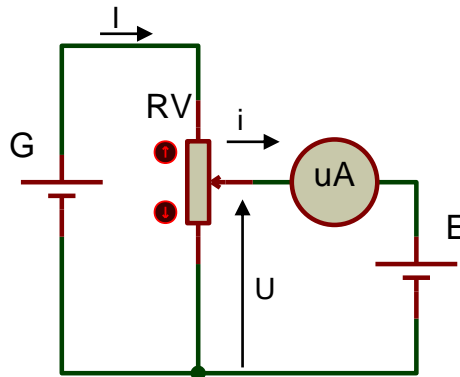
من خلال الجدول 1.1 في الفصل الأول، يمكن التأكد من صحة القياس كما يلي

$$V_{RMS} = V_m / \sqrt{2} = 220 / 1.414 = 155V \quad (3.4)$$

3.1.4 قياس غير مباشر لفرق الكمون باستخدام طريقة التقابل في هذه الحالة، يتم استبدال الكمية المُراد قياسها بآخر معيارية حيث يمكن استنتاج هذه الكمية عند تساوي مؤشر جهاز القياس في كلتا الحالتين.

مثال: تحديد قيمة الجُهد بين طرفي مصدر E باستخدام طريقة التقابل.

الحل: يتم توصيل مصدر الجُهد E في دارة كما هو موضح في الشكل التالي



الشكل 5.4. دارة قياس الجُهد بين طرفي المصدر E .

حيث أنّ G عبارة عن مصدر جُهد، R_V عبارة عن مقاومة متغيرة، و uA عبارة عن جهاز قياس التيار الضعيف. وعليه، يتم تغيير قيمة المقاومة المتغيرة R_V حتى ينعدم التيار i (حالة التوازن). أي أنّ

$$E = U = R'I = \frac{R'}{R_V} G \quad (4.4)$$

حيث أنّ R' عبارة عن جزء معلوم القيمة من المقاومة المتغيرة R_V . يتم استبدال المصدر E بمصدر آخر معياري ذو قيمة معلومة E_0 . وعليه، يتم تغيير قيمة المقاومة المتغيرة R_V من جديد حتى ينعدم التيار i حيث تتحصل على العبارة التالية

$$E_0 = U = R''I = \frac{R''}{R_V} G \quad (5.4)$$

مع " R'' جزء معلوم القيمة هو كذلك من المقاومة المتغيرة R_V . من خلال العبارتين السابقتين، نستنتج مُباشرةً قيمة مصدر جُهد E على النحو التالي:

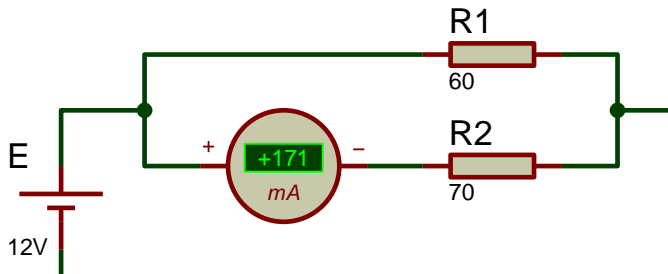
$$\frac{E}{R'} = \frac{E_0}{R''} \Rightarrow E = \frac{R'}{R''} E_0 \quad (6.4)$$

2.4 قياس شدة التيار في الدّارة الكهربائية 1.2.4 قياس شدة التيار في الدّارة DC

يتم قياس شدة التيار الكهربائي وذلك بتوصيل جهاز القياس Ammeter (Ampèrmètre) على التسلسل في الدّارة (الفرع)، حيث يرجع السبب في هذا النوع من التوصيل إلى أنّ جهاز القياس Ammeter يقوم بقياس الشحنات الكهربائية. وعليه، لذا وجب وضعه في مكان يمرّ فيه كل التيار الذي يُراد قياسه في الدّارة (الفرع).

مثال: قياس شدة التيار في فرع المقاومة DC للدارة R_2 تتكون من مقاومتين على التوازي $R_2 = 70\Omega$ و $R_1 = 60\Omega$.

الحل: باستعمال جهاز القياس Ammeter (وضع العيار على mA) تحصل على نتيجة القياس التالية



الشكل 6.4. نتيجة القياس.

يمكن التأكيد حسابياً من النتيجة، حيث أن

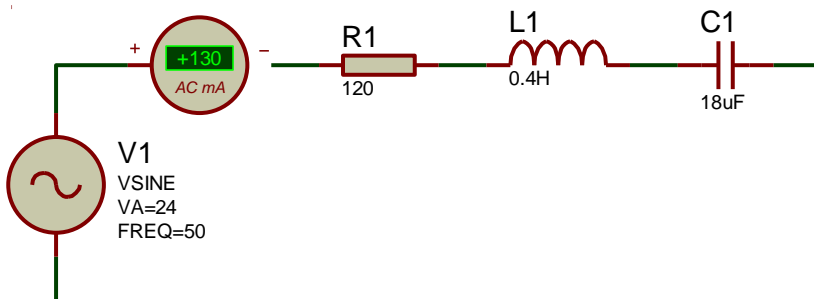
$$E = R_2 i_2 \Rightarrow i_2 = \frac{E}{R_2} = \frac{12}{70} = 0.171A \quad (7.4)$$

2.2.4 قياس شدة التيار في الدارة AC

يتم التعبير عن نتيجة القياسات بدلالة القيمة الفعالة I_{RMS} على نفس شاكلة فرق الكمون.

مثال: قياس شدة التيار في دارة RLC على التسلسل حيث $L = 0.6H$, $R = 10\Omega$, $V = 20\sin 100\pi t$, $C = 4\mu F$ و

الحل: عند توصيل جهاز القياس في الدارة، نجد النتيجة التالية



الشكل 7.4. نتيجة القياس.

يمكن التأكيد حسابياً من النتيجة كما يلي

$$E = |Z| \times I \Rightarrow I = \frac{E}{|Z|} = \frac{E}{\sqrt{R^2 + \left(L\omega - \frac{1}{C\omega}\right)^2}} \quad (8.4)$$

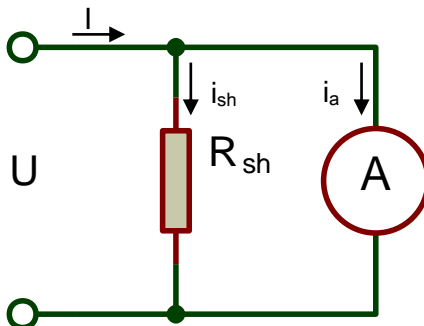
ويمـا أـن $I_{RMS} = I / \sqrt{2}$ ، وـمنه

$$I = \frac{24}{\sqrt{120^2 + \left(0.4 \times 100\pi - \frac{1}{18 \times 10^{-6} \times 100\pi}\right)^2}} = 0.183A \Rightarrow I_{RMS} = 0.130A \quad (9.4)$$

3.2.4 قياس غير مباشر لشدة التيار باستخدام طريقة shunt البسيطة

تم في الأصل تصميم جهاز القياس Ammeter لقياس شدة التيار المنخفض في حدود 1mA - 1A. وعليه، يجب إدخال بعض التعديلات على الدارة قصد قياس شدة التيار المرتفع وذلك بإضافة مقاومة على التوازي وذات قيمة صغيرة جدًا تُعرف باسم المقاومة shunt و يتم الترميز إليها (R_{sh}) حيث تسمح هذه المقاومة بتدفق الجزء الأكبر من التيار من خلالها دون أي تأثير على جهاز القياس.

الشكل التالي يوضح كيفية توصيل جهاز القياس Ammeter مع المقاومة R_{sh} في الدارة.



(ب)



(أ)

الشكل 8.4. قياس غير مباشر لشدة التيار في الدارة. (أ) المقاومة shunt . (ب) طريقة القياس.

من خلال الشكل السابق، لدينا

$$U = R_{sh} \times i_{sh} = r_a \times i_a \Rightarrow R_{sh} = \frac{r_a \times i_a}{i_{sh}} \quad (10.4)$$

و بما أن $i_{sh} = I - i_a$ ، ومنه

$$R_{sh} = \frac{r_a \times i_a}{I - i_a} = \frac{r_a}{\frac{I}{i_a} - 1} \quad (11.4)$$

مثال: تحديد قيمة المقاومة R_{sh} في دارة يمر فيها تيار قيمته 5A حيث تحتوي على جهاز قياس Ammeter يسمح بقياس أكبر قيمة للتيار $i_{max} = 1mA$ ولديه مقاومة داخلية $r_a = 500\Omega$.

الحل: من خلال العلاقة (11.4) السابقة، لدينا

$$R_{sh} = \frac{r_a}{\frac{I}{i_a} - 1} = \frac{500}{\frac{5}{10^{-3}} - 1} = 0.0010002\Omega \quad (12.4)$$

والتي هي في حدود $R_{sh} = 100.02m\Omega$

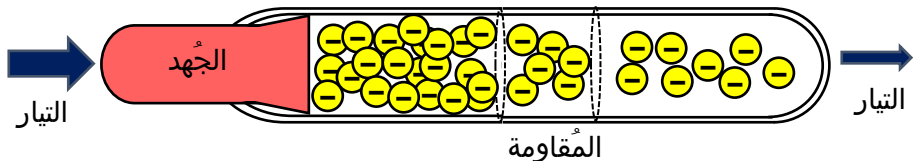
تنوية: غالباً ما يتم تصنيع هذا النوع من المقاومات من معادن ذات مواصفات عالية الدقة وذات قيم جد منخفضة حيث يمكن التعبير عنها بدلالة Ω/m في حالة قياس التيارات الجد مرتفعة (في حدود 100A فما فوق). من خلال دراسة تأثير درجة الحرارة على حركة التيار في مختلف المعادن، فإن كل من معدني Zeranin و Manganin يمثلان الخيار الأفضل في تصنيع هذا النوع من المقاومات.

3.4 قياس المقاومات

أ- تعريف المقاومة : يتم تعريف المقاومة الكهربائية على أنها درجة مُعارضة حركة التيار الكهربائي في الدارة حيث يتم التعبير عن العلاقة بين كلٌ من الجهد ، شدة التيار والمُقاومة من خلال قانون أوم.

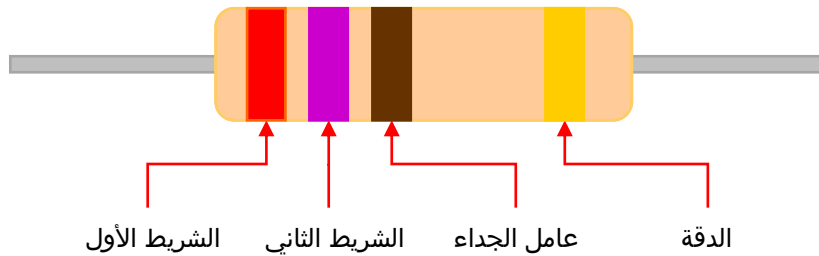
$$U = R \times I \quad (13.4)$$

الشكل التالي يُعطي فكرة عن دور المقاومة في الدارة الكهربائية.



الشكل 9.4. رسم توضيحي لوظيفة المقاومة في الدارة الكهربائية.

ب- قراءة ألوان المقاومة: هي عبارة عن حلقات ملونة تُطلّى بها المقاومة بغرض تعين القيمة الخاصة حيث تقرأ حلقات المقاومات من اليسار إلى اليمين كما هو موضح في الشكل والجدول أدناه.



الشكل 10.4. مخطط رمز لون المقاومة (مثال $R = 270\Omega$)

الجدول 1.4. مخطط رمز لون المقاومة.

الدقة	عامل الجداء	الشريط الثاني	الشريط الأول	اللون
-	10^0	0	0	أسود
-	10^1	1	1	بني
-	10^2	2	2	أحمر
-	10^3	3	3	برتقالي
-	10^4	4	4	أصفر
-	10^5	5	5	أخضر
-	10^6	6	6	أزرق
-	10^7	7	7	بنفسجي
-	10^8	8	8	رمادي
-	10^9	9	9	أبيض
$\pm 5\%$	0.1	-	-	ذهب
$\pm 10\%$	0.01	-	-	فضة
$\pm 20\%$	-	-	-	بدون لون

ن- أمثلة :



(ذهبی | أحمر | بنفسجي | أصفر) ومنه $R = 4700\Omega$



(ذهبی | أصفر | أزرق | أخضر) ومنه $R = 560\text{ k}\Omega$



(ذهبی / بني | بنفسجي | أحمر) ومنه $R = 270\Omega$



(بني | أحمر | أخضر | ذهبی) ومنه $R = 1.2\text{ M}\Omega$



(أزرق | رمادي | برتقالي | ذهبی) ومنه $R = 68\text{ k}\Omega$

ث- **قياس المُقاومة :** يمكن قياس المُقاومة في دارة كهربائية أو أحد فروعها وذلك باستعمال أحد طُرُق القياس التالية:

- قياس المُقاومة باستعمال طريقة Voltmeter-Ammeter :

- قياس المُقاومة باستعمال طريقة الصفر :

- قياس المُقاومات الكبيرة باستعمال طريقة ضياع الشحنة.

1.4.4 قياس المقاومة باستعمال طريقة Voltmeter-Ammeter

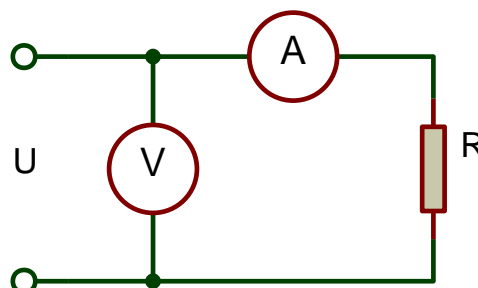
يمكن استنتاج قيمة المقاومة من خلال قياس شدة التيار الكهربائي وفرق الكمون في آنٍ واحد بين طرفي هذه الأخيرة وذلك بتوصيل جهازي القياس باستعمال إحدى التوصيلتين التاليتين:

- توصيل منبع: يتم توصيل جهاز القياس Voltmeter بين طرفي المقاومة وجهاز القياس Ammeter.
- توصيل مصب: يتم ربط جهاز القياس Voltmeter بين طرفي المقاومة فقط ويكون جهاز القياس Ammeter

فيما يلي نقدم دراسة أولية على كل توصيلية.

1.1.4.4 توصيل منبع

كما تم ذكره آنفًا، يتم توصيل جهازي القياس Voltmeter و Ammeter في الدارة الكهربائية في حالة توصيل منبع كما هو موضح في الشكل 11.4، حيث يتم توصيل جهاز القياس Voltmeter بين طرفي كل عناصر الدارة (أو أحد فروعها) بما فيها جهاز القياس Ammeter. وعليه، ينبع خطأً منهجي سببه المقاومة الداخلية r_A لجهاز القياس Ammeter الموصولة على التسلسل مع المقاومة R .



الشكل 11.4. توصيل منبع لجهازي القياس Ammeter و Voltmeter في الدارة الكهربائية.

بفرض أنّ مقاومة الحمولة الكلية هي R_L ، أي أنّ

$$R_L = R + r_A \Rightarrow R = R_L - r_A \quad (14.4)$$

ونستنتج عبارة الارتباط كما يلي

$$\frac{\Delta R}{R} = \frac{R_L}{|R_L - r_A|} \cdot \frac{\Delta R_L}{R_L} + \frac{r_A}{|R_L - r_A|} \cdot \frac{\Delta r_A}{r_A} \quad (15.4)$$

وعليه، فإنّ عملية القياس في هذا النوع من التوصيل تكون أكثر دقة لما يتحقق الشرط التالي

$$\frac{\Delta R}{R} = \frac{\Delta R_L}{R_L} \quad (16.4)$$

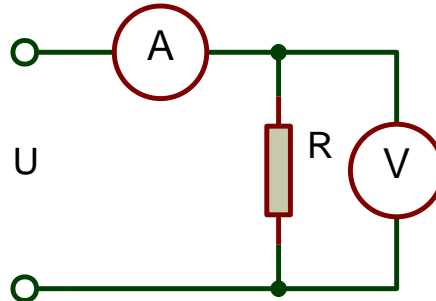
من خلال عبارة الارتباط (15.4)، فإن الشرط السابق يتحقق من أجل

$$\frac{R_L}{|R_L - r_A|} = 1 ; \frac{r_A}{|R_L - r_A|} = 0 \quad (17.4)$$

وبما أنّ $r_A \neq 0$ ومنه يتحقق الشرط من أجل $R_L << r_A$ ، أي أنّ $R << r_A$.

2.1.4.4 توصيل مصب

الشكل يوضح توصيل مصب لجهازي القياس Ammeter و Voltmeter في الدارة الكهربائية حيث يتم توصيل قطبين جهاز القياس Voltmeter بطرف المقاومة R فقط. يقوم جهاز القياس Ammeter في هذه الحالة بقياس التيار بين طرفي كل من المقاومة R و جهاز القياس Voltmeter مجتمعين معًا. وعليه، يطرأ خطأ منهجي في نتيجة قياس التيار بسبب المقاومة الداخلية r_v لجهاز القياس Voltmeter.



الشكل 12.4. توصيل مصب لجهازي القياس Ammeter و Voltmeter في الدارة الكهربائية.

بفرض أن الحمولة الكلية هي R_L ، ومنه

$$R_L = \frac{R \times r_v}{R + r_v} \Rightarrow R = \frac{R \times r_v}{r_v - R_L} = R_L \times \frac{1}{1 - \frac{R_L}{r_v}} = R_L \times \left(1 + \frac{R_L}{r_v}\right) \quad (18.4)$$

ومنه نستنتج عبارة الارتباط كما يلي

$$\frac{\Delta R}{R} = \left[\left(1 + \frac{2R_L}{r_v}\right) \cdot \Delta R_L + \left(-\frac{R_L^2}{r_v}\right) \cdot \Delta r_v \right] \frac{1}{R} = \frac{1 + \frac{2R_L}{r_v}}{R_L \left(1 + \frac{R_L}{r_v}\right)} \cdot \Delta R_L + \frac{-\frac{R_L^2}{r_v}}{R_L \left(1 + \frac{R_L}{r_v}\right)} \cdot \Delta r_v \quad (19.4)$$

بعد التبسيط نجد أن

$$\frac{\Delta R}{R} = \left|1 + \frac{R_L}{R_L + r_v}\right| \cdot \frac{\Delta R_L}{R_L} + \left|-\frac{R_L}{R_L + r_v}\right| \cdot \frac{\Delta r_v}{r_v} \quad (20.4)$$

وعليه، فإن عملية القياس في هذا النوع من التوصيل تكون أكثر دقة لما يتحقق الشرط التالي

$$\frac{\Delta R}{R} = \frac{\Delta R_L}{R_L} \quad (21.4)$$

من خلال عبارة الارتباط (19.4)، فإن الشرط السابق يتحقق من أجل

$$\left|1 + \frac{R_L}{R_L + r_v}\right| = 1; \quad \left|-\frac{R_L}{R_L + r_v}\right| = 0 \quad (22.4)$$

وإذا أن $R_L \neq 0$ ومنه يتحقق الشرط من أجل $r_v \gg R_L$ ، أي أن $r_v \gg R_L$

تنوية: بصفة عامة، فإن مقاومة كلا جهازي القياس Voltmeter و Ammeter متباعدة تماماً. وعليه، نلجم إلى المقارنة بين مختلف المقاومات كما يلي:

- إذا كانت $R^2 < r_A \times r_V$ من الأحسن استعمال توصيل منبع لجهازي القياس؛
- إذا كانت $R^2 > r_A \times r_V$ من الأحسن استعمال توصيل مصب لجهازي القياس؛
- إذا كانت $R^2 = r_A \times r_V$ في هذه الحالة فإن كلا التوصيلين متكافئين.

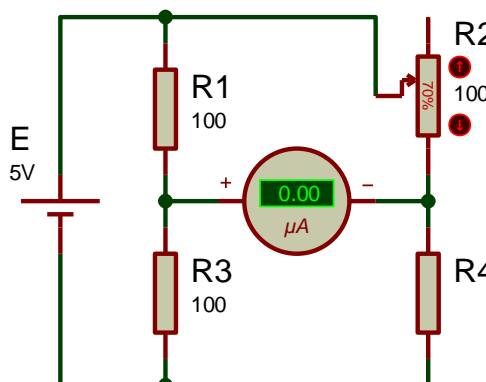
2.4.4 قياس المقاومة باستعمال طريقة الصفر (جسر Wheatstone)

كما تم التطرق إليه في الفصل 2 السابق، فإن طريقة الصفر جد فعالة في قياس المقاومة في الدارة DC و المُمانعة في الدارة AC. وبصفة خاصة، تم اختراع أداة قياس المقاومات بالاعتماد على طريقة جسر القياس في سنة 1833 من طرف العالم S.H. Christie ، ثم تم تحسينها ونشرها من قبل العالم T. Wheatstone في سنة 1843.

من خلال العبارة (36.2) في الفصل الثاني، لدينا

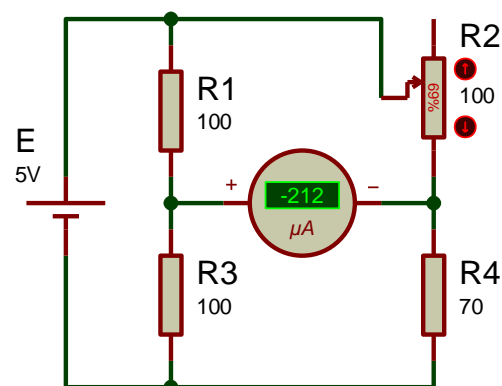
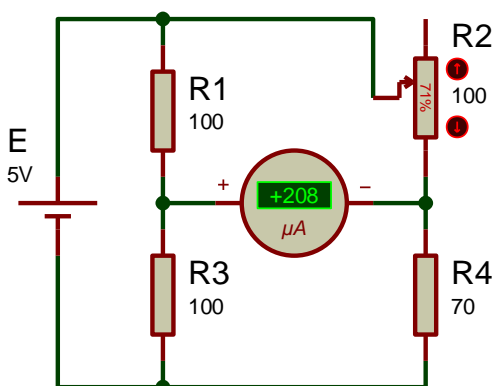
$$R_1 \times R_4 = R_2 \times R_3 \quad (23.4)$$

مثال: الشكل التالي يوضح نتيجة القياس بفرض أن المقاومة R_4 مجهولة. بما أن الجسر في حالة توازن، ومنه نستنتج مباشرة المقاومة $R_4 = 70$.



الشكل 13.4. نتيجة قياس المقاومة المجهولة R_4 باستعمال جسر القياس.

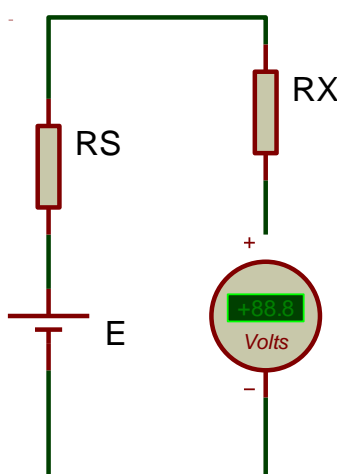
يمكن التأكد من دقة القياس باستعمال جسر القياس بإدخال تغيير طفيف في قيمة المقاومة المتغيرة R_2 حيث نلاحظ عدم توازن جسر القياس.



3.4.4 قياس المقاومات الكبيرة

غالباً ما يتم قياس المقاومة بجهاز قياس رقمي متعدد الوظائف حيث يمكنه إجراء قياسات تصل إلى حوالي 200Ω . ومع ذلك، وفي بعض الحالات، يجب قياس المقاومة في النطاقات الأعلى وبدقة عالية. تتضمن هذه الحالات عدة تطبيقات بما فيها تحديد مقاومة العوازل وقياس مقاومة العزل لأنواح الدوائر الإلكترونية المطبوعة (printed circuits). وعليه، يتم استعمال طُرُق قياس مناسبة في كل حالة والتي تسمح بقياس المقاومات الجد مرتفعة حيث قد تصل قيمتها في بعض التطبيقات إلى حدود $10^{12}\Omega$ ، والتي يقابلها شدة تيار في حدود $10^{-12}A$ وهي عبارة عن قيمة صغيرة جدًا حيث لا يمكن قياسها في أغلب الأحيان بأجهزة القياس العادية. في هذه الحالة، يمكن تبسيط عملية القياس المقاومة من خلال قياس غير مباشر لفرق الكمون بين طرفي الدارة.

التركيبة الأساسية لعملية القياس موضحة في الشكل 14.4 حيث يتم توصيل مصدر الجهد الثابت E على التسلسل مع مقاومة أمان اختيارية R_s ، المقاومة المجهولة العالية القيمة R_x ، و جهاز قياس Voltmeter ذو مقاومة داخلية R_m .



الشكل 14.4. قياس المقاومة العالية جداً.

من خلال الشكل السابق، يمكن كتابة العبارة التالية

$$E = (R_s + R_x + R_m) \times I \quad (24.4)$$

و بما أن فرق الكمون بين طرفي جهاز القياس Voltmeter يتحقق العلاقة

$$U = R_m \times I \quad (25.4)$$

و منه،

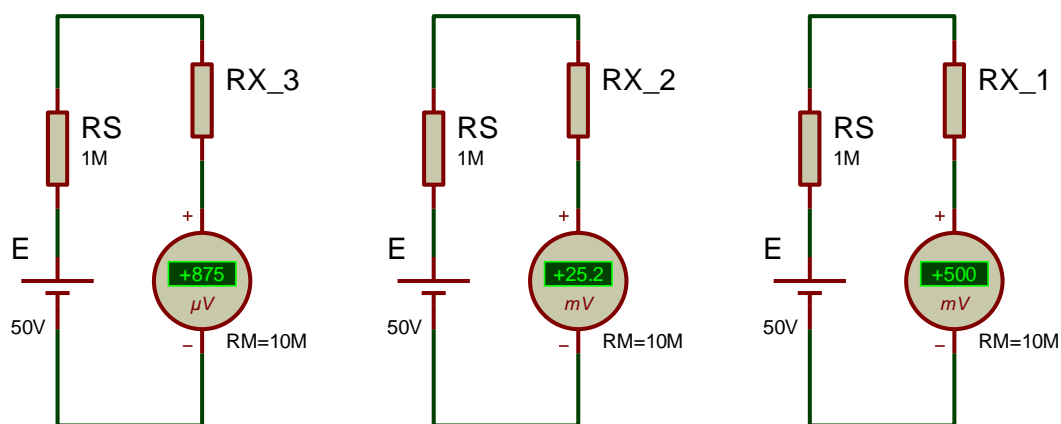
$$E = (R_s + R_x + R_m) \times \frac{U}{R_m} \quad (26.4)$$

وبالتالي نستنتج عبارة المقاومة المجهولة R_x على النحو التالي

$$R_x = R_m \left(\frac{E}{U} - 1 \right) - R_s \quad (27.4)$$

ملاحظة: في بعض الحالات يتم الاستغناء عن مقاومة الأمان R_s .

مثال: تحديد قيمة المقاومة المجهولة في كل حالة من حالات القياس التالية.



الشكل 15.4. نتيجة قياس بعض المقاومات العالية جدًا.

الحل: من خلال العلاقة (27.4) السابقة نستنتج مُباشرة القياسات التالية:

$$\begin{aligned}
 R_{x_1} &= 10 \times 10^6 \left(\frac{50}{500 \times 10^{-3}} - 1 \right) - 10^6 = 989 \text{ M}\Omega \\
 R_{x_2} &= 10 \times 10^6 \left(\frac{100}{25.2 \times 10^{-3}} - 1 \right) - 100 \times 10^6 \approx 20 \text{ G}\Omega \\
 R_{x_3} &= 10 \times 10^6 \left(\frac{50}{875 \times 10^{-6}} - 1 \right) - 10^6 \approx 800 \text{ G}\Omega
 \end{aligned} \tag{28.4}$$

ملاحظة: من خلال نتيجة القياس، نلاحظ حدوث ارتياح في نتيجة القياس بالنسبة للمقاومات المرتفعة جدًا حيث أن دقة جهاز القياس تؤثر على نتيجة القياس.

4.4 قياس المُمانعة

أ- تعريف المُمانعة: لا يختلف كثيراً تعريف المُمانعة عن تعريف المقاومة من حيث مبدأ معارضه حركة التيار الكهربائي في الدارة، غير أنه يقتصر على دارة التيار المتناوب AC، أي في وجود المقاومة، المكثفة و (أو) الوشيعة.

ب- قياس المُمانعة: يمكن قياس المُمانعة في دارة كهربائية أو أحد فروعها وذلك باستعمال نفس طرق القياس المستعملة في حالة قياس المقاومة. إن الأمر المهم في قياس المُمانعة هو تأثيرها الشديد بتردد الموجة المتناوبة بالنقصان أو الزيادة بحسب العنصر الكهربائي أو مجموعة العناصر المُشكلة للمُمانعة في حد ذاتها.
نفرض أنه يتم التعديل عن الجهد والتيار بالصيغ المركبة التالية:

$$V = |V| \angle \varphi_V ; \quad I = |I| \angle \varphi_I \tag{29.4}$$

حيث أن $|V|$ و $|I|$ تُعبر عن طولتي العدين المركبين لكل من الجهد والتيار، على التوالي. φ_V و φ_I ترمز إلى زوايا مقدار الازاحة لكل من الجهد والتيار بالنسبة للمحور المرجعي، على التوالي. فيما يلي نستعرض المُمانعة الخاصة بكل من المكثفة، الوشيعة، وبعض أنواع المُمانعات المألوفة في الدارات الكهربائية.

1.4.4 قياس المكثفة

أ- عبارة ممانعة المكثفة: يتم التعبير عن الممانعة الخاصة بمكثفة C بدلالة العدد المركب Z_C على النحو التالي

$$Z_C = -j \frac{1}{C\omega} = |Z_C| \angle \varphi_C \quad (30.4)$$

حيث أن طبولة وطور الممانعة Z_C كما يلي

$$\begin{cases} |Z_C| = \sqrt{0^2 + \left(\frac{-1}{C\omega}\right)^2} = \frac{1}{C\omega} \\ \varphi_C = \tan^{-1} \left(\frac{\frac{-1}{C\omega}}{0} \right) = \tan^{-1}(-\infty) \simeq -90^\circ \end{cases} \quad (31.4)$$

بالتعويض في العبارة (30.4)، نجد أن

$$Z_C = \frac{1}{C\omega} \angle -90^\circ \quad (32.4)$$

ب- خصائص عبارة ممانعة المكثفة: من خلال العبارة الأخيرة، فإن طبولة ممانعة المكثفة تتعلق بكل من المكثفة C والتبسيط ω حيث أن $\omega = 2\pi f$ مع f تردد مصدر الجهد المتناوب. وبما أن المكثفة C ذات قيمة ثابتة، وعليه نستنتج أن طبولة ممانعة المكثفة تتغير بتغير تردد مصدر الجهد المتناوب. بصفة عامة ومن أجل مجال تغيرات $[\omega, +\infty]$ نستنتج ما يلي

$$\omega \rightarrow 0 \Rightarrow Z_C \rightarrow \infty ; \quad \omega \rightarrow \infty \Rightarrow Z_C \rightarrow 0 \quad (33.4)$$

مع وجود الحالة الخاصة التالية

$$\omega \rightarrow \frac{1}{C} \Rightarrow Z_C = 1 \quad (34.4)$$

خصائص التيار بين طرفي ممانعة المكثفة: يتم التعبير عن التيار بين طرفي ممانعة المكثفة كما يلي

$$V = Z_C \times I \Rightarrow I = \frac{V}{Z_C} \quad (35.4)$$

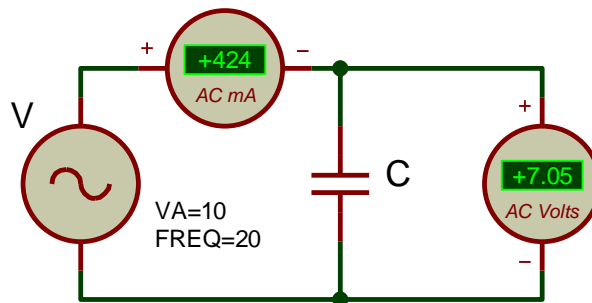
بفرض أن الدارة تحتوي على مصدر الجهد المتناوب ومكثفة بحثة، ومنه

$$I = \frac{V}{Z_C} = \frac{|V| \angle 0^\circ}{\frac{1}{C\omega} \angle -90^\circ} = C\omega |V| \angle 90^\circ = |I| \angle \varphi_I \quad (36.4)$$

حيث أن طبولة التيار $|I| = C\omega |V|$ وزاوية الطور $\varphi_I = 90^\circ$.

من خلال النتيجة المتحصل عليها، فإن زاوية طور التيار هي 90° مما يعني أن موجة التيار تقدم موجة مصدر الجهد بمقدار الزاوية 90° بين طرفي المكثفة.

مثال : استنتاج قيمة المكثفة في الدارة AC التالية



الشكل 16.4. دارة AC بدالة مكثفة بحثة.

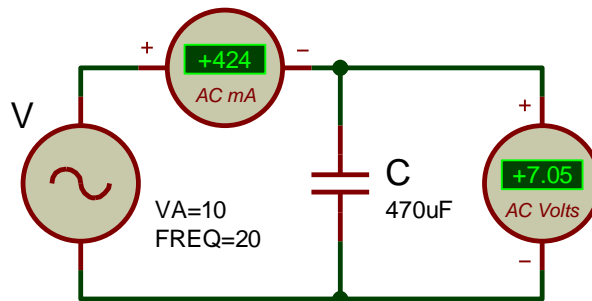
الحل : بتطبيق قانون أوم، نجد أن

$$Z_C = \frac{V}{I} = \frac{V_{\text{RMS}} \times \sqrt{2}}{I_{\text{RMS}} \times \sqrt{2}} = \frac{7.05}{424 \times 10^{-3}} = 16.627 \Omega \quad (37.4)$$

ومنه نستنتج قيمة المكثفة كما يلي

$$C = \frac{1}{Z_C \omega} = \frac{1}{16.627 \times 2 \times \pi \times 20} = 478.59 \times 10^{-6} = 478.59 \mu\text{F} \quad (38.4)$$

يمكن التأكد من صحة النتيجة وذلك من خلال الشكل التالي



الشكل 17.4. نتائج القياس.

2.4.4 قياس الوشيعة

أ- عبارة ممانعة الوشيعة: يتم التعبير عن الممانعة الخاصة بوشيعة L بدالة العدد المركب Z_L على النحو التالي

$$Z_L = jL\omega = |Z_L| \angle \varphi \quad (39.4)$$

حيث أن طولية وطور الممانعة Z_L كما يلي

$$\begin{cases} |Z_L| = \sqrt{0^2 + (L\omega)^2} = L\omega \\ \varphi = \tan^{-1} \left(\frac{L\omega}{0} \right) = \tan^{-1}(\infty) \approx 90^\circ \end{cases} \quad (40.4)$$

بالتعويض في العبارة (39.4)، نجد أن

$$Z_L = L\omega \angle 90^\circ \quad (41.4)$$

ب- **خصائص عبارة ممانعة الوشيعة**: من خلال العبارة (41.4)، فإن طبولة ممانعة الوشيعة تتغير بتغير تردد مصدر الجهد المتناوب. بصفة عامة ومن أجل مجال تغيرات $[0, +\infty]$ نستنتج ما يلي

$$\omega \rightarrow 0 \Rightarrow Z_L \rightarrow 0 ; \quad \omega \rightarrow \infty \Rightarrow Z_C \rightarrow \infty \quad (42.4)$$

مع وجود الحالة الخاصة التالية

$$\omega \rightarrow \frac{1}{L} \Rightarrow Z_L = 1 \quad (43.4)$$

ت- **خصائص التيار بين طرفي ممانعة الوشيعة**: يتم التعبير عن التيار بين طرفي المكثف كما يلي

$$V = Z_L \times I \Rightarrow I = \frac{V}{Z_L} \quad (44.4)$$

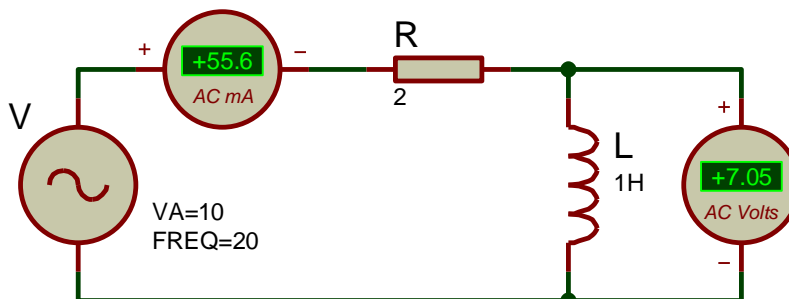
بفرض أن الدارة تحتوي على مصدر الجهد المتناوب ومكثف بحثة، ومنه

$$I = \frac{V}{Z_L} = \frac{|V| \angle 0^\circ}{L \omega \angle 90^\circ} = \frac{|V|}{L \omega} \angle -90^\circ = |I| \angle \varphi_I \quad (45.4)$$

$$\text{حيث أن طبولة التيار } |I| = \frac{|V|}{L \omega} \text{ وزاوية الطور } \varphi_I = -90^\circ.$$

من خلال النتيجة المتحصل عليها، فإن زاوية طور التيار هي -90° . مما يعني أن موجة التيار تتأخر عن موجة مصدر الجهد بمقدار الزاوية -90° بين طرفي الوشيعة. يجب التنبه أن توصيل وشيعة بحثة بين أطراف مصدر الجهد قد يؤدي إلى اتلاف الوشيعة خاصةً من أجل القيم الضعيفة لقيمة الوشيعة وهذا نظراً لشدة التيار المرتفعة جداً المتدافع في الوشيعة. وعليه، يجب إضافة مقاومة أمان للتقليل من حدة التيار.

مثال 1: استنتاج قيمة الوشيعة في الدارة AC التالية



الشكل 18.4. دارة AC بدلالة وشيعة ومقاومة أمان.

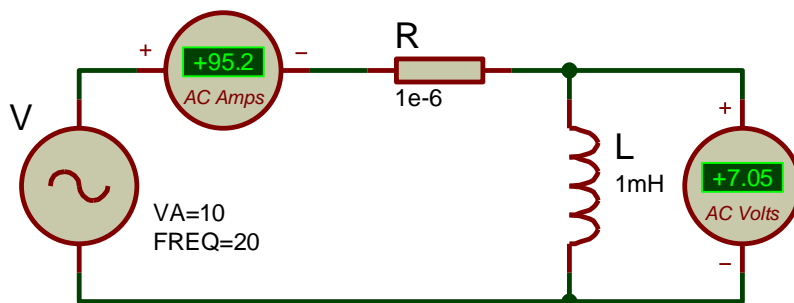
الحل : بتطبيق قانون أوم، نجد أن

$$(Z_L + R) = \frac{V}{I} = \frac{V_{\text{RMS}} \times \sqrt{2}}{I_{\text{RMS}} \times \sqrt{2}} = \frac{7.05}{55.6 \times 10^{-3}} = 126.79 \Omega \Rightarrow Z_L = 124.79 \Omega \quad (46.4)$$

ومنه نستنتج قيمة الوشيعة كما يلي

$$L = \frac{\omega}{Z_L} = \frac{2 \times \pi \times 20}{124.79} = 1.006 \text{ H} \quad (47.4)$$

مثال 2: دراسة نتيجة القياس من أجل قيمة وشيعة صغيرة مع إهمال قيمة مقاومة الأمان.



الشكل 19.4. نتيجة القياس.

الحل: من خلال نتيجة القياس السابقة، نلاحظ شدة التيار في حدود 100A وهي قيمة مرتفعة جداً لا يمكن أن تتحملها الوشيعة ما يؤدي إلى إتلافها بمجرد توصيل الدارة في الواقع.

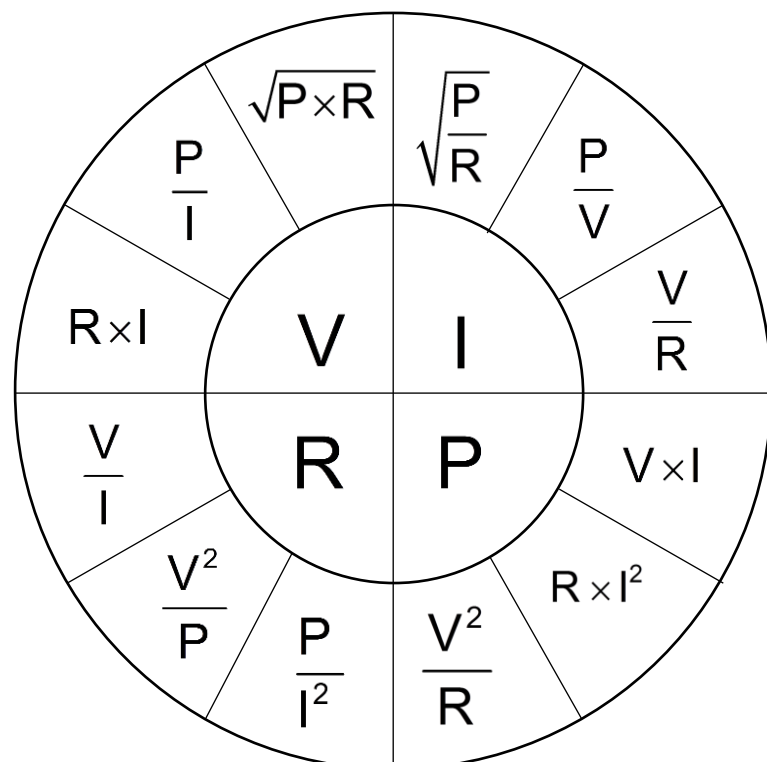
5.4 قياس الاستطاعة في دارة DC

1.5.4 الصيغة الأساسية

لحساب الاستطاعة الكهربائية في دارة DC، نستعمل الصيغة العامة التالية

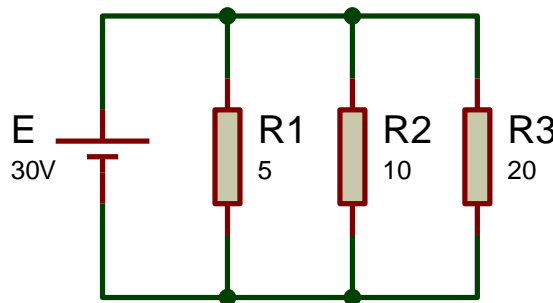
$$P = V \times I \quad (48.4)$$

بصفة عامة، يمكن استنتاج قيمة أحدى المتغيرات بدلالة المتغيرات الأخرى كما هو موضح في الشكل التالي



الشكل 20.4. العلاقة بين الكميات الكهربائية الأساسية.

مثال : حساب الاستطاعة الكهربائية للدارة التالية



الشكل 21.4. حساب الاستطاعة في دارة DC.

الحل: بما أن الكمون بين أطراف المقاومات R_1 , R_2 و R_3 متساو ومنه نجد أن

$$P_1 = \frac{E^2}{R_1} = \frac{30^2}{5} = 180W; P_2 = \frac{E^2}{R_2} = \frac{30^2}{10} = 90W; P_3 = \frac{E^2}{R_3} = \frac{30^2}{20} = 45W \quad (49.4)$$

وتكون قيمة الاستطاعة الكهربائية الكلية في الدارة كما يلي

$$P = P_1 + P_2 + P_3 = 180 + 90 + 45 = 315W \quad (50.4)$$

2.5.4 قياس غير مباشر للاستطاعة الكهربائية في دارة DC

يمكن قياس الاستطاعة الكهربائية في دارة DC أو أحد فروعها باستعمال عدة طرق غير مباشرة. فيما يلي، سنستعرض أهم الطرق الغير مباشرة لقياس الاستطاعة.

1.2.5.4 قياس غير مباشر للاستطاعة الكهربائية في دارة DC باستعمال جهازي القياس Ammeter و Voltmeter

يتم استنتاج عبارة الاستطاعة الكهربائية بتوصيل جهازي القياس Ammeter و Voltmeter سوياً بإحدى التوصيلتين « توصيلة منبع » و « توصيلة مصب » الموضحتين سلفاً. تعتمد دقة هذه الطريقة على دقة أجهزة القياس وطريقة التوصيلة المستعملة لهذه الأجهزة (توصيلة منبع أو توصيلة مصب).

توصيل منبع: في هذه الحالة يتم إضافة المقاومة الداخلية r_A لجهاز Ammeter إلى المقاومة R ، وعليه نجد أن

$$P_{mes} = U_{mes} \times I_{mes} = (U + r_A \times I_{mes}) \times I_{mes} = U \times I_{mes} + r_A \times I_{mes}^2 = P + \Delta P \quad (51.4)$$

حيث أن الارتياب معطى بالعبارة التالية

$$\Delta P = r_A \times I_{mes}^2 \quad (52.4)$$

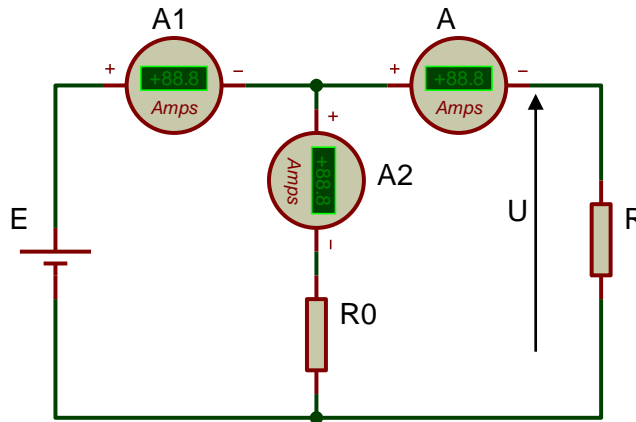
توصيل مصب: يتم إضافة المقاومة الداخلية r_V لجهاز Voltmeter إلى المقاومة R ، ومنه

$$P_{mes} = U_{mes} \times I_{mes} = U_{mes} \times \left(I + \frac{U_{mes}}{r_V} \right) = U_{mes} \times I + \frac{U_{mes}^2}{r_V} = P + \Delta P \quad (53.4)$$

حيث أن الارتياب معطى بالعبارة التالية

$$\Delta P = \frac{U_{mes}^2}{r_V} \quad (54.4)$$

2.2.5.4 قياس غير مباشر للاستطاعة الكهربائية في دارة DC باستعمال طريقة الثلاث أجهزة القياس طريقة الثلاث أجهزة القياس Ammeter : يمكن استنتاج قيمة الاستطاعة الكهربائية باستعمال الثلاث أجهزة القياس Ammeter في الدارة مع إضافة مقاومة أمان كما هو موضح في الشكل أدناه.



الشكل 22.4. التركيبة الأساسية لطريقة الثلاث أجهزة القياس Ammeter .

حيث نفرض أن كل من جهاز القياس A_1 ، A_2 و A يقيس التيار I_1 ، I_2 و I ، على التوالي. ومنه،

$$I_1 = I + I_2 \Rightarrow I_1^2 = I^2 + I_2^2 + 2 \times I_2 \times I \Rightarrow I_2 = I = \frac{1}{2}(I_1^2 - I_2^2 - I^2) \quad (55.4)$$

$$\text{لدينا } I_2 = \frac{U}{R_0} \text{ ، بالتعويض في العبارة السابقة نجد ما يلي}$$

$$\frac{U}{R_0} \times I = \frac{1}{2}(I_1^2 - I_2^2 - I^2) \quad (56.4)$$

و بما أن $P = U \times I$ ، ومنه فإن عبارة الاستطاعة الكهربائية بدلالة التيار I_1 ، I_2 و I ، وكذا المقاومة المعيارية R_0 على النحو التالي

$$P = \frac{R_0}{2}(I_1^2 - I_2^2 - I^2) \quad (57.4)$$

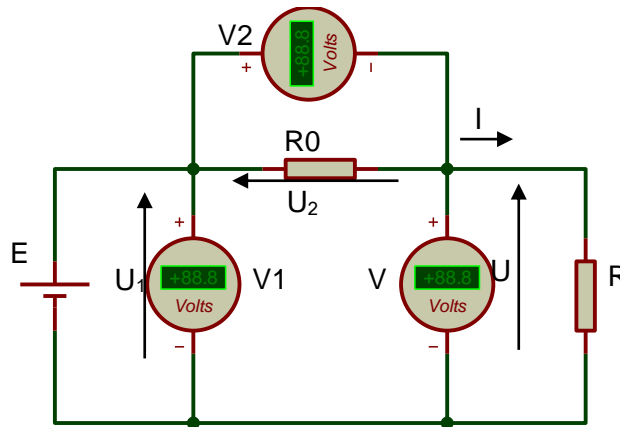
و يتم استخراج عبارة الارتباط على الاستطاعة الكهربائية كما يلي

$$\begin{aligned} \frac{\Delta P}{P} &= \left(\frac{|I_1^2 - I_2^2 - I^2|}{2} \times \Delta R_0 + |R_0 \times I_1| \times \Delta I_1 + |-R_0 \times I_2| \times \Delta I_2 + |-R_0 \times I| \times \Delta I \right) \times \frac{1}{P} \\ &= \left(\frac{|I_1^2 - I_2^2 - I^2|}{2} \times \Delta R_0 + R_0 I_1 \times \Delta I_1 + R_0 I_2 \times \Delta I_2 + R_0 I \times \Delta I \right) \times \frac{1}{\frac{R_0}{2}(I_1^2 - I_2^2 - I^2)} \end{aligned} \quad (58.4)$$

بعد التبسيط، تتحصل على عبارة الارتباط التالية

$$\frac{\Delta P}{P} = \frac{\Delta R_0}{R_0} + \frac{2I_1^2}{|I_1^2 - I_2^2 - I^2|} \times \frac{\Delta I_1}{I_1} + \frac{2I_2^2}{|I_1^2 - I_2^2 - I^2|} \times \frac{\Delta I_2}{I_2} + \frac{2I^2}{|I_1^2 - I_2^2 - I^2|} \times \frac{\Delta I}{I} \quad (59.4)$$

طريقة **الثلاث أجهزة القياس Voltmeter**: من جهة أخرى، يمكن استنتاج قيمة الاستطاعة الكهربائية باستعمال الثلاث أجهزة القياس Voltmeter في الدارة مع إضافة مقاومة أمان كما هو موضح في الشكل أدناه.



الشكل 23.4. التركيبة الأساسية لطريقة الثلاث أجهزة القياس Voltmeter.

بفرض أن كل من جهاز القياس V_1 ، V_2 و V يقيس فرق الكمون U_1 ، U_2 و U ، على التوالي. ومنه،

$$U_1 = U + U_2 \Rightarrow U_1^2 = U^2 + U_2^2 + 2 \times U_2 \times U \Rightarrow U_2 \times U = \frac{1}{2}(U_1^2 - U_2^2 - U^2) \quad (60.4)$$

من خلال الشكل 23.4 لدينا $A_2 = R_0$ ، بالتعويض في العبارة السابقة نجد ما يلي

$$R_0 \times I \times U = \frac{1}{2}(U_1^2 - U_2^2 - U^2) \quad (61.4)$$

وبيما أن $P = U \times I$ ، ومنه فإن عبارة الاستطاعة الكهربائية بدلالة التيارات A_1 و A_2 ، وكذا المقاومة المعيارية R_0 على النحو التالي

$$P = \frac{1}{2R_0}(U_1^2 - U_2^2 - U^2) \quad (62.4)$$

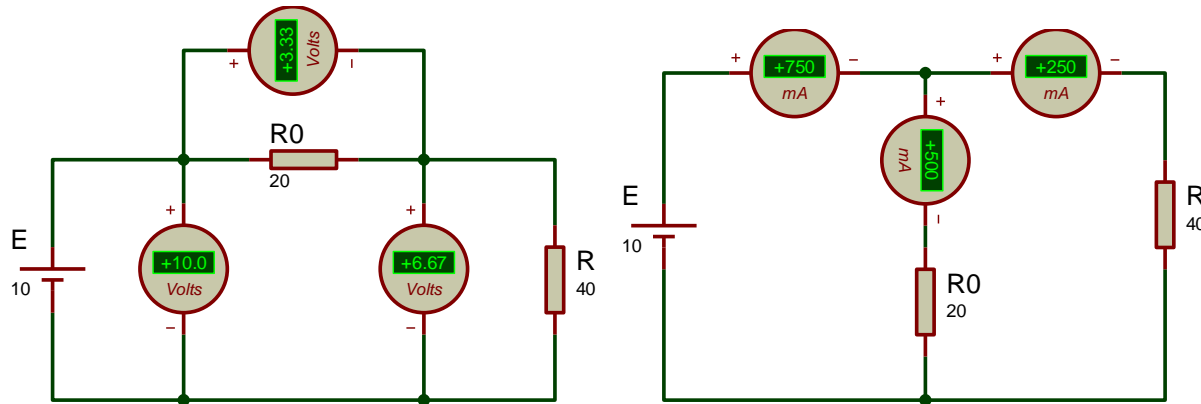
و يتم استخراج عبارة الارتباط على الاستطاعة الكهربائية كما يلي

$$\begin{aligned} \frac{\Delta P}{P} &= \left(\frac{|U_1^2 - U_2^2 - U^2|}{2R_0^2} \times \Delta R_0 + \left| \frac{U_1}{R_0} \right| \times \Delta U_1 + \left| \frac{-U_2}{R_0} \right| \times \Delta U_2 + \left| \frac{-U}{R_0} \right| \times \Delta U \right) \times \frac{1}{P} \\ &= \left(\frac{U_1^2 - U_2^2 - U^2}{2} \times \Delta R_0 + \frac{U_1}{R_0} \times \Delta U_1 + \frac{U_2}{R_0} \times \Delta U_2 + \frac{U}{R_0} \times \Delta U \right) \times \frac{1}{\frac{1}{2R_0}(U_1^2 - U_2^2 - U^2)} \end{aligned} \quad (63.4)$$

بعد التبسيط، تحصل على عبارة الارتباط التالية

$$\frac{\Delta P}{P} = \frac{\Delta R_0}{R_0} + \frac{2U_1^2}{|U_1^2 - U_2^2 - U^2|} \times \frac{\Delta U_1}{U_1} + \frac{2U_2^2}{|U_1^2 - U_2^2 - U^2|} \times \frac{\Delta U_2}{U_2} + \frac{2U^2}{|U_1^2 - U_2^2 - U^2|} \times \frac{\Delta U}{U} \quad (64.4)$$

مثال : استنتاج قيمة الاستطاعة الكهربائية في الداراتين التاليتين



. الشكل 24.4. قياس الاستطاعة في دارة DC باستعمال طريقة الثلاث أجهزة Voltmeter و Ammeter .

الحل:

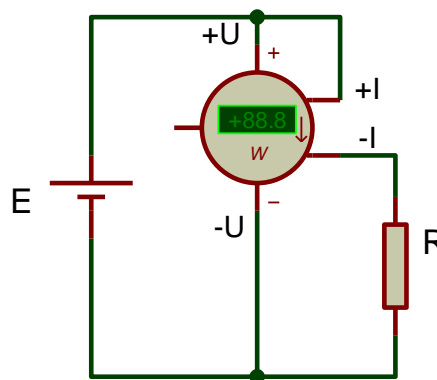
أ- من خلال العبارة (57.4)، نستنتج أن

$$P = \frac{R_0}{2} (I_1^2 - I_2^2 - I^2) = \frac{20}{2} (0.75^2 - 0.5^2 - 0.25^2) = 2.5W \quad (65.4)$$

ب- من خلال العبارة (62.4)، نستنتج أن

$$P = \frac{1}{2R_0} (U_1^2 - U_2^2 - U^2) = \frac{1}{2 \times 20} (10^2 - 3.33^2 - 6.67^2) \quad (66.4)$$

3.5.4 قياس مُباشر للاستطاعة الكهربائية في دارة DC باستعمال جهاز القياس Wattmeter بما أن الاستطاعة تُعبر عن العلاقة الفيزيائية بين كل من فرق الكمون وشدة التيار الكهربائي، حيث يسمح جهاز Wattmeter بقياس الاستطاعة الكهربائية في الدارة كما هو موضح في الشكل أدناه.

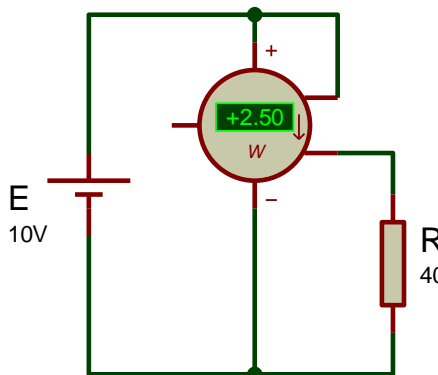


. الشكل 25.4. طريقة توصيل جهاز القياس Wattmeter في الدارة الكهربائية.

من خلال الشكل السابق، فإن التركيبة العامة لجهاز Wattmeter يتكون من أربع مداخل حيث يتم توصيل المدخلين $+I$ و $-I$ على التسلسل للتغيير على شدة التيار ويتم توصيل كلا المدخلين $+U$ و $-U$ معًا للتغيير على الجداء بين الوحدتين. وعليه يتم استنتاج الاستطاعة الكهربائية مُباشرةً من خلال قراءة القيمة المُشار إليها في الجهاز.

مثال : قياس الاستطاعة الكهربائية في دارة DC حيث مصدر الجهد $E = 10V$ و مقاومة $R = 40\Omega$

الحل: مباشرة تحصل على نتيجة القياس التالية



الشكل 26.4. نتيجة القياس باستعمال جهاز Wattmeter في الدارة DC.

ملاحظة: من خلال الشكل السابق نلاحظ وجود مدخل إضافي للجهاز وهذا مرتبط ببرنامج المحاكاة.

6.4 قياس الاستطاعة الكهربائية في دارة AC
بفرض أنه يتم التعبير عن الجهد والتيار في دارة AC بالصيغ المركبة التالية:

$$V = |V|e^{j\alpha} ; \quad I = |I|e^{j\beta} \quad (67.4)$$

حيث أن كل من $|V|$ و $|I|$ تعبّر عن طوبولتي العدددين المركبين لكل من الجهد والتيار، على التوالي. j يمثل الوحدة التخيلية ($-1 = j^2$), e ترمز إلى الدالة الأسية. α و β ترمز إلى زوايا الأزاحة.

أ- الاستطاعة المركبة S :

يتم التعبير عن الاستطاعة المركبة بدلالة الجهد وشدة التيار كما يلي:

$$S = V \cdot I^* \quad (68.4)$$

حيث أن I^* عبارة عن مُرافق العدد المركب I . بتعويض عبارتي الجهد والتيار، تحصل على

$$S = (|V|e^{j\alpha}) \cdot (|I|e^{j\beta})^* = (|V|e^{j\alpha}) \cdot (|I|e^{-j\beta}) = |V| \cdot |I|e^{j(\alpha-\beta)} = |S|e^{j\varphi} \quad (69.4)$$

حيث أن $|S| = |V| \cdot |I|$ تُسمى الاستطاعة الظاهرة و $\varphi = \alpha - \beta$ تُسمى فرق الطور.

ومنه يتم التعبير عن الاستطاعة المركبة على النحو التالي

$$S = |S|e^{j\varphi} = |S|\cos\varphi + j|S|\sin\varphi = P + jQ \quad (70.4)$$

حيث أن $P = |S|\cos\varphi$ تُسمى الاستطاعة الفعالة و $Q = |S|\sin\varphi$ تُسمى الاستطاعة الغير فعالة.

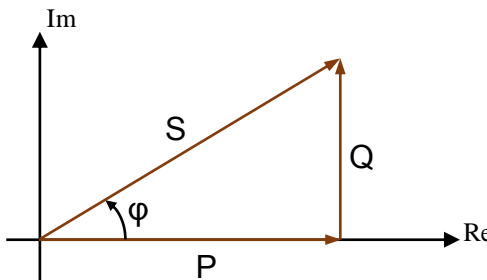
وعليه، يتم التعبير عن الاستطاعة المركبة في شكل طور كما يلي:

$$S = |S|e^{j\varphi} = |S|\angle\varphi \quad (71.4)$$

حيث أن كل من الطولية $|S|$ والزاوية φ معطاة بالعباراتين التاليتين

$$\begin{cases} |S| = |V| \cdot |I| = \sqrt{P^2 + Q^2} ; \\ \varphi = \alpha - \beta = \arg(V) - \arg(I) \end{cases} \quad (72.4)$$

يتم التعبير عن الاستطاعة المركبة S بدالة كل من الاستطاعة الفعالة P والاستطاعة الغير فعالة Q كما هو موضح في الرسم البياني الموضح.



الشكل 27.4. التمثيل البياني للاستطاعة المركبة S .

بما أنّ طور الجهد يختلف عن طور التيار في حالة دارة التيار المتناوب وبالتالي يكون للاستطاعة المركبة S اتجاهين أحدهما خاص بالاستطاعة الفعالة P والآخر خاص بالاستطاعة الغير فعالة Q كما هو موضح في الرسم البياني السابق. غالباً ما يتم تسمية الرسم السابق باسم مثل الاستطاعة.

ب- الاستطاعة الفعالة P :

الاستطاعة الفعالة P هي الاستطاعة المستهلكة حقيقةً في الدّارة الكهربائية والتي يمكن تحويلها إلى أشكال أخرى من الطاقة مثل الطاقة الحرارية في السخان، شدة التّوهج لضوء المصباح وما إلى ذلك. وتُعرف أيضاً بالقدرة الحقيقية. يتم قياس القدرة الفعالة بالوحدة الأساسية W ، kW أو MW .

ت- الاستطاعة الغير فعالة Q :

على عكس الاستطاعة الفعالة، فإنّ الاستطاعة الغير فعالة Q تُعبّر عن الاستطاعة التي تستهلكها الدّارة الكهربائية من دون أن تتحول إلى استطاعة نافعة. على سبيل المثال، فإنّ المحرك الكهربائي يستهلك استطاعة للتحرك من دون أن تترجم إلى حركة في حد ذاتها. وعليه فإنّ الاستطاعة الغير فعالة لا تؤدي أي عمل حقيقي في الدّارة الكهربائية، أي أنه لا يمكن استخدام هذه الطاقة للتّدفئة أو الإضاءة أو لأغراض مفيدة أخرى. يتم قياس الاستطاعة الغير فعالة بالوحدة VAR ، $kVAR$ أو $MVAR$.

على الرغم من أنّ الاستطاعة الغير فعالة لا تؤدي أي عمل مفید في الدّارة الكهربائية، إلا أنها ضرورية لتشغيل الأجهزة الكهربائية خاصةً منها المحركات الكهربائية وذلك لتوليد المجال المغناطيسي الداخلي، والذي بدونه لا يمكن توليد قدرة فعالة في المولد ولا استهلاكها في المحرك.

ث- الاستطاعة الظاهرية $|S|$:

من خلال العلاقة (69.4) فإنّ الاستطاعة الظاهرية $|S|$ هي نتاج جداء طوليتي الجهد والتيار، وتساوي كذلك الجذر التربيعي لمجموع مربعين الاستطاعة الفعالة والاستطاعة غير الفعالة حيث يتم قياسها بالوحدة VA ، kVA أو MVA .

يتم أخذ بعين الاعتبار الاستطاعة الظاهرية عند تصميم الدّارات والشبكات الكهربائية، لأنّه وعلى الرغم من أنّ التيار المرتبط بالقدرة الغير فعالة لا يتم تحويلها إلى طاقة مفيدة إلا أنه يجب توفيرها لتشغيل المحركات الكهربائية. يمكن أن يؤدي الفشل في توفير إمدادات كافية للقدرة الغير فعالة في الشبكات الكهربائية إلى انخفاض مستويات الجهد، ما ينتج عنه انقطاع التيار الكهربائي.

ج- مُعامل الاستطاعة $\cos \varphi$:

يتم التعبير عن مُعامل الاستطاعة بنسبة الاستطاعة الفعالة إلى الاستطاعة الظاهرة كما يلي

$$\cos \varphi = \frac{P}{|S|} = \frac{P}{\sqrt{P^2 + Q^2}} \quad (73.4)$$

غالباً ما يتم تسمية الزاوية φ باسم فرق الطور والتي يتم استنتاجها مباشرة من خلال العلاقة التالية

$$\tan \varphi = \frac{P}{Q} \Rightarrow \varphi = \tan^{-1} \left(\frac{P}{Q} \right) \quad (74.4)$$

من خلال عبارة مُعامل الاستطاعة ، نلاحظ أن

$$\cos \varphi = 1 \Rightarrow \varphi = 0 \Rightarrow \alpha = \beta ; \cos \varphi = 0 \Rightarrow \varphi = \frac{\pi}{2} \Rightarrow \alpha = \beta + \frac{\pi}{2} \quad (75.4)$$

وعليه، فإنّ القيمة العُظمى لمُعامل الاستطاعة تساوي 1 عندما يكون فرق الطور بين الجهد والتيار معدوم أي أنّ لكليهما نفس الطور، ويكون بقيمة صغرى ومساو للصفر عندما يكون فرق الطور بزاوية 90° . ومنه نستنتج أنه كلما نقصت زاوية فرق الطور φ كلما كان مُعامل الاستطاعة أكبر، والعكس صحيح.

نتيجة لما سبق ذكره، فإنّ أي نقصان في قيمة مُعامل الاستطاعة يؤدي إلى زيادة في قيمة الاستطاعة الفعالة P ونقصان في قيمة الاستطاعة الغير فعالة Q ، والعكس صحيح.

الجدول التالي عبارة عن حوصلة لمُصطلح الاستطاعة والوحدة الموافقة في كل حالة.

الجدول 3.4. مُصطلح الاستطاعة والوحدة الموافقة.

الوحدة	المُصطلح	الرمز
Watt (W)	الاستطاعة الفعالة	P
Volt-Ampere Reactive (VAR)	الاستطاعة الغير فعالة	Q
Volt-Ampere (VA)	الاستطاعة المركبة	S
Volt-Ampere (VA)	الاستطاعة الظاهرة	S
بدون وحدة	مُعامل الاستطاعة	$\cos \varphi$

مثال : بفرض أنّ الاستطاعة الفعالة في دارة كهربائية $P = 800W$ وزاوية فرق الطور $\varphi = 36.8^\circ$ ، ومنه نستخرج الاستطاعة الظاهرة $|S|$ كما يلي

$$\cos \varphi = \frac{P}{|S|} \Rightarrow |S| = \frac{P}{\cos \varphi} = \frac{800}{\cos 36.8^\circ} = \frac{800}{0.80} = 1000 \text{VA} \quad (76.4)$$

من خلال النتيجة المتحصل عليها ، فإنّ الاستطاعة الفعالة التي تستفيد منها الدارة الكهربائية هي عبارة عن 80% بينما باقي الاستطاعة والتي قيمتها 20% عبارة عن استطاعة غير فعالة لا دور لها سوى توليد المجال المغناطيسي اللازم لعمل المحركات الكهربائية.

1.6.4 قياس الاستطاعة الكهربائية في دارة AC أحادية الطور
لفرض أنه يتم تغذية دار AC بواسطة مصدر الجهد لتعبير عن مصدر الجهد في دارة AC أحادية الطور بالعبارة الجيبية التالية :

$$V(t) = V \angle 0^\circ = V_m \sin \omega t \quad (77.4)$$

حيث أن V_m تُعبر عن القيمة العُظمى للجهد و ω تُعبر عن النسب المُناسب للدالة الجيبية. ومنه

$$\begin{aligned} V(t) = Z \times I(t) \Rightarrow I(t) &= \frac{V(t)}{Z} = \frac{V_m \sin \omega t}{|Z| \angle \varphi} = \frac{V_m}{|Z|} \sin(\omega t - \varphi) \\ &= I_m \sin(\omega t - \varphi) = |I| \angle -\varphi \end{aligned} \quad (78.4)$$

حيث أن I_m تُعبر عن القيمة العُظمى للتيار الناتج و φ تُعبر عن فرق الطور بين الجهد والتيار.

يتم التعبير عن الاستطاعة في دارة AC أحادية الطور بالصيغة التالية

$$P(t) = V(t) \cdot I(t) = V_m \sin \omega t \cdot I_m \sin(\omega t - \varphi) \quad (79.4)$$

وتعُبر عن الاستطاعة اللحظية حيث يمكن استنتاج قيمة الاستطاعة من أجل كل لحظة زمنية t . وعليه، يتم التعبير عن الاستطاعة المتوسطة في دارة AC أحادية الطور بالصيغة التالية

$$P = \frac{1}{T} \int_0^T V(t) \cdot I(t) dt = \frac{V_m I_m}{T} \int_0^T \sin \omega t \cdot I_m \sin(\omega t - \varphi) dt \quad (80.4)$$

من خلال خصائص الدوال الجيبية، لدينا

$$\sin \alpha \cdot \sin \beta = \frac{1}{2} [\cos(\alpha - \beta) - \cos(\alpha + \beta)] \quad (81.4)$$

بالتعويض في العبارة (80.4)، ومنه نستنتج عبارة الاستطاعة في دارة AC أحادية الطور كما يلي

$$\begin{aligned} P &= V_m I_m \frac{1}{T} \int_0^T \sin \omega t \cdot I_m \sin(\omega t - \varphi) dt \\ &= \frac{V_m I_m}{2} \frac{1}{T} \int_0^T [\cos(\omega t - (\omega t - \varphi)) - \cos(\omega t + (\omega t - \varphi))] dt \\ &= \frac{V_m I_m}{2} \frac{1}{T} \int_0^T [\cos \varphi - \cos(2\omega t - \varphi)] dt \\ &= \frac{V_m I_m}{2} \frac{1}{T} \left[\int_0^T \cos \varphi dt - \cancel{\int_0^T \cos(2\omega t - \varphi) dt} \right] \\ &= \frac{V_m I_m}{2} \cos \varphi \end{aligned} \quad (82.4)$$

من خلال ما سبق، نعلم أن $I_{RMS} = \frac{I_m}{\sqrt{2}}$ و $V_{RMS} = \frac{V_m}{\sqrt{2}}$ في دارة AC بدلاً من الموجة الجيبية، وعليه، نستنتج عبارة الاستطاعة كما يلي

$$P = V_{RMS} \times I_{RMS} \times \cos \varphi \quad (83.4)$$

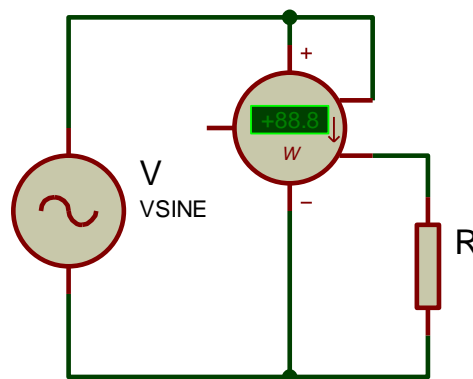
كما يتم التعبير عن الاستطاعة الفعالة بدلالة ممانعة الدارة Z وذلك باستبدال القيمة الفعالة I_{RMS} للتيار. وعليه نجد أن

$$P = V_{RMS} \times I_{RMS} \times \cos \varphi = V_{RMS} \times \frac{V_{RMS}}{|Z|} \times \cos \varphi = \frac{V_{RMS}^2}{|Z|} \times \cos \varphi \quad (84.4)$$

فيما يلي نستعرض نتائج دراسة قياس الاستطاعة الكهربائية في كل حالة من الحالات التالية:

- دارة AC أحادية الطور بدلالة المقاومة R :
- دارة AC أحادية الطور بدلالة مقاومة R وشيعة L على التسلسل :
- دارة AC أحادية الطور بدلالة مقاومة R ومكثفة C على التسلسل :
- دارة AC أحادية الطور بدلالة مقاومة R ، وشيعة L ومكثفة C على التسلسل.

1.1.6.4 الاستطاعة الكهربائية في دارة AC بدلالة المقاومة R لغرض أن الدارة AC تحتوي على مقاومة R كما هو موضح في الشكل التالي



الشكل 28.4. دارة AC بدلالة مقاومة R .

أ- عبارة الممانعة: يتم التعبير عن المقاومة R بدلالة الممانعة Z_R على النحو التالي

$$Z_R = R + j \times 0 = |Z_R| \angle \varphi \quad (85.4)$$

حيث أن

$$\begin{cases} |Z_R| = \sqrt{R^2 + 0^2} = R \\ \varphi_R = \tan^{-1} \left(\frac{0}{R} \right) = 0 \end{cases} \Rightarrow Z_R = R \angle 0^\circ \quad (86.4)$$

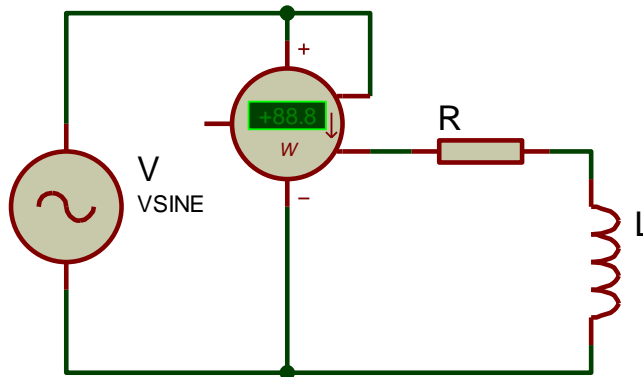
ب- عبارة التيار: من أجل الممانعة (86.4)، نستنتج عبارة التيار التالية

$$I = \frac{V}{Z_R} = \frac{|V| \angle 0^\circ}{R \angle 0^\circ} = \frac{|V|}{R} \angle 0^\circ = |I| \angle 0^\circ \quad (87.4)$$

ت- عبارة الاستطاعة: من خلال الصيغة (84.4) نستنتج عبارة الاستطاعة كما يلي

$$P = \frac{V_{RMS}^2}{|Z_R|} \times \cos(0) = \frac{V_{RMS}^2}{R} \quad (88.4)$$

2.1.6.4 الاستطاعة الكهربائية في دارة AC بدلالة مقاومة R ووشيقة L على التسلسل
لفرض أن الدارة AC تحتوي مصدر جهد متذبذب V أحادي الطور، مقاومة R ووشيقة L كما هو
موضح في الشكل أدناه



الشكل 29.4. دارة AC بدلالة مقاومة R ووشيقة L على التسلسل.

أ- عبارة المُمانعة: يتم التعبير على كلٌ من ممانعتي المقاومة R والوشيقة L كما يلي

$$\begin{cases} Z_R = R \\ Z_L = jL\omega \end{cases} \quad (89.4)$$

بما أن المقاومة R والوشيقة L موصولة على التسلسل، ومنه نستنتج المُمانعة المُكافئة التالية

$$Z_{RL} = Z_R + Z_L = R + jL\omega = |Z_{RL}| \angle \varphi_{RL} \quad (90.4)$$

حيث أن

$$\begin{cases} |Z_{RL}| = \sqrt{R^2 + (L\omega)^2} \\ \varphi_{RL} = \tan^{-1}\left(\frac{L\omega}{R}\right) \end{cases} \Rightarrow Z_{RL} = \sqrt{R^2 + (L\omega)^2} \angle \tan^{-1}\left(\frac{L\omega}{R}\right) \quad (91.4)$$

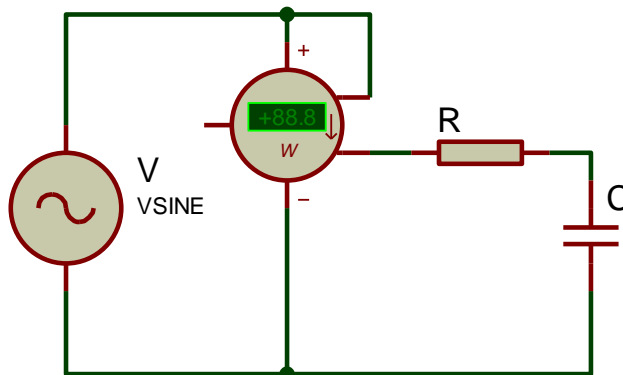
ب- عبارة التيار: من أجل المُمانعة (91.4)، نستخرج عبارة التيار التالية

$$\begin{aligned} I &= \frac{V}{Z_{RL}} = \frac{|V| \angle 0^\circ}{\sqrt{R^2 + (L\omega)^2} \angle \tan^{-1}\left(\frac{L\omega}{R}\right)} \\ &= \frac{|V|}{\sqrt{R^2 + (L\omega)^2}} \angle -\tan^{-1}\left(\frac{L\omega}{R}\right) \\ &= |I| \angle -\varphi_{RL} \end{aligned} \quad (92.4)$$

ت- عبارة الاستطاعة: من خلال الصيغة (84.4) نستخرج عبارة الاستطاعة في دارة AC أحادي الطور
بدلالة المقاومة R والوشيقة L موصولين على التسلسل كما يلي

$$P = \frac{V_{RMS}^2}{|Z_{RL}|} \times \cos \varphi_{RL} = \frac{V_{RMS}^2}{\sqrt{R^2 + (L\omega)^2}} \times \cos \left[\tan^{-1}\left(\frac{L\omega}{R}\right) \right] \quad (93.4)$$

3.1.6.4 الاستطاعة الكهربائية في دارة AC بدلالة مقاومة R ومكثفة C على التسلسل
لفرض أن الدارة AC تحتوي مصدر جهد متباوب V أحادي الطور، مقاومة R ومكثفة C كما هو
موضح في الشكل أدناه



الشكل 30.4. مصدر جهد متباوب والعناصر الكهربائية R و C على التسلسل.

أ- عبارة المُمانعة: يتم التعبير على مُمانعتي المقاومة R والمكثفة C كما يلي

$$\begin{cases} Z_R = R \\ Z_C = j \frac{-1}{C\omega} \end{cases} \quad (94.4)$$

بما أن المقاومة R والمكثفة C موصولة على التسلسل، ومنه يتم التعبير عن المُمانعة المُكافئة كما يلي

$$Z_{RC} = Z_R + Z_C = R + j \frac{-1}{C\omega} = |Z_{RC}| \angle \varphi_{RC} \quad (95.4)$$

حيث أن

$$\begin{cases} |Z_{RC}| = \sqrt{R^2 + \left(\frac{1}{C\omega}\right)^2} \\ \varphi_{RC} = \tan^{-1}\left(\frac{1}{RC\omega}\right) \end{cases} \Rightarrow Z_{RC} = \sqrt{R^2 + \left(\frac{1}{C\omega}\right)^2} \angle \tan^{-1}\left(\frac{1}{RC\omega}\right) \quad (96.4)$$

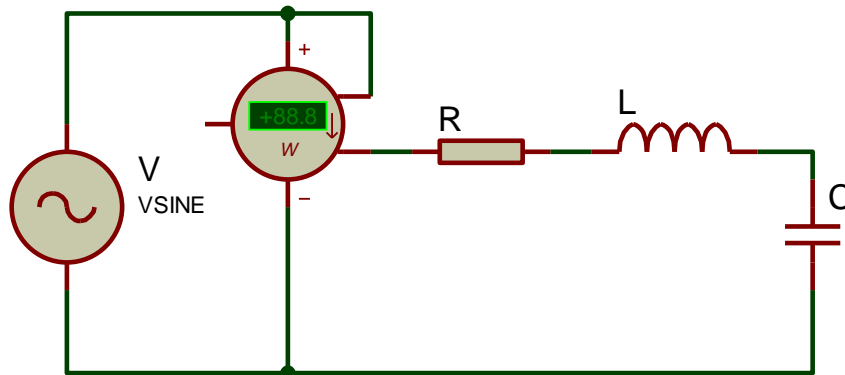
ب- عبارة التيار: من أجل المُمانعة (96.4)، نستنتج عبارة التيار التالية

$$\begin{aligned} I &= \frac{V}{Z_{RC}} = \frac{|V| \angle 0^\circ}{\sqrt{R^2 + \left(\frac{1}{C\omega}\right)^2} \angle \tan^{-1}\left(\frac{1}{RC\omega}\right)} = \frac{|V|}{\sqrt{R^2 + \left(\frac{1}{C\omega}\right)^2}} \angle -\tan^{-1}\left(\frac{1}{RC\omega}\right) \\ &= |I| \angle -\varphi_{RC} \end{aligned} \quad (97.4)$$

ن- عبارة الاستطاعة: من خلال الصيغة (84.4) نستخرج عبارة الاستطاعة كما يلي

$$P = \frac{V_{RMS}^2}{|Z_{RC}|} \times \cos \varphi_{RC} = \frac{V_{RMS}^2}{\sqrt{R^2 + \left(\frac{1}{C\omega}\right)^2}} \times \cos \left[\tan^{-1}\left(\frac{1}{RC\omega}\right) \right] \quad (98.4)$$

4.1.6.4 الاستطاعة الكهربائية في دارة AC بدلالة العناصر RLC، على التسلسل
لفرض أن الدارة AC تحتوي على مصدر جهد متذبذب والعناصر RLC كما هو موضح أدناه.



الشكل 31.4. مصدر جهد متذبذب V والعناصر R، L و C على التسلسل.

أ- عبارة الممانعة: بما أن المقاومة R ، الوشيعة L والمكثفة C موصولة على التسلسل في الدارة، ومنه يتم التعبير عن الممانعة المكافئة Z_{RLC} على النحو التالي

$$Z_{RLC} = Z_R + Z_L + Z_C = R + jL\omega + j\frac{-1}{C\omega} = R + j\left(L\omega - \frac{1}{C\omega}\right) = |Z_{RLC}| \angle \varphi_{RLC} \quad (99.4)$$

حيث أن

$$\begin{cases} |Z_{RLC}| = \sqrt{R^2 + \left(L\omega - \frac{1}{C\omega}\right)^2} \\ \varphi_{RLC} = \tan^{-1}\left(\frac{L\omega}{R} - \frac{1}{RC\omega}\right) \end{cases} \Rightarrow Z_{RLC} = \sqrt{R^2 + \left(L\omega - \frac{1}{C\omega}\right)^2} \angle \tan^{-1}\left(\frac{L\omega}{R} - \frac{1}{RC\omega}\right) \quad (100.4)$$

ب- عبارة التيار: من أجل الممانعة (100.4)، نستنتج عبارة التيار التالية

$$\begin{aligned} I &= \frac{V}{Z_{RLC}} = \frac{|V| \angle 0^\circ}{\sqrt{R^2 + \left(L\omega - \frac{1}{C\omega}\right)^2} \angle \tan^{-1}\left(\frac{L\omega}{R} - \frac{1}{RC\omega}\right)} \\ &= \frac{|V|}{\sqrt{R^2 + \left(L\omega - \frac{1}{C\omega}\right)^2}} \angle -\tan^{-1}\left(\frac{L\omega}{R} - \frac{1}{RC\omega}\right) \\ &= |I| \angle -\varphi_{RLC} \end{aligned} \quad (101.4)$$

ت- عبارة الاستطاعة: من خلال الصيغة (84.4) نستخرج عبارة الاستطاعة كما يلي

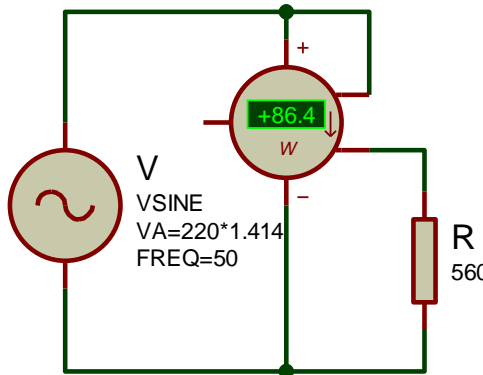
$$P = \frac{V_{RMS}^2}{|Z_{RLC}|} \times \cos \varphi_{RC} = \frac{V_{RMS}^2}{\sqrt{R^2 + \left(L\omega - \frac{1}{C\omega}\right)^2}} \times \cos \left[\tan^{-1}\left(\frac{L\omega}{R} - \frac{1}{RC\omega}\right) \right] \quad (102.4)$$

أمثلة متعلقة بالفقرة 1.6.4: نتائج قياس فرق الطور لأنواع مختلفة من الدارات AC حيث يمكن التأكد من نتيجة القياس المتحصل عليها في كل دارة مع نتيجة الحساب في الفقرة الموافقة.

ملاحظة: يتم التعبير عن القيمة العظمى لجهد المصدر بدلالة القيمة الفعالة كما يلى

$$V_m = V_{RMS} \times \sqrt{2} = 220 \times 1.414 \quad (103.4)$$

- دارة AC بدلالة مقاومة R :

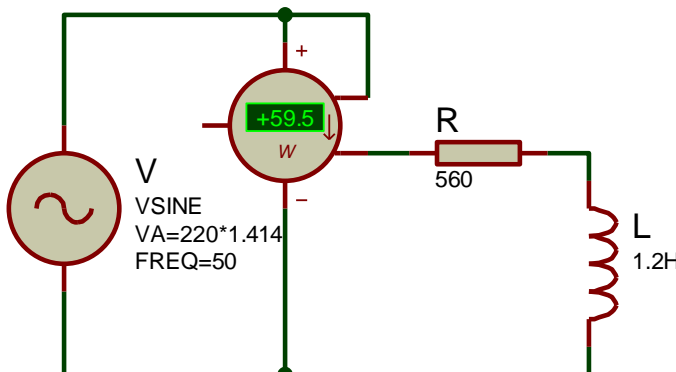


الشكل 32.4. نتيجة القياس في دارة AC بدلالة مقاومة R.

حسابياً ومن خلال العلاقة (88.4)، نجد أن :

$$P = \frac{220^2}{560} = 86.428W \quad (104.4)$$

- دارة AC بدلالة مقاومة R ووشيعة L على التسلسل :

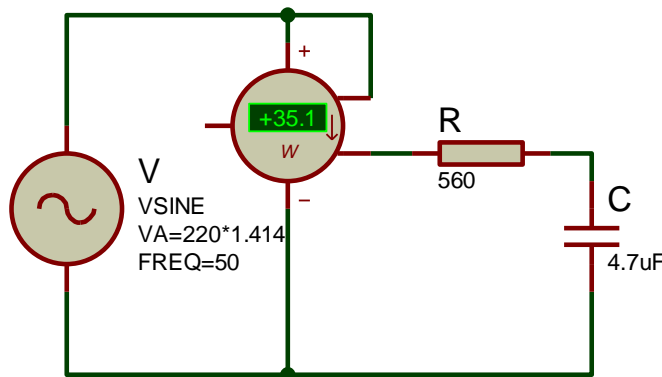


الشكل 33.4. نتيجة القياس في دارة AC بدلالة مقاومة R ووشيعة L.

حسابياً ومن خلال العلاقة (93.4)، نجد أن :

$$\begin{aligned} P &= \frac{220^2}{\sqrt{560^2 + (1.2 \times 2 \times \pi \times 50)^2}} \times \cos \left[\tan^{-1} \left(\frac{1.2 \times 2 \times \pi \times 50}{560} \right) \right] \\ &= 71.707 \times \cos(0.592) \\ &= 59.474W \end{aligned} \quad (105.4)$$

- دارة AC بدلالة مقاومة R وشيعة L على التسلسل :



الشكل 34.4. نتيجة القياس في دارة AC بدلالة مقاومة R ومكثفة C.

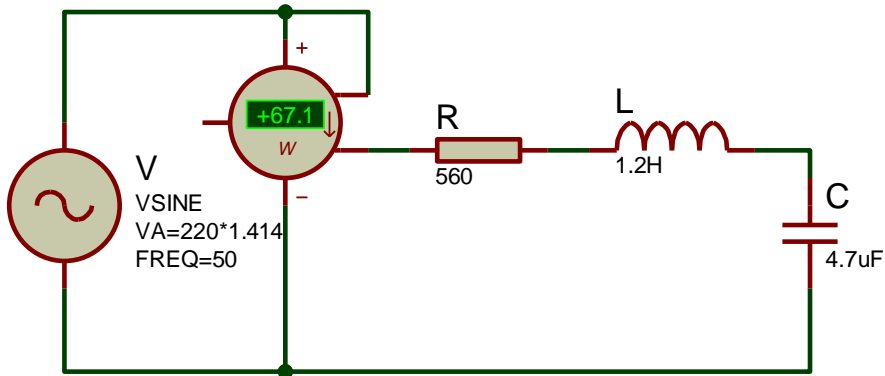
حسابياً ومن خلال العلاقة (98.4)، نجد أن :

$$P = \frac{220^2}{\sqrt{560^2 + \left(\frac{1}{4.7 \times 10^{-6} \times 2 \times \pi \times 50}\right)^2}} \times \cos \left[\tan^{-1} \left(\frac{1}{560 \times 4.7 \times 10^{-6} \times 2 \times \pi \times 50} \right) \right] \quad (106.4)$$

$$= 55.075 \times \cos(0.879)$$

$$= 35.095W$$

- الاستطاعة الكهربائية في دارة AC بدلالة العناصر RLC على التسلسل :



الشكل 35.4. نتيجة القياس في دارة AC بدلالة مقاومة R، وشيعة L و مكثفة C.

حسابياً ومن خلال العلاقة (102.4)، نجد أن :

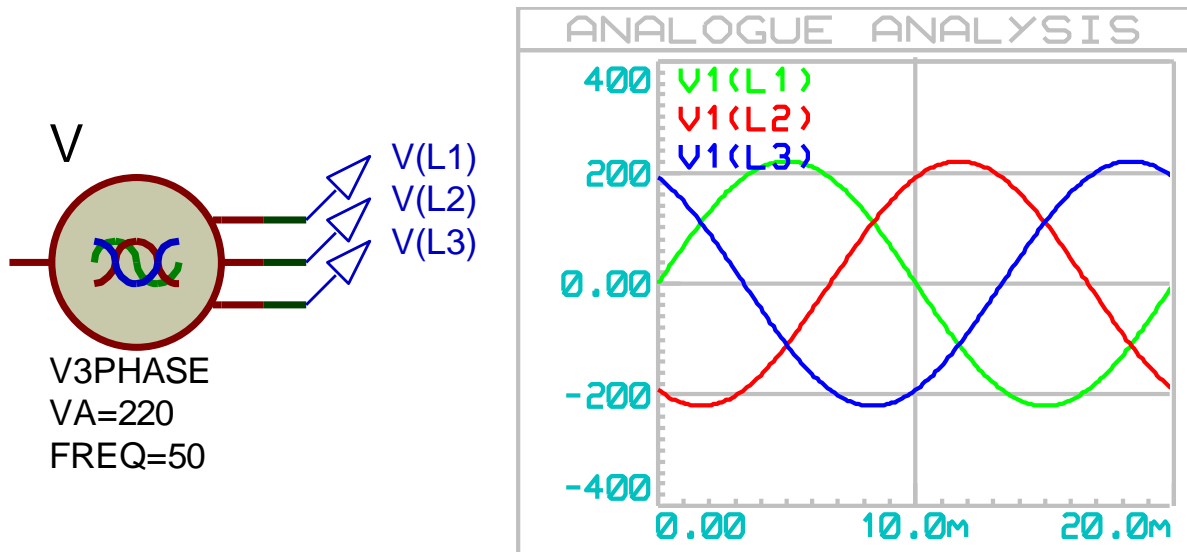
$$P = \frac{220^2}{\sqrt{560^2 + \left(1.2 \times 2 \times \pi \times 50 - \frac{1}{4.7 \times 10^{-6} \times 2 \times \pi \times 50}\right)^2}} \times \cos \left[\tan^{-1} \left(\frac{1.2 \times 2 \times \pi \times 50}{560} - \frac{1}{560 \times 4.7 \times 10^{-6} \times 100\pi} \right) \right] \quad (107.4)$$

$$= 76.170 \times \cos(-0.492)$$

$$= 67.129W$$

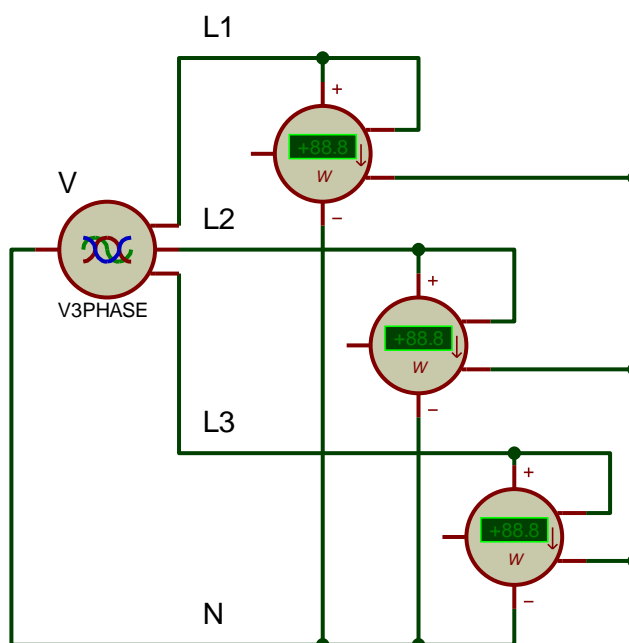
2.6.4 قياس الاستطاعة الكهربائية في دارة AC ثلاثية الطور المتوازنة

يتم استخدام جهاز القياس Wattmeter لقياس الاستطاعة الكهربائية في الدارة AC والتي تتكون من طورين فما فوق، خاصةً منها الدارة AC ثلاثية الطور. لنفرض أنّ القيمة العظمى للجهد متساوية في كل الأطوار الثلاث وأنّ فرق الطور بين كل طورين متتاليين هو نفسه ويساوي 120° بالنسبة لدورة كاملة للموجة الجيبية. الشكل 36.4 المولى يوضح موجات الجهد في الدارة AC ثلاثية الطور المتوازنة من أجل جهد بقيمة عظمى $220V$ وتردد $50Hz$.



الشكل 36.4. موجات الجهد المتباين في دارة AC ثلاثية الطور المتوازنة.

الشكل 37.4 يوضح طريقة توصيل ثلاثة أجهزة القياس Wattmeter في الدارة AC ثلاثية الطور باستعمال السلك المحايد N حيث يقوم جهاز Wattmeter الأول بقياس الاستطاعة بين طرفي الفرع L1 والسلك المحايد N و تكون φ_1 فرق الطور وهكذا بالنسبة لبقية الأطوار.



الشكل 37.4. طريقة توصيل جهاز القياس Wattmeter في الدارة AC ثلاثية الطور.

في هذه الحالة، يتم التعبير عن الجُهد في كل طور من أطوار الدّارة AC بالعبارة التالية

$$V_{1N} = V_0 \sin \omega t ; \quad V_{2N} = V_0 \sin \left(\omega t + \frac{2\pi}{3} \right) ; \quad V_{3N} = V_0 \sin \left(\omega t + \frac{4\pi}{3} \right) \quad (108.4)$$

وعليه، فإنّ الاستطاعة الكهربائية الكلية تُواافق مجموع مؤشرات أجهزة القياس Wattmeter على النحو التالي

$$P_t = P_1 + P_2 + P_3 = V_{1N} \times I_1 + V_{2N} \times I_2 + V_{3N} \times I_3 \quad (109.4)$$

بتعميّص الصيغ (108.4) في العبارة السابقة، نجد أنّ الاستطاعة الكهربائية الكلية تُواافق النتيجة التالية

$$P_t = \left[V_0 \sin \omega t + V_0 \sin \left(\omega t + \frac{2\pi}{3} \right) + V_0 \sin \left(\omega t + \frac{4\pi}{3} \right) \right] \times I \quad (110.4)$$

ومن خلال العبارة (83.4) الخاصة بالاستطاعة في دارة AC أحادية الطور، نستنتج مباشّرًا عبارة الاستطاعة الفعالة الكلية في دارة AC ثلاثة الطور المتوازنة كما يلي

$$P_t = 3 \times V_{\text{RMS}} \times I_{\text{RMS}} \times \cos \varphi \quad (111.4)$$

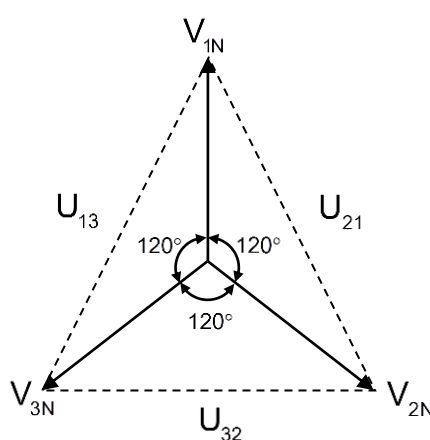
من جهة أخرى وبحساب فرق الكمون بين كل طورين متتاليين نجد أنّ

$$\begin{aligned} U_{13} &= U_1 - U_3 = V_0 \left[\sin \omega t - \sin \left(\omega t + \frac{4\pi}{3} \right) \right] \\ U_{21} &= U_2 - U_1 = V_0 \left[\sin \left(\omega t + \frac{2\pi}{3} \right) - \sin \omega t \right] \\ U_{32} &= U_3 - U_2 = V_0 \left[\sin \left(\omega t + \frac{4\pi}{3} \right) - \sin \left(\omega t + \frac{2\pi}{3} \right) \right] \end{aligned} \quad (112.4)$$

ويمّا أنّ الجهد يكون متساوًى في الأطوار الثلاث، ومنه

$$U_{13} = U_{21} = U_{32} \quad (113.4)$$

يمكن استنتاج فروق الكمون U_{13} ; U_{21} ; U_{32} في دارة AC ثلاثة الطور المتوازنة من خلال إنشاء فريبنل في الشكل أدناه.



الشكل 38.4. إنشاء فريبنل في الدّارة AC ثلاثة الطور.

من خلال خصائص الدوال الجيبية، لدينا من أجل المثلث $U_{21} U_{2N} U$ العلاقة التالية

$$\cos \frac{\pi}{6} = \frac{1}{2} \frac{U_{21}}{|V_{2N}|} \Rightarrow U_{21} = 2 |V_{2N}| \cos \frac{\pi}{6} = V_0 \sqrt{3} \quad (114.4)$$

ومنه نستنتج قيمة فرق الجهد بين كل طورين متتاليين كما يلي

$$U_{21} = U_{13} = U_{32} = U_{\text{RMS}} = \frac{V_0}{\sqrt{2}} \sqrt{3} \Rightarrow U_{\text{RMS}} = V_{\text{RMS}} \sqrt{3} \quad (115.4)$$

بتعميص قيمة الجهد في عبارة الاستطاعة الفعالة (111.4)، وعليه، نستنتج قيمة كلٌ من الاستطاعة الفعالة، الاستطاعة الغير فعالة والاستطاعة الظاهرة في دارة AC ثلاثة الطور المتوازنة كما يلي

$$P = \sqrt{3} \times U_{\text{RMS}} \times I_{\text{RMS}} \times \cos \varphi \quad [\text{W}]$$

$$Q = \sqrt{3} \times U_{\text{RMS}} \times I_{\text{RMS}} \times \sin \varphi \quad [\text{VAR}] \quad (116.4)$$

$$S = \sqrt{P^2 + Q^2} = \sqrt{3} \times U_{\text{RMS}} \times I_{\text{RMS}} \quad [\text{VA}]$$

7.4 قياس فرق الطور

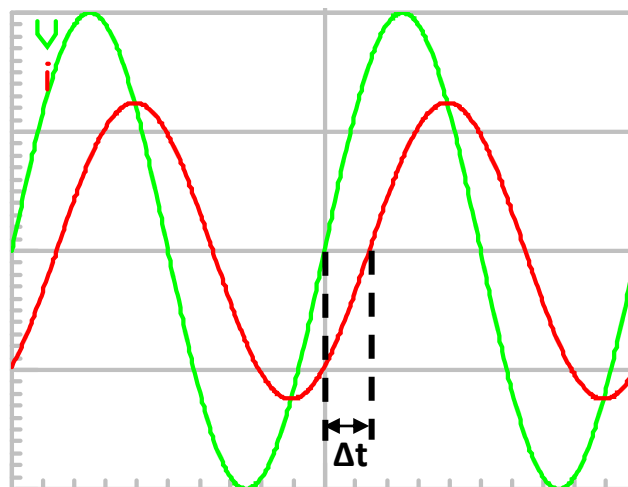
يُعبر فرق الطور عن التأخير لwave ما بالنسبة لwave أخرى مرجعية حيث يتم قياس هذا الفرق من خلال دراسة التأخير الزمني للموجة أو استعمال طريقة منحنى الطور.

1.7.4 دراسة التأخير الزمني

يرتبط فرق الطور بالتأخير الزمني لموجة ما بالنسبة لموجة أخرى مرجعية من خلال القاعدة التالية

$$\varphi = 2\pi \frac{\Delta t}{T} = 360^\circ \frac{\Delta t}{T} \quad (117.4)$$

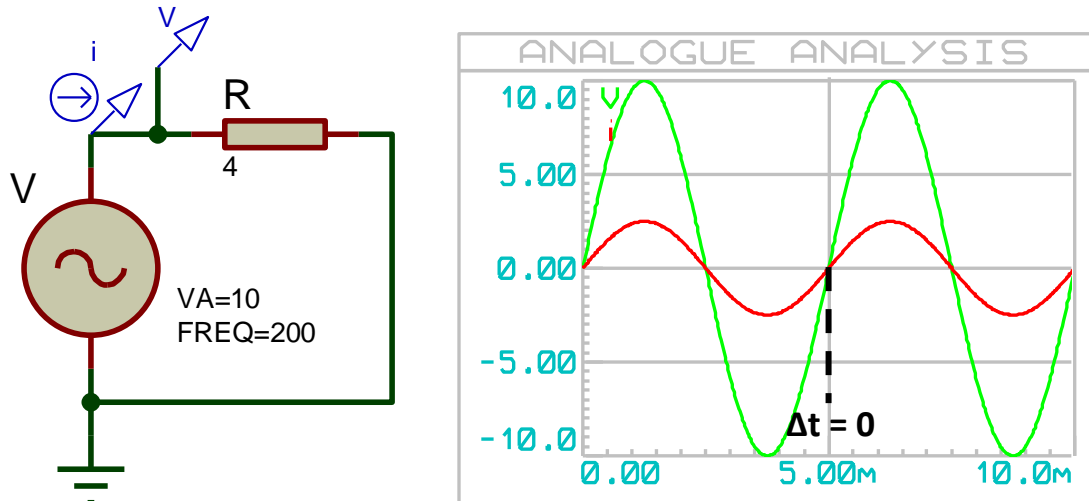
حيث أن φ تُعبر عن Δt التأخير الزمني و T دورة الموجة.
الشكل التالي يوضح كيفية استنتاج كلٌ من التأخير الزمني من خلال شكل الموجات الجيبية.



الشكل 39.4. حساب فرق الطور من خلال دراسة التأخير الزمني.

أ- قياس فرق الطور في دارة AC بدلالة المقاومة R

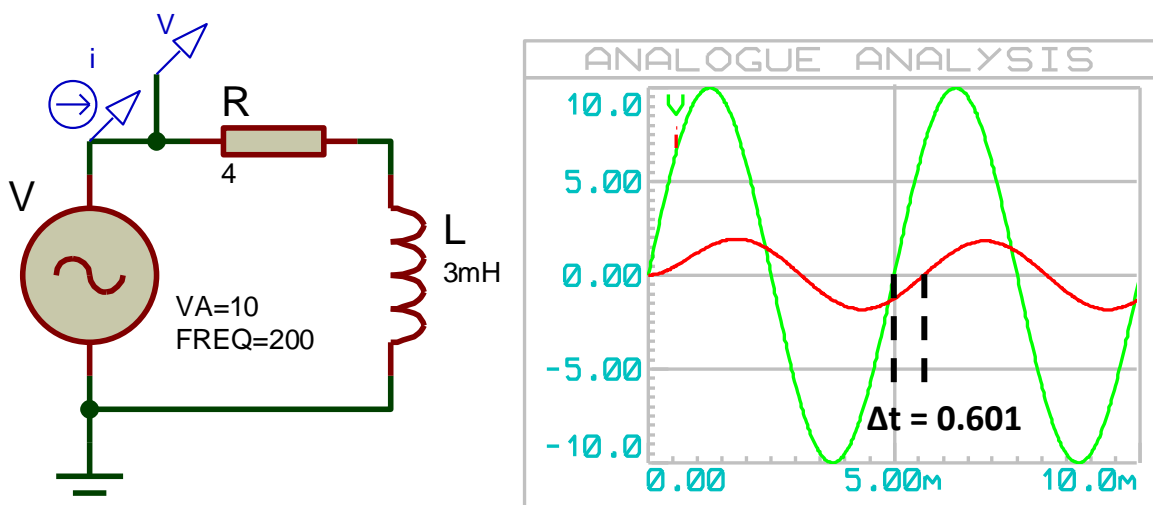
الشكل 40.4 يوضح موجتا الجهد والتيار في دارة AC تتكون من مقاومة R بحثة حيث نلاحظ أن فرق الطور بين موجة الجهد وموجة التيار معدومة والتي توافق النتيجة المتحصل عليها في عبارة المُمانعة (86.4).



الشكل 40.4. موجتا الجهد والتيار في دارة AC تتكون من مقاومة R بحثة.

ب- قياس فرق الطور في دارة AC بدلالة مقاومة R ووشيعة L على التسلسل

الشكل 41.4 يوضح موجتا الجهد والتيار في دارة AC تتكون من مقاومة R ووشيعة L.



الشكل 41.4. موجتا الجهد والتيار في دارة AC تتكون من مقاومة R ووشيعة L على التسلسل.

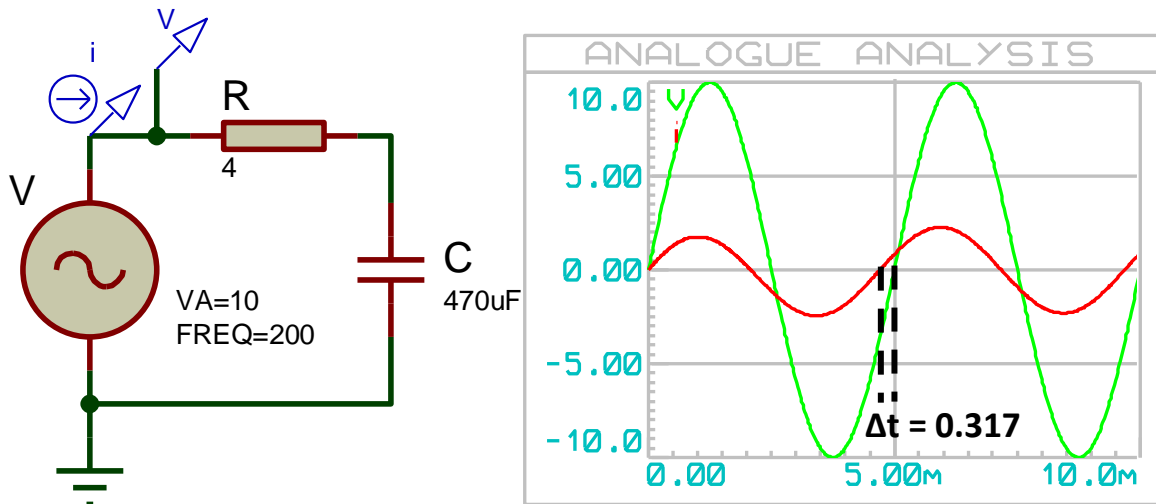
من خلال العبارة (117.4) نجد أن

$$\varphi_{RL} = 360^\circ \frac{0.601\text{ms}}{5\text{ms}} = 43.272^\circ \quad (118.4)$$

والتي توافق النتيجة الحسابية باستعمال عبارة فرق الطور (91.4) حيث

$$\varphi_{RL} = \tan^{-1} \left(\frac{L\omega}{R} \right) = \tan^{-1} \left(\frac{3 \times 10^{-3} \times 200 \times \pi \times 20}{4} \right) = 43.30^\circ \quad (119.4)$$

ث- قياس فرق الطور في دارة AC بدلالة مقاومة R ومحنة C على التسلسل
الشكل 42.4 يوضح موجتا الجهد والتيار في دارة AC تتكون من مقاومة R ومحنة C.



الشكل 42.4. موجتا الجهد والتيار في دارة AC تتكون من مقاومة R ومحنة C على التسلسل.

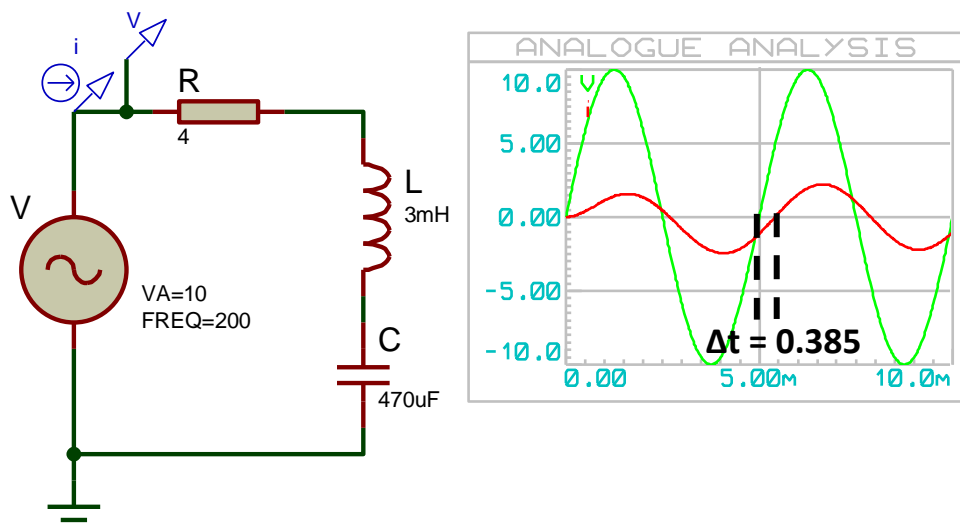
من خلال العبارة (117.4) نجد أن

$$\varphi_{RL} = 360^\circ \frac{0.317 \text{ms}}{5 \text{ms}} = 22.824^\circ \quad (120.4)$$

والتي تتوافق النتيجة الحسابية باستعمال عبارة فرق الطور (96.4) التالية

$$\varphi_{RC} = \tan^{-1} \left(\frac{1}{RC\omega} \right) = \tan^{-1} \left(\frac{1}{4 \times 470 \times 10^{-6} \times 2 \times \pi \times 200} \right) = 22.94^\circ \quad (121.4)$$

ث- قياس فرق الطور في دارة AC بدلالة مقاومة R وشيعة L ومحنة C على التسلسل
الشكل 43.4 يوضح موجتا الجهد والتيار في دارة AC تتكون من مقاومة R وشيعة L ومحنة C على التسلسل.



الشكل 43.4. موجتا الجهد والتيار في دارة AC تتكون من مقاومة R وشيعة L ومحنة C على التسلسل.

من خلال العبارة (117.4) نجد أن

$$\varphi_{RL} = 360^\circ \frac{0.385 \text{ ms}}{5 \text{ ms}} = 27.727^\circ \quad (122.4)$$

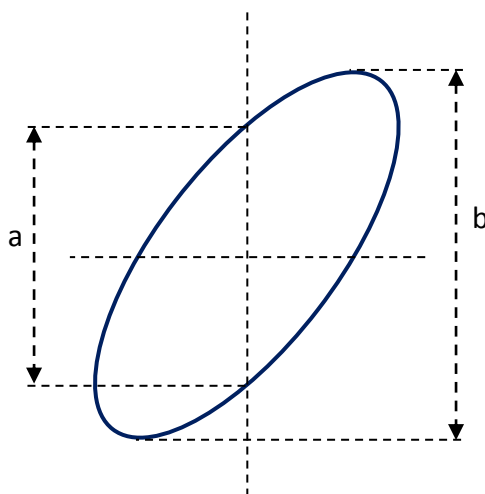
والتي تتوافق النتيجة الحسابية باستعمال عبارة فرق الطور (100.4) الموالية

$$\begin{aligned} \varphi_{RLC} &= \tan^{-1} \left(\frac{L\omega}{R} - \frac{1}{RC\omega} \right) \\ &= \tan^{-1} \left(\frac{3 \times 10^{-3} \times 2 \times \pi \times 200}{4} - \frac{1}{4 \times 470 \times 10^{-6} \times 2 \times \pi \times 200} \right) = 27.43^\circ \end{aligned} \quad (123.4)$$

2.7.4 طريقة منحنى الطور

فيما يلي نستعرض نتيجة القياس لكل من الجهد، التيار والاستطاعة الفعالة في مختلف الدارات السابقة باستعمال طريقة منحنى الطور والتي تدعى كذلك طريقة Lissajoux والتي تعتمد على تمثيل تغير موجة ما بدلالة موجة معيارية على نفس المنحنى. يسمح جهاز راسم الاهتزازات Oscilloscope بتمثيل بيانياً المنحنى الناتج من خلال الخاصية XY mode.

الشكل التالي يوضح كيفية حساب فرق الطور باستخدام طريقة منحنى الطور (Lissajoux).



الشكل 44.4. حساب فرق الطور باستخدام طريقة Lissajoux.

حيث يتم قياس المسافات a و b للشكل الناتج في جهاز راسم الاهتزازات، ومن ثم يتم حساب فرق الطور باستخدام العلاقات التالية:

$$\begin{cases} \sin \varphi = \frac{a}{b} \\ \cos \varphi = \sqrt{1 - \left(\frac{a}{b} \right)^2} \end{cases} \quad (124.4)$$

ملاحظة: نتيجة القياس باستعمال التأخير الزمني أكثر دقة بالمقارنة مع طريقة منحنى الطور وذلك لصعوبة تحديد المسافات a و b بدقة.

8.4 قياس التردد

يتم قياس التردد في دارة AC من خلال دراسة دور الموجة في جهاز راسم الاهتزازات أو مباشرة باستعمال جهاز القياس Frequencemeter كما هو موضح في الشكل أدناه من أجل قيم مختلفة لتردد الدارة.

